

สำนักหอสมุดกลาง พระจอมเกล้าลาดกระบัง

เครื่องแปลงสัญญาณmidi

MIDI CONVERSION BOX



โดย

นายสันต์

พุทธิยาสถาพร

นายอภิวัฒน์

วงษ์กำแพง

เลขหมู่.....
เลขทะเบียน **73159**
วัน,เดือน,ปี **• 6 ก.ค. 2550**

b.
i.

ปฏิญานิพนธ์นี้เป็นส่วนหนึ่งของการศึกษาตามหลักสูตรปริญญาวิศวกรรมศาสตรบัณฑิต

สาขาวิชาอิเล็กทรอนิกส์

สถาบันเทคโนโลยีพระจอมเกล้าเจ้าคุณทหารลาดกระบัง

ปีการศึกษา 2548

เอกสารนี้เป็นเอกสารที่สงวนไว้สำหรับการใช้งานเพื่อการศึกษาเท่านั้น ไม่อนุญาตให้นำไปใช้ประโยชน์ด้านการค้า
ไม่ว่ากรณีใดๆ ทั้งสิ้น อีกทั้งห้ามมิให้ดัดแปลงเนื้อหา และต้องอ้างอิงถึงเจ้าของเอกสารทุกครั้งที่มีการนำไปใช้

เครื่องแปลงสัญญาณmidi
MIDI CONVERSION BOX



ปริญญาานิพนธ์สำหรับปริญญาวิศวกรรมศาสตรบัณฑิต
สาขาวิชาอิเล็กทรอนิกส์
คณะวิศวกรรมศาสตร์
สถาบันเทคโนโลยีพระจอมเกล้าเจ้าคุณทหารลาดกระบัง
ปีการศึกษา 2548

เอกสารนี้เป็นเอกสารที่สงวนไว้สำหรับการใช้งานเพื่อการศึกษาเท่านั้น ไม่อนุญาตให้นำไปใช้ประโยชน์ด้านการค้า
ไม่ว่ากรณีใดๆ ทั้งสิ้น อีกทั้งห้ามมิให้ดัดแปลงเนื้อหา และต้องอ้างอิงถึงเจ้าของเอกสารทุกครั้งที่มีการนำไปใช้

ปริญญาบัตร ปีการศึกษา 2548

ภาควิชา อีเล็กทรอนิกส์

คณะวิศวกรรมศาสตร์ สถาบันเทคโนโลยีพระจอมเกล้าเจ้าคุณทหารลาดกระบัง

เรื่อง เครื่องแปลงสัญญาณมิตี

ผู้จัดทำ

1. นายสันต์ พุพิทยาสถาพร รหัส 45010814
2. นายอภิวัฒน์ วงษ์กำแหง รหัส 45010925



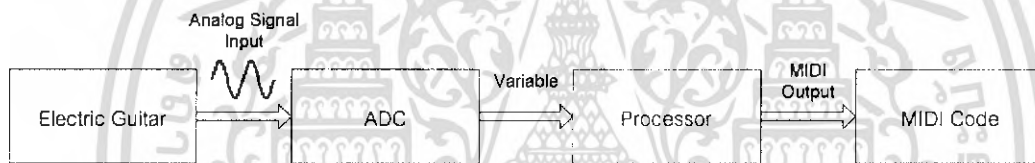
เอกสารนี้เป็นเอกสารที่สงวนไว้สำหรับการใช้งานเพื่อการศึกษาเท่านั้น ไม่อนุญาตให้นำไปใช้ประโยชน์ด้านการค้า
ไม่ว่ากรณีใดๆ ทั้งสิ้น อีกทั้งห้ามมิให้ตัดแปลงเนื้อหา และต้องอ้างอิงถึงเจ้าของเอกสารทุกครั้งที่มีการนำไปใช้

เครื่องส่งคำสั่งมิติจากสัญญาณอนาล็อก

นายสันต์ พุทธิพิทยาสถาพร 45010814
 นายอภิวัฒน์ วงษ์กำแหง 45010925
 รศ.จิรวัดน์ ปานกลาง (อาจารย์ที่ปรึกษา)
 ปีการศึกษา 2548

บทคัดย่อ

โครงการนี้เป็นอุปกรณ์ใช้รับสัญญาณอนาล็อกจากกีตาร์ไฟฟ้า นำมาประมวลผล และส่งผลลัพธ์ออกมาเป็นชุดคำสั่งดิจิทัล ในรูปแบบมิดี ซึ่งชุดคำสั่งมิดีเป็นการบอกค่าตัวแปรต่างๆของโน้ตดนตรีสากล เช่น ค่าตำแหน่งตัวโน้ต ค่าความดังของโน้ต มีการทำงานตามบล็อกไดอแกรมในรูปที่ 1



รูปที่ 1 บล็อกไดอแกรม

- รับสัญญาณอนาล็อกจากกีตาร์ไฟฟ้า ที่มีช่วงความถี่ประมาณ 329.6 Hz ถึง 1318.4 Hz
- ในส่วน ADC จะนำสัญญาณอนาล็อกมาแปลงเป็นสัญญาณดิจิทัล
- ในส่วนประมวลผลจะนำสัญญาณดิจิทัลมาวิเคราะห์หา ระดับเสียง ของโน้ตดนตรีสากล แล้วนำมาแปลงเป็นรูปแบบมิดี แล้วส่งออกมาทาง DIN 5 Port
- สัญญาณมิดีที่ได้สามารถนำไปใช้งานอุปกรณ์ดนตรีที่สามารถรับคำสั่งมิดีได้

เอกสารนี้เป็นเอกสารที่สงวนไว้สำหรับการใช้งานเพื่อการศึกษาเท่านั้น ไม่อนุญาตให้นำไปใช้ประโยชน์ด้านการค้าไม่ว่ากรณีใดๆ ทั้งสิ้น อีกทั้งห้ามมิให้ดัดแปลงเนื้อหา และต้องอ้างอิงถึงเจ้าของเอกสารทุกครั้งที่มีการนำไปใช้

Midi Conversion Box

Mr. Sant Poopityastaporn 45010814

Mr. Apiwat Wongkmahaeng 45010925

Assoc. Prof. Jirawat Parnklang (Adviser)

Education Year 2005

Abstract

This project is a device that receives analog signal from electric guitar. Process that signal and give us the digital command output in MIDI format. MIDI commands contain many parameters of musical note such as note number and velocity.

A block diagram shown in Figure1

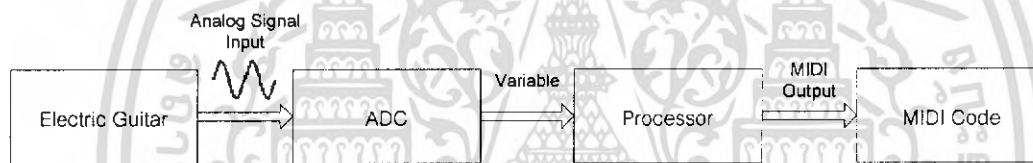


Figure1 Block Diagram

- We receive the analog signal from a electric guitar, which gives us electrical signal, in the range of frequency from 329.6 Hz to 1318.4 Hz.
- In ADC part, we sample the analog signal to digital signal.
- In the processor part , the signal is analyzed, identified pitch of musical note and converted to MIDI code.
- The MIDI output can be used to control other MIDI compatible music instruments.

เอกสารนี้เป็นเอกสารที่สงวนไว้สำหรับการใช้งานเพื่อการศึกษาเท่านั้น ไม่อนุญาตให้นำไปใช้ประโยชน์ด้านการค้า
ไม่ว่ากรณีใดๆ ทั้งสิ้น อีกทั้งห้ามมิให้ดัดแปลงเนื้อหา และต้องอ้างอิงถึงเจ้าของเอกสารทุกครั้งที่มีการนำไปใช้

กิตติกรรมประกาศ

ขอขอบคุณ

รศ.จิรวัดน์ ปานกลาง และอาจารย์ภาควิชาอิเล็กทรอนิกส์ เป็นอย่างสูงสำหรับคำแนะนำ คำปรึกษา และความรู้ต่างๆ ที่นำมาพัฒนาปริญญาโทฉบับนี้

เพื่อนร่วมห้องโปรเจก และเพื่อนๆ พี่ๆ น้องๆ ภาควิชาอิเล็กทรอนิกส์ และภาควิชาวิศวกรรม ที่คอยให้กำลังใจ ให้คำแนะนำดีๆ และให้หยิบยืมก็ดาร์เครื่องมืออุปกรณ์ต่างๆ

อุปกรณ์เครื่องมือที่ห้อง ศศ.พลผดุง ผดุงกุล และชุมชนอิเล็กทรอนิกส์

และสุดท้ายนี้ขอกราบขอบพระคุณ คุณพ่อคุณแม่ ครอบครัวพุทธิศาสนาสถาพร และครอบครัววงษ์ก้าแหง ที่คอยห่วงใยสุขภาพและให้การสนับสนุนทางการศึกษามาโดยตลอด



สันต์ นุ่มทรวงคพ

(นายสันต์ พุทธิศาสนาสถาพร)

อภิวัฒน์ วงษ์ก้าแหง

(นายอภิวัฒน์ วงษ์ก้าแหง)

เอกสารนี้เป็นเอกสารที่สงวนไว้สำหรับการใช้งานเพื่อการศึกษาเท่านั้น ไม่อนุญาตให้นำไปใช้ประโยชน์ด้านการค้า ไม่ว่าจะกรณีใดๆ ทั้งสิ้น อีกทั้งห้ามมิให้ดัดแปลงเนื้อหา และต้องอ้างอิงถึงเจ้าของเอกสารทุกครั้งที่มีการนำไปใช้

สารบัญ

เรื่อง	หน้า
บทคัดย่อ	I
Abstract	II
สารบัญ	III
สารบัญรูปภาพ	V
สารบัญตาราง	VII
บทที่ 1 บทนำ	1
1.1 ที่มาและแนวคิด	1
1.2 จุดประสงค์	1
บทที่ 2 ทฤษฎีและหลักการ	2
2.1 ระบบมิดี้ (MIDI System)	2
2.1.1 มิดี้คืออะไร? (What is MIDI?)	2
2.1.2 รายละเอียดของระบบ (System specifications)	2
2.1.3 การเชื่อมต่อกับอุปกรณ์ (The Hardware Interface)	3
2.1.4 อุปกรณ์เชื่อมต่อและสายสัญญาณ (Connectors and Cables)	5
2.1.5 รูปแบบข้อความมิดี้ (MIDI Message format)	5
2.1.6 มิดี้แชนเนล (MIDI Channel)	7
2.1.7 ข้อมูลเกี่ยวกับโน้ตในข้อความมิดี้ (Note information in MIDI message)	8
2.2 การแปลงฟูรีเยร์ (Fourier Transforms)	9
2.2.1 การแปลงฟูรีเยร์เต็มหน่วย (Discrete Fourier Transform: DFT)	9
2.2.2 การแปลงฟูรีเยร์แบบเร็ว (Fast Fourier Transform)	11
2.3 คุณสมบัติของเสียงดนตรี	23
2.3.1 ระดับเสียง (Pitch)	23
2.3.2 ความสัมพันธ์ระหว่างตัวโน้ตและความถี่	24
บทที่ 3 รายละเอียดในการออกแบบและการสร้าง	26
3.1 หลักการ	26

3.2 รายละเอียดการออกแบบ	26
3.3 การออกแบบซอฟต์แวร์	30
3.3.1 ไทม์เมอร์อินเตอร์รัปต์	31
3.3.2 ฟังก์ชันการกลับบิต	33
3.3.3 ฟังก์ชันฟาสท์ฟูเรียร์ทรานสฟอร์ม	35
3.3.4 การคัดเลือกตัวโน้ต	36
3.4 วงจรขยายกลับเฟสแบบป้อนกลับทางลบ	38
3.5 ลูกบิด และสวิตช์ปรับค่า ที่สามารถควบคุมตัวแปรทางมิติ	39
3.5.1 ลูกบิดปรับค่า	39
3.5.2 สวิตช์	40
บทที่ 4 การทดลอง	41
4.1 การทดลองที่ 1 การหาและเปรียบเทียบแอมพลิจูดขององค์ประกอบทางความถี่	41
4.2 การทดลองที่ 2 แอมพลิจูดขององค์ประกอบทางความถี่ของสัญญาณที่เวลาต่างๆ	44
4.3 การทดลองที่ 3 การหาค่าแอมพลิจูดสูงสุดในแต่ละกริด	46
4.4 การทดลองที่ 4 การหาค่าเฉลี่ยแอมพลิจูดของทุกกริดเพื่อใช้กำหนดค่า Threshold	51
4.5 การทดลองที่ 5 การหาค่า Delay Time และเปรียบเทียบสัญญาณ Input กับ Output	54
บทที่ 5 สรุปผล	57
ภาคผนวก	a
โปรแกรมควบคุมการทำงาน	b
กิตติกรรมประกาศ	r
บรรณานุกรม	s

สารบัญรูปภาพ

บทที่ 2 ทฤษฎีและหลักการ

รูปที่ 2.1 การส่งข้อความมิตี้อย่างอนุกรมอะซิงโครนัส ในรูปแบบของ UART	3
รูปที่ 2.2 การเชื่อมต่อทางไฟฟ้าของมิตีที่พอร์ท IN, THRU และ OUT	4
รูปที่ 2.3 ขอบของคลื่นพัลส์ที่เหลี่ยมถูกทำให้เกิด Rise-Time Distortion	5
รูปที่ 2.4 รูปแบบทั่วไปของข้อความมิตี	6
รูปที่ 2.5 การส่งข้อมูลมิตี แบบลูกโซ่	7
รูปที่ 2.6 การคำนวณการแปลงฟูเรียร์แบบเร็วโดยการลดทอนทางเวลา	13
รูปที่ 2.7 กราฟไหลสัญญาณของการแปลง 2 จุด	14
รูปที่ 2.8 กราฟไหลสัญญาณในหน่วยคำนวณผิเสื่อ	14
รูปที่ 2.9 หน่วยคำนวณผิเสื่อที่ลดรูปแล้ว	15
รูปที่ 2.10 การแปลง 8 จุดโดยใช้หน่วยคำนวณผิเสื่อที่ลดรูปแล้ว (DIT)	16
บทที่ 3 รายละเอียดในการออกแบบและการสร้าง	
รูปที่ 3.1 บล็อกไดอะแกรมหลักการทำงาน	26
รูปที่ 3.2 รูปร่างเครื่องแปลงสัญญาณมิตี	29
รูปที่ 3.3 โพลซาร์ตของโปรแกรมหลัก	30
รูปที่ 3.4 โพลซาร์ตของฟังก์ชันอินเตอร์รัปของ Timer ใช้ในการ Sampling สัญญาณ	32
รูปที่ 3.5 โพลซาร์ตของฟังก์ชันกลับบิต	33
รูปที่ 3.6 ตัวอย่างการกลับบิต	34
รูปที่ 3.7 โพลซาร์ตของฟังก์ชันฟาสต์ฟูเรียร์	34
รูปที่ 3.8 Signal Flow Graph ของฟาสต์ฟูเรียร์ทรานสฟอร์มแบบลดทอนทางเวลา	35
รูปที่ 3.9 โพลซาร์ตของฟังก์ชันการคัดเลือกตัวโน้ต	36
รูปที่ 3.10 ตัวอย่างของการคัดเลือกตัวโน้ต	37
รูปที่ 3.11 วงจรขยายกลับเฟสแบบป้อนกลับทางลบ	39

บทที่ 4 การทดลอง

รูปที่ 4.1 กราฟเปรียบเทียบรูปสัญญาณและค่าแอมพลิจูดของแต่ละความถี่ ที่ตัวโน้ต E3, E4 และ D5 ของกีตาร์ไฟฟ้า	43
--	----

รูปที่ 4.2 กราฟความถี่ที่เวลาต่างๆในการแชมป์ลิงในช่วง 0 - 0.43162 วินาที	44
รูปที่ 4.3 แสดงระยะห่างของเวลาในการบันทึกสัญญาณอนาลอกกับการบันทึกมิตี	54
รูปที่ 4.4 เปรียบเทียบรูปสัญญาณอนาลอกที่ได้จากไมโครมิเตอร์ที่สังเคราะห์เสียงด้วย ซินธิไซเซอร์ซอฟต์แวร์กับรูปสัญญาณอนาลอกเดิมจากกีตาร์ไฟฟ้า	56



เอกสารนี้เป็นเอกสารที่สงวนไว้สำหรับการใช้งานเพื่อการศึกษาเท่านั้น ไม่อนุญาตให้นำไปใช้ประโยชน์ด้านการค้า
ไม่ว่ากรณีใดๆ ทั้งสิ้น อีกทั้งห้ามมิให้ดัดแปลงเนื้อหา และต้องอ้างอิงถึงเจ้าของเอกสารทุกครั้งที่มีการนำไปใช้

สารบัญตาราง

บทที่ 2 ทฤษฎีและหลักการ	
ตารางที่ 2.1 รูปแบบข้อความมีคี่	6
ตารางที่ 2.2 การบอกระดับเสียงเป็นตัวเลข โน้ตมีคี่	8
ตารางที่ 2.3 การกลับบิตคี่ชนิดข้อมูล	16
ตารางที่ 2.5 ความถี่ของโน้ตต่าง ๆ ในออกทอพที่ 4	25
บทที่ 3 รายละเอียดในการออกแบบและการสร้าง	
ตารางที่ 3.1 ตารางเปรียบเทียบช่วงความถี่	27
ตารางที่ 3.2 ตัวแปรที่สามารถปรับค่าได้จากลูกบิด	39
ตารางที่ 3.3 ตัวแปรที่สามารถปรับค่าได้จากสวิทช์	40
บทที่ 4 การทดลอง	34
ตารางที่ 4.1 ตารางการหาค่าแอมพลิจูดองค์ประกอบทางความถี่ของสัญญาณ	42
ตารางที่ 4.2 ค่าแอมพลิจูดเฉลี่ยสูงสุดของกริดที่ตรงกับตัวโน้ต และกริดใกล้เคียง	46
ตารางที่ 4.2 ค่าเฉลี่ยแอมพลิจูดของสัญญาณที่มีค่าน้อยที่สุด	51
ตารางที่ 4.3 การหาThreshold High	52

บทที่ 1

บทนำ

1.1 ที่มาและแนวคิด

ปัจจุบัน การส่งข้อมูลในรูปแบบมัลติมีเดียไม่จะเป็นการใช้ส่งคำสั่งให้ซินธิไซเซอร์ซอฟต์แวร์หรือซินธิไซเซอร์ฮาร์ดแวร์สร้างเสียงต่างๆหรือการบันทึกข้อมูลทางดนตรีในรูปแบบมัลติมีเดีย นั้นส่วนใหญ่ถูกออกแบบมาให้ใช้กับอุปกรณ์ดนตรีที่มีลักษณะเป็นคีย์บอร์ด ดังนั้นโลกของมัลติมีเดียทางดนตรีจึงจำกัดวงแคบอยู่ที่ผู้ใช้คีย์บอร์ดเท่านั้น จะเป็นไปได้หรือไม่ที่นักดนตรีที่เล่นอุปกรณ์ดนตรีอื่นๆ เช่น กีตาร์จะมีส่วนเข้าไปสู่โลกของมัลติมีเดียบ้าง จึงเป็นที่มาของโครงการนี้ เครื่องส่งคำสั่งมัลติมีเดียจากสัญญาณอนาล็อก จะทำอย่างไรให้อุปกรณ์ดนตรีที่สร้างสัญญาณอนาล็อก เช่น กีตาร์ไฟฟ้าสามารถส่งข้อมูลในรูปแบบมัลติมีเดียไปยังซินธิไซเซอร์ซอฟต์แวร์หรือซินธิไซเซอร์ฮาร์ดแวร์เพื่อสร้างเสียงต่างๆ หรือการบันทึกข้อมูลทางดนตรีบนซอฟต์แวร์ทางดนตรีได้

1.2 จุดประสงค์

เพื่อเชื่อมต่อกลุ่มเครื่องดนตรีกำเนิดสัญญาณอนาล็อก (ซึ่งอาจหมายถึงเครื่องดนตรีหรือตุ๊กตาดิจิตอล) ไปสู่กลุ่มเครื่องดนตรีทางดิจิทัล เช่น เพื่อให้สัญญาณจากกีตาร์ไฟฟ้าสามารถควบคุมซินธิไซเซอร์ โดยมีความสามารถคล้ายคีย์บอร์ด

บทที่ 2

ทฤษฎีและหลักการ

2.1 ระบบมิดี (MIDI System)

2.1.1 มิดีคืออะไร? (What is MIDI?)

มิดี (Musical Instrument Digital Interface) คือการเชื่อมต่อทางดิจิทัลของอุปกรณ์ทางดนตรี หรือเป็นการควบคุมระยะไกลด้วยดิจิทัลสำหรับระบบทางดนตรี ซึ่งอุปกรณ์ที่ควบคุมด้วยมิดีโดยทั่วไปจะใช้ไมโครคอนโทรลเลอร์ในการควบคุม ผ่านทางอินพุท/เอาต์พุทพอร์ต มิดีเป็นที่นิยมและแพร่หลายมากในด้านการควบคุม นอกจากนี้มิดียังสามารถประยุกต์นำไปใช้ในงานประเภทอื่นได้ เช่นงานด้าน ระบบเสียง ระบบแสง แสงควบคุม ควบคุมอุปกรณ์แสง ฯลฯ แม้ว่าคำสั่งมาตรฐานของมิดีจะเป็นคำสั่งทางด้านดนตรี แต่ก็สามารถนำไปปรับเปลี่ยนใช้กับงานประเภทอื่นได้ไม่ยาก

การที่มิดีใช้มาตรฐานการส่งแบบอนุกรมเนื่องจากเหตุผลทางด้านความประหยัด และความเป็นไปได้ในทางปฏิบัติ โดยมีจุดมุ่งหมายเพื่อให้อุปกรณ์ราคาถูกลง และสามารถรองรับผู้ใช้ได้หลากหลายเท่าที่จะทำได้ ในการส่งแบบขนานอาจจะมีประสิทธิภาพมากกว่าแต่เมื่อรวมถึงค่าผลรวมของการผลิตต่อชิ้น จะมีราคาที่สูงกว่าและมีขนาดใหญ่เทอะทะมากกว่าการใช้การเชื่อมต่อแบบอนุกรม ความง่ายและสะดวกต่อการติดตั้งอุปกรณ์มิดีส่งผลให้มีการแพร่หลายอย่างรวดเร็วในฐานะของมาตรฐานนานาชาติ

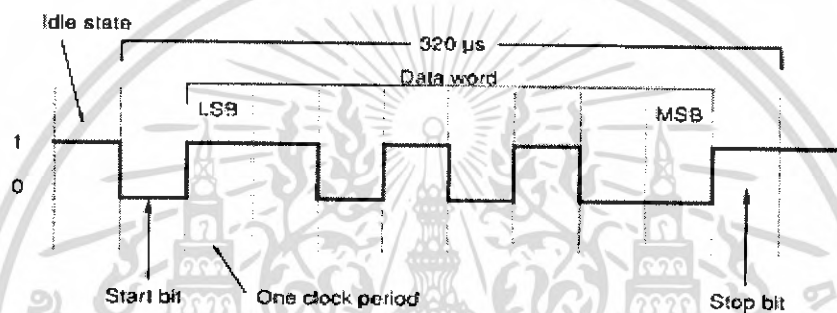
แตกต่างกับอุปกรณ์ในยุคก่อนซึ่งใช้สัญญาณอนาล็อก ในการส่งคำสั่งทุกชนิดก็จะอยู่ในรูปแบบเดียวกันบนสายเส้นเดียวกัน มิดีสามารถควบคุมอุปกรณ์มิดีที่เป็นหลายๆเสียงพร้อมกันได้ในเวลาจริงเทียบ โดยความเร็วในการส่งจะต้องมีการเหลือของเวลาจะน้อยมากโดยหูของมนุษย์ไม่สามารถแยกแยะความแตกต่างได้ และยังสามารถกำหนดจุดหมายที่ต้องการจะให้แสดงผลโดยการเลือกช่องสัญญาณ

2.1.2 รายละเอียดของระบบ (System specifications)

มาตรฐานมิดีกำหนดว่าเป็นการส่งสัญญาณผ่านการเชื่อมต่อแบบอนุกรมทางเดียว (unidirectional serial interface) โดยทำงานที่ความเร็ว 31.25 กิโลบิตต่อวินาที โดยผิดพลาด $\pm 1\%$ ด้วยความเร็วขนาดนี้ถูกกำหนดเมื่อเทียบกับความเร็วของสัญญาณนาฬิกาของไมโครโปรเซสเซอร์ซึ่งโดยทั่วไปจะมีความเร็วของสัญญาณนาฬิกาอย่างน้อย 1 เมกะเฮิรตซ์ หรือ 2 เมกะเฮิรตซ์ จะมี

ความเร็วมากกว่าหลายเท่า โดยความเร็วของการส่งมีขีดจำกัดเพียงพที่จะไม่เกิดการสั้นหรือเกินของข้อมูลในสายสัญญาณและอุปกรณ์ทางการเชื่อมต่อ แต่ก็ยังเร็วพอที่จะสามารถส่งข้อมูลทางคนตรีจากเครื่องหนึ่งไปยังเครื่องอื่นๆ โดยไม่สามารถสังเกตความแตกต่างของเวลาที่หน่วงได้ ข้อมูลจะถูกส่งไปได้ทางเดียว จากผู้ส่งไปยังผู้รับ โดยไม่มีการย้อนกลับ เว้นแต่จะมีการเชื่อมต่อกลับจากภายนอก

ข้อความควบคุม (Control messages) จะถูกส่งเป็นกลุ่มของไบนารี โดยเริ่มจากบิตเริ่มต้น 1 บิตและปิดท้ายข้อมูลด้วยบิตสิ้นสุด 1 บิต เพื่อที่เป็นการเทียบเวลาให้ตรงกันของผู้รับสำหรับข้อมูลที่ส่งในรูปแบบอะซิงโครนัส ดังรูปที่ 2.1

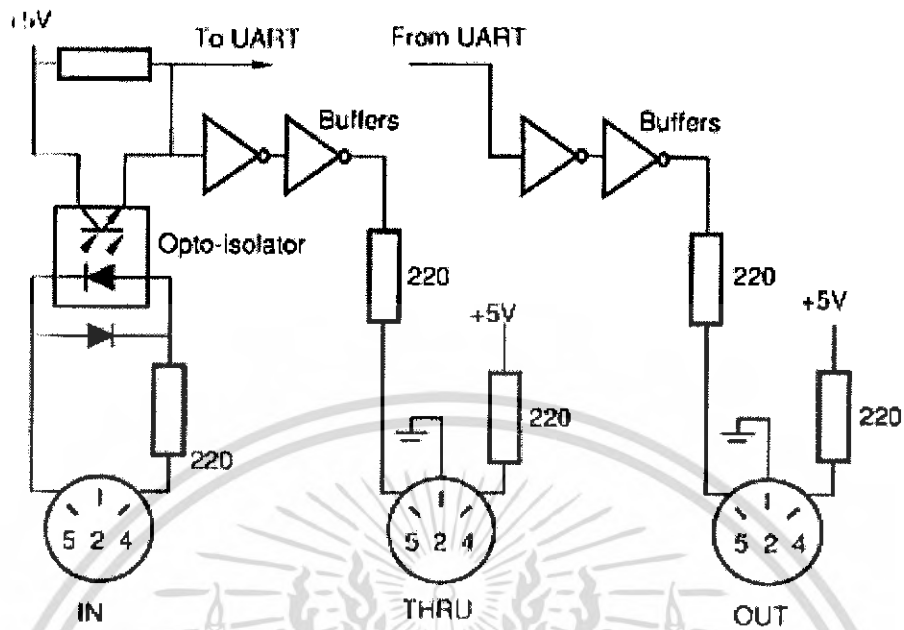


รูปที่ 2.1 การส่งข้อความมีคีย์อย่างอนุกรมอะซิงโครนัส ในรูปแบบของ UART โดยจะมีบิตเริ่มต้นและบิตสิ้นสุดเพื่อเป็นการซิงโครไนซ์ให้กับผู้รับ UART โดยที่บิตเริ่มต้นและบิตสิ้นสุดจะใช้เวลาในการส่ง 320us ต่อ 1 ไบนารี

มีการเพิ่มบิตเริ่มต้นและบิตสิ้นสุดรวมกับบิตข้อมูล 8 บิต จะกลายเป็นบิตข้อมูล 10 บิตที่จะต้องส่ง โดยรวมเวลาส่งจะได้ประมาณ 320us มาตรฐานของข้อความมีคีย์ โดยทั่วไปจะประกอบไปด้วย 1 ไบนารี 2 ไบนารี หรือ 3 ไบนารี

2.1.3 การเชื่อมต่อกับอุปกรณ์ (The Hardware Interface)

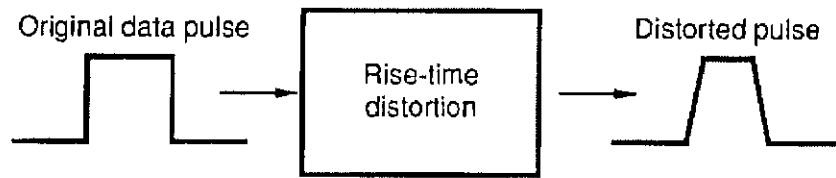
เป็นการเชื่อมต่อกับอุปกรณ์ที่ชัดเจน โดยควรจะใช้งานได้ร่วมกับอุปกรณ์ทางมีคีย์ทุกชนิด และจะต้องมีระบบทางไฟฟ้าที่เข้ากันได้ในระบบ ดังในรูปที่ 2.2



รูปที่ 2.2 การเชื่อมต่อทางไฟฟ้าของมิดีที่พอร์ท IN, THRU และ OUT

อุปกรณ์มิดีส่วนใหญ่จะมี 3 ช่องคือ IN, OUT และ THRU ที่ช่อง OUT จะเป็นตัวส่งข้อมูลที่ตัวอุปกรณ์นั้นเป็นตัวสร้างขึ้นมาเอง ผ่าน UART ของอุปกรณ์นั้น ที่ช่อง IN ใ้รับข้อมูลที่ส่งมาจากอุปกรณ์อื่นไปยัง UART ส่วนที่ช่อง THRU จะส่งต่อข้อมูลจากช่อง IN ไปยังอุปกรณ์อื่นๆ ได้ อุปกรณ์มิดีหลายๆจะไม่มีช่อง THRU แต่สามารถต่ออุปกรณ์ MIDI THRU boxes เพื่อเพิ่มช่อง THRU ได้

ทางช่อง MIDI IN ต้องต่อผ่านทาง Opto-isolator เพื่อไปสู่ส่วนระบบไมโครคอนโทรลเลอร์ของอุปกรณ์ ทั้งนี้เพื่อให้แน่ใจว่าจะไม่มีการเชื่อมต่อทางไฟฟ้าระหว่างอุปกรณ์ และช่วยลดผลของการปัญหาถ้าเกิดอุปกรณ์ตัวหนึ่งมีข้อผิดพลาดทางไฟฟ้า ตัว Opto-isolator เป็นอุปกรณ์ที่ประกอบด้วย LED เพื่อใช้ควบคุมการปิดเปิดของสวิทช์โดยขึ้นอยู่กับศักดาที่ตกคร่อมขั้วทั้ง 2 เพื่อให้แสงกับ Photo-transistor ที่จะขึ้นอยู่กับสถานะของ LED ด้วยเหตุนี้จะส่งข้อมูลผ่านทางแสงด้วย ซึ่งดีกว่าทางไฟฟ้า ในรายละเอียดของมิดี ตัว Opto-isolator ใช้เวลาในช่วงขาขึ้นไม่เกิน 2us ซึ่งเวลาในช่วงขาขึ้นจะมีผลกับการตอบสนองของอุปกรณ์เมื่อเปลี่ยนค่า ซึ่งถ้าเวลาในช่วงขาขึ้นใช้เวลานานอาจจะทำให้เกิดรูปผิดเพี้ยนที่ขอบของบิทข้อมูลได้ ดังในรูปที่ 2.3 ซึ่งจะเป็นเหมือนกันสำหรับเวลาในช่วงขาลง



รูปที่ 2.3 ขอบของคลื่นพัลส์สี่เหลี่ยมถูกทำให้เกิด Rise-time distortion

การบิดเบือนของรูปคลื่นในช่วงขาขึ้นนั้นส่งผลให้เกิดความไม่เสถียรทางเวลาของข้อมูล เมื่อกำลังสลับค่าที่ขอบจะไม่สามารถแยกแยะได้ว่าเป็น 0 หรือ 1 และถ้าเวลาในขอบขาขึ้นเข้ามาเกินไปค่าของข้อมูลจะผิดพลาด โดยผลลัพธ์ของอุปกรณ์จะยังไม่ขึ้นเต็มค่าก่อนที่ข้อมูลบิดเบือนจะตามมา ถ้าอุปกรณ์มีดีหลายเครื่องต่อพ่วงกันแบบอนุกรม(เข้าทาง IN และผ่านทางช่อง THRU) ข้อมูลก็จะผ่าน Opto-isolator หลายตัวและทำให้เกิดการบิดเบือนไปมาก หรือไม่ก็ทำให้เกิดการรับข้อมูลที่ผิดพลาดของตัวรับตัวสุดท้าย ดังนั้นจะขึ้นอยู่กับคุณภาพของ Opto-isolator และความสูญเสียของข้อมูลระหว่างทาง

เมื่อคำนึงถึงความเป็นไปได้ของความหน่วงเวลาระหว่างช่อง IN และช่อง THRU จะต้องอยู่ในหน่วยของ us จะไม่มีผลต่อการได้ยินของมนุษย์

2.1.4 อุปกรณ์เชื่อมต่อและสายสัญญาณ (Connectors and Cables)

หัวต่อสำหรับมีดีเหมือนกับ DIN plugs 5 ขาที่ใช้สำหรับระบบไฮไฟบางระบบ และแม้ว่าสามารถใช้สายของไฮไฟได้ แต่สายที่มีคุณภาพดีกว่าก็ยังจำเป็น ในมาตรฐานก็อนุญาตให้ใช้กับหัว XLR-type ได้แม้ว่าจะใช้ในทางปฏิบัติได้ยาก แต่อุปกรณ์ส่วนใหญ่ก็ใช้เพียงแค่ 3 พินจากทั้งหมด 5 พินของ DIN plug

สายสัญญาณควรจะเป็นสาย Shielded twisted pair และชิลด์จะต่อกับพินที่ 2 ของหัวทั้ง 2 ด้าน แม้ว่าช่อง IN จะไม่ได้ต่อลงกราวด์ที่พินที่ 2 เพื่อที่จะป้องกัน Ground loop และสามารถใส่สายสลับได้ทั้ง 2 ด้าน แนะนำว่าสายไม่ควรยาวเกิน 15 เมตร ถ้ายาวเกินจะเกิดข้อผิดพลาดขึ้นได้

2.1.5 รูปแบบข้อความมีดี (MIDI Message format)

ข้อความมีดีจะมีรูปแบบไบนารีข้อความพื้นฐานอยู่ 2 รูปแบบ คือไบนารีสถานะ (Status byte) และไบนารีข้อมูล โดยไบนารีสถานะนั้นจะขึ้นต้นบิตแรกเป็นไบนารี 1 ซึ่งจะตรงข้ามกับไบนารีข้อมูล ที่จะขึ้นต้นบิตแรกเป็น ไบนารี 0 ดังนั้นจึงเหลือ 7 บิตที่สามารถใช้งานบอกค่าต่างๆได้ $128 (2^7)$ ค่า

ข้อความ มีดี แต่ละข้อความจะมีไบนารีข้อความอยู่ 1-3 ไบนารี จากรูปที่ 2.4 ในไบนารีแรกของข้อความมีดีจะเป็น ไบนารีสถานะ ซึ่งบรรจุไปด้วยข้อมูลเกี่ยวกับมีดีแชนเนล (MIDI Channel) ซึ่งจะถูกกระทำโดย 4 บิตแรก (บิต 3 – บิต 0)ซึ่งจะมีทั้งหมด 16 แชนเนล ส่วนใน บิต 6- บิต 4 จะทำหน้าที่บอกรูปแบบไบนารีของข้อความมีดีชุดนั้นๆ



รูปที่ 2.4 รูปแบบทั่วไปของข้อความมีดี โดย บิต 's s s' ใช้บอกรูปแบบของข้อความ บิต 'n n n n' ใช้บอกเลขมีดีแชนเนล (MIDI Channel number) ส่วน บิต 'x x x x x x x' และ 'y y y y y y y' ใช้บอกถึงข้อมูลของข้อความนี้ดังจะได้อีกกล่าวต่อไป

ข้อความมีดีมาตรฐานสามารถมีได้ถึง 3 ไบนารี ต่อหนึ่งข้อความแต่ไม่ใช่ว่าทุกข้อความจะต้องยาว 3 ไบนารี

รูปแบบข้อความมีดีดูได้จากตารางที่ 2.1

ตารางที่ 2.1 รูปแบบข้อความมีดี

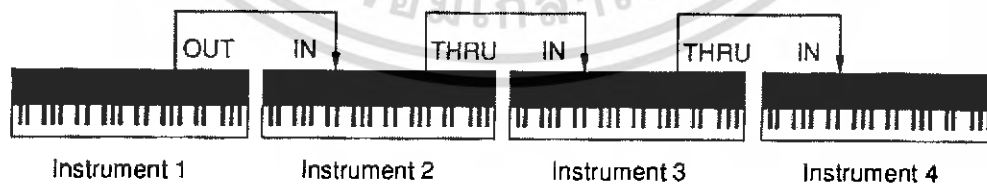
Message	Status	Data 1	Data 2
Note off	&8n	Note number	Velocity
Note on	&9n	Note number	Velocity
Polyphonic aftertouch	&An	Note number	Pressure
Control change	&Bn	Controller number	Data
Program change	&Cn	Program number	--
Channel aftertouch	&Dn	Pressure	--
Pith wheel	&En	LSbyte	MSbyte
System exclusive			
System exclusive start	&F0	Manufacturer ID	Data (Data)(Data)
End of SysEx	&F7	--	

เอกสารนี้เป็นเอกสารที่สงวนไว้สำหรับการใช้งานเพื่อการศึกษาเท่านั้น ไม่อนุญาตให้นำไปใช้ประโยชน์ด้านการค้าไม่ว่ากรณีใดๆ ทั้งสิ้น อีกทั้งห้ามมิให้ดัดแปลงเนื้อหา และต้องอ้างอิงถึงเจ้าของเอกสารทุกครั้งที่มีการนำไปใช้

System common			
Quarter frame	&F1	Data	--
Song pointer	&F2	LSbyte	MSbyte
Song select	&F3	Song number	--
Tune request	&F6	--	--
System realtime			
Timing clock	&F8	--	--
Start	&FA	--	--
Continue	&FB	--	--
Stop	&FC	--	--
Active sensing	&FE	--	--
reset	&FF	--	--

2.1.6 มิดีแชนเนล (MIDI Channel)

มิดีแชนเนล คือ การประกาศรหัสในการรับส่งข้อมูลมิดี เพื่อให้เกิดการตอบสนอง และการละเว้นการตอบสนอง ข้อมูลของอุปกรณ์การรับ จากอุปกรณ์การส่ง เพื่อให้เกิดการตอบสนองข้อมูลของอุปกรณ์รับเฉพาะชั้นที่ระบุไว้ เช่น จากรูปที่ 2.5 หากอุปกรณ์ ชั้นที่ 1 เป็นตัวส่ง อุปกรณ์ชั้นที่ 2,3,4 เป็นตัวรับข้อมูลแล้ว เราสามารถระบุได้ว่าต้องการให้อุปกรณ์ตัวใดรับแล้วตอบสนองข้อมูลบ้าง โดยการกำหนด มิดีแชนเนล ของอุปกรณ์การรับให้ตรงกับมิดีแชนเนล ของอุปกรณ์การส่ง ส่วน อุปกรณ์การรับที่กำหนดมิดีแชนเนลไม่ตรงกันก็จะไม่ตอบสนองต่อข้อมูลนั้นๆ โดยมีดีแชนเนลทั้งหมดจะมี 16 แชนเนล คือ แชนเนล 1 ถึง แชนเนล 16 โดยข้อมูลของมิดีแชนเนลจะถูกระบุใน บิต 3 - บิต 0 ของไบต์สถานะในข้อความมิดี



รูปที่ 2.5 การส่งข้อมูลมิดี แบบลูกโซ่โดยอุปกรณ์ 1 เป็นตัวส่งและอุปกรณ์ 2, 3 และ 4 เป็นตัวรับ

2.1.7 ข้อมูลเกี่ยวกับโน้ตในข้อความมิดี (Note information in MIDI message)

ในข้อความมิดี มีการบอกค่าต่างๆของโน้ต โดยจะมีการระบุค่าไว้ที่ไบท์ข้อมูลที 1 และ 2 (ไบท์ที่ 3 ของข้อความมิดี) ยกเว้นค่าความยาวเสียงจะไม่มีการระบุโดยตรงแต่จะใช้เป็นการบอกเปิดโน้ต (Note on) และการบอกปิดโน้ต (Note off) แทน โดยจะบอกค่าใน บิต 6- บิต 4 ของไบท์สถานะ โดยการบอกค่าต่างๆของโน้ต มีรายละเอียดดังนี้

1. เปิดโน้ต และ ปิดโน้ต (Note on and note off) ใช้ในการบอกค่าความยาวของตัวโน้ตคือ โน้ตจะเริ่มเล่นเมื่อได้รับข้อความเปิดโน้ต และ จะเล่นไปเรื่อยๆจนกว่าจะได้รับข้อความปิดโน้ตจึงทำการหยุดเล่น โดยข้อมูลการเปิดโน้ต และ ปิดโน้ต จะถูกระบุใน บิต 3 – บิต 0 ของไบท์สถานะ. ในข้อความมิดี โดยมีค่าดังในตารางที่ 2.2

2. ระดับเสียงของตัวโน้ต (Pitch) จะมีการระบุค่าไว้ทั้งหมด 128 (2⁷) ค่า ตั้งแต่ ระดับเสียง C -2 ถึง G8 โดยจะทำการระบุ ค่าไว้ในบิต 6 – บิต 0 ของ ไบท์ข้อมูลที 1 โดยมีค่าดังตารางที่ 2.1

ตารางที่ 2.2 การบอกระดับเสียงเป็นตัวเลขโน้ตมิดี

ระดับเสียง (Pitch)	ตัวเลขโน้ตมิดี (MIDI note number)
C -2	0
C -1	12
C 0	24
C 1	36
C 2	48
C 3	60
C 4	72
C 5	84
C 6	96
C 7	108
C 8	120
G 8	127

เอกสารนี้เป็นเอกสารที่สงวนไว้สำหรับการใช้งานเพื่อการศึกษาเท่านั้น ไม่อนุญาตให้นำไปใช้ประโยชน์ด้านการค้าไม่ว่ากรณีใดๆ ทั้งสิ้น อีกทั้งห้ามมิให้ดัดแปลงเนื้อหา และต้องอ้างอิงถึงเจ้าของเอกสารทุกครั้งที่มีการนำไปใช้

3. ค่าความดังของโน้ต (Velocity) จะสามารถระบุค่าได้ทั้งหมด $128 (2^7)$ ความแตกต่าง โดยจะทำการระบุค่าไว้ในบิต 6 – บิต 0 ของ ไบท์ข้อมูลที่ 2 โดยค่าความดังจะถูกส่งมาพร้อมกับชุด ข้อมูลเปิดโน้ตและจะคงค่าความดังนั้นๆไว้จนกว่าจะได้รับข้อมูลปิดโน้ต ส่วนค่าความดังที่มากกับ ชุดข้อมูลปิดโน้ตนั้นจะมีใช้กันบ้างในวงแคบ มีอุปกรณ์บางชิ้นที่จะตอบสนองข้อมูลนี้

4. ค่าแรงกดคีย์หลังเปิดโน้ต (Polyphonic aftertouch) เป็นข้อมูลที่มีใช้ในอุปกรณ์ที่มี ลักษณะเป็นคีย์บอร์ด โดยจะเป็นข้อมูลที่บอกถึงแรงกดคีย์ที่เปลี่ยนไปหลังจากมีการเปิดโน้ตไป แล้ว โดยจะมีการส่งข้อมูลในบิต 3 – บิต 0 ของไบท์สถานะในข้อความมีดี โดยมีค่าดังในตารางที่ 2.1

2.2 การแปลงฟูรีเยร์ (Fourier Transforms)

การแปลงฟูรีเยร์เป็นคณิตศาสตร์พื้นฐานในการวิเคราะห์สัญญาณใน โดเมนความถี่ ใน สาขาการ

ประมวลผลสัญญาณจึงนิยมนำการแปลงฟูรีเยร์มาใช้งานกันอย่างแพร่หลายทั้งนี้เพราะการแปลงฟู รีเยร์จะมีสัญญาณไซน์และโคไซน์เป็นองค์ประกอบ ซึ่งโดยทั่วไปแล้วสัญญาณทั้งสองจะมี ความสำคัญมากเพราะเป็นสัญญาณพื้นฐานสำหรับพิจารณาสัญญาณอื่นๆ

ในบทนี้จะได้กล่าวถึงการแปลงฟูรีเยร์เต็มหน่วย ซึ่งเป็นการวิเคราะห์สัญญาณใน โดเมน ความถี่ การแปลงฟูรีเยร์แบบเร็ว การแปลงฟูรีเยร์ในช่วงเวลาสั้น การหาค่าเฉลี่ยของสัญญาณแบบ เคลื่อนที่ และคุณสมบัติของเสียงดนตรี

2.2.1 การแปลงฟูรีเยร์เต็มหน่วย (Discrete Fourier Transform: DFT)

การแปลงฟูรีเยร์เต็มหน่วยหรือการแปลงฟูรีเยร์ไม่ต่อเนื่อง ได้พัฒนาขึ้นมาเพื่อใช้ในการ แปลงสัญญาณดิจิทัลที่อยู่ใน โดเมนเวลาไปเป็นสัญญาณที่อยู่ใน โดเมนความถี่ ดังนั้นจึงกล่าวได้ ว่าการแปลงฟูรีเยร์เต็มหน่วยเป็นการวิเคราะห์สัญญาณใน โดเมนความถี่

2.2.1.1 การคำนวณการแปลงฟูรีเยร์เต็มหน่วยโดยตรง (Direct Computation DFT)

พิจารณา $x(n)$ ซึ่งเป็นชุดแถวของสัญญาณเต็มหน่วยอินพุตที่ประกอบด้วย N จุดตัวอย่าง $X(k)$ ก็คือชุดแถวของสัญญาณที่ได้จากการแปลงฟูรีเยร์ และมีจำนวน N จุดตัวอย่าง เช่นเดียวกัน

$$\text{DFT: } X(k) = \begin{cases} \sum_{n=0}^{N-1} x(n)e^{-\frac{j2\pi nk}{N}} & ; 0 \leq k \leq N-1 \\ 0 & ; \textit{elsewhere} \end{cases} \quad (2.1)$$

เอกสารนี้เป็นเอกสารที่สงวนไว้สำหรับการใช้งานเพื่อการศึกษาเท่านั้น ไม่อนุญาตให้นำไปใช้ประโยชน์ด้านการค้า ไม่ว่ากรณีใดๆ ทั้งสิ้น อีกทั้งห้ามมิให้ดัดแปลงเนื้อหา และต้องอ้างอิงถึงเจ้าของเอกสารทุกครั้งที่มีการนำไปใช้

และ

$$\text{IDFT: } x(n) = \begin{cases} \sum_{k=0}^{N-1} X(k) e^{j2\pi nk/N} & ; 0 \leq n \leq N-1 \\ 0 & ; \text{elsewhere} \end{cases} \quad (2.2)$$

สังเกตว่า การคำนวณ $x(n)$ จาก $X(k)$ หรือ Inverse DFT (IDFT) นั้น เป็นวิธีเดียวกันกับการคำนวณ $X(k)$ จาก $x(n)$ สำหรับการคำนวณแต่ละองค์ประกอบความถี่ X_k จะต้องใช้ในการคูณจำนวนเชิงซ้อน N ครั้ง และใช้การบวกจำนวนเชิงซ้อน $(N-1)$ ครั้ง แต่ละชุดข้อมูลก็จะมี N ตัวอย่าง ดังนั้น overhead ของการคูณและการบวกจึงเขียนได้เป็น

- (Multiplication) = N^2
- (Addition) = $N(N-1) \approx N^2$

เนื่องจากการกำหนดมาก่อนแล้วถึงความเป็นวัฏจักร (Cyclic หรือ Periodic) การคำนวณ DFT จึงต้องอาศัยรากเอกภาพอันดับ N (N^{th} root of Unity) ในที่นี้ให้

$$W_N = e^{-j2\pi/N}$$

โดยอาศัยคุณสมบัติสังยุคสมมาตร (Complex Conjugate Symmetry) และการสมคาบ (Periodicity) ของ $e^{-j2\pi nk/N} = W_N^{nk}$ สำหรับ n และ k

$$W_N^{k(N-n)} = W_N^{-nk} = (W_N^{nk})^*$$

และ

$$W_N^{nk} = W_N^{k(n+N)} = W_N^{n(k+N)}$$

คุณสมบัติดังกล่าวเป็นคุณสมบัติที่มีประโยชน์ในการพัฒนาการแปลงฟูเรียร์แบบเร็ว

การประมวลผลข้อมูลจำนวนมาก ๆ โดยใช้วิธีคำนวณโดยตรงนั้น มักจะไม่นิยมเพราะสิ้นเปลืองเวลาในการคำนวณมากเกินไป อย่างไรก็ตามการคำนวณโดยตรงมีโครงสร้างที่ไม่ซับซ้อน ทำให้สามารถที่จะสร้าง วงจรคำนวณในแบบหน่วยแถว (Systolic Array) ได้ง่าย หรือสามารถที่จะใช้การประมวลผลแบบขนาน (Parallel Processing) ได้สะดวก

2.2.2 การแปลงฟูรีเยร์แบบเร็ว (Fast Fourier Transform)

ในการคำนวณการแปลงฟูรีเยร์เต็มหน่วยโดยตรงนั้นมีการสิ้นเปลืองเวลาในการคำนวณมาก มักไม่ได้รับความนิยม โดยเฉพาะเมื่อ N มีค่ามาก ดังนั้นจึงมีขั้นตอนวิธีจำนวนอื่นอีกมากที่ได้รับการพัฒนาจนใช้งานได้อย่างเกิดประสิทธิภาพเมื่อเทียบกับการคำนวณโดยตรง ขั้นตอนวิธีส่วนใหญ่จะขึ้นอยู่กับจำนวนข้อมูลในชุดแถวหรือขนาดของบล็อก (Block Size, N) เป็นสำคัญ เช่น ขั้นตอนวิธีตัวประกอบปฐม (Prime Factor Algorithm, PFA) เหมาะสมกับ N ที่เป็นจำนวนปฐม (เช่น 2, 3, 5, 7, 11, 13, 17, 19 เป็นต้น) ขั้นตอนวิธีแยกองค์ประกอบมักจะเหมาะสมกับ N ที่แยกตัวประกอบได้ หรือ Composite Block Length (เช่น $4 = 2 \times 2$, $6 = 3 \times 2$, $12 = 3 \times 2 \times 2$, $15 = 5 \times 3$, $255 = 3 \times 5 \times 17$ เป็นต้น) ขั้นตอนวิธีแยกตัวประกอบที่ลดการคำนวณได้สูงสุดก็คือวิธีของ Cooley & Tukey ที่ถูกคิดค้นขึ้นในปี ค.ศ. 1965 ซึ่งเหมาะสมกับ $N=2^m$ (เช่น $N = 2, 4, 8, 16, 32, 64, 128, 256, 512, 1024 \dots$ เป็นต้น)

วิธีของ Cooley & Tukey ได้ย่อการคำนวณเป็นชุดเล็ก ๆ จำนวนมากที่แทบจะไม่ต้องอาศัยการคูณ ความซับซ้อนของการคำนวณจาก N^2 จึงกลายมาเป็น $N \log_2 N$ วิธีดังกล่าวนี้อาศัยการลดทอนทางเวลา (เริ่มการแบ่งจากกลุ่มของข้อมูล, $x(n)$ ก่อน) หรือการลดทอนทางความถี่ (เริ่มการแบ่งจากกลุ่มของผลลัพธ์, $X(k)$ ก่อน) ก็ได้

2.2.2.1 การคำนวณการแปลงฟูรีเยร์แบบเร็วโดยการลดทอนทางเวลา

(Decimation in Time Fast Fourier Transforms; DIT FFT)

สำหรับชุดข้อมูล $N = 2^m$ เมื่อ m คือเลขจำนวนเต็มบวกใด ๆ $x(n)$ เป็นอินพุตที่ดัชนีต่าง ๆ การแปลง ฟูรีเยร์เต็มหน่วย สามารถเขียนได้โดย

$$X(k) = \sum_{n=0}^{N-1} x(n)W_N^{nk}, \quad 0 \leq k \leq N-1 \quad (2.3)$$

$$X(k) = \sum_{n=0}^{N-2} x(n)W_N^{nk} + \sum_{n=1}^{N-1} x(n)W_N^{nk} \quad (2.4)$$

$n=\text{even}$ $n=\text{odd}$

ให้ $n = 2r$ สำหรับผลบวกชุดแรก และให้ $n = 2r + 1$ สำหรับผลบวกชุดหลัง จะได้

$$X(k) = \sum_{r=0}^{\frac{N}{2}-1} x(2r)W_N^{2rk} + \sum_{r=0}^{\frac{N}{2}-1} x(2r+1)W_N^{(2r+1)k}$$

จาก $W_N^{(2r+1)k} = W_N^{2rk} \cdot W_N^k$ และ $W_N^{2rk} = (W_N^2)^{rk} = e^{\frac{j2\pi}{N}2rk} = e^{\frac{j2\pi}{N/2}rk} = W_{N/2}^{rk}$ จะได้

$$X(k) = \sum_{r=0}^{\frac{N}{2}-1} x(2r)W_{N/2}^{rk} + W_N^k \sum_{r=0}^{\frac{N}{2}-1} x(2r+1)W_{N/2}^{rk}$$

เมื่อให้ $g(r) = x(2r)$ และ $h(r) = x(2r+1)$ จะได้

$$X(k) = \sum_{r=0}^{\frac{N}{2}-1} g(r)W_{N/2}^{rk} + W_N^k \sum_{r=0}^{\frac{N}{2}-1} h(r)W_{N/2}^{rk} ; 0 \leq k \leq N-1 \quad (2.5)$$

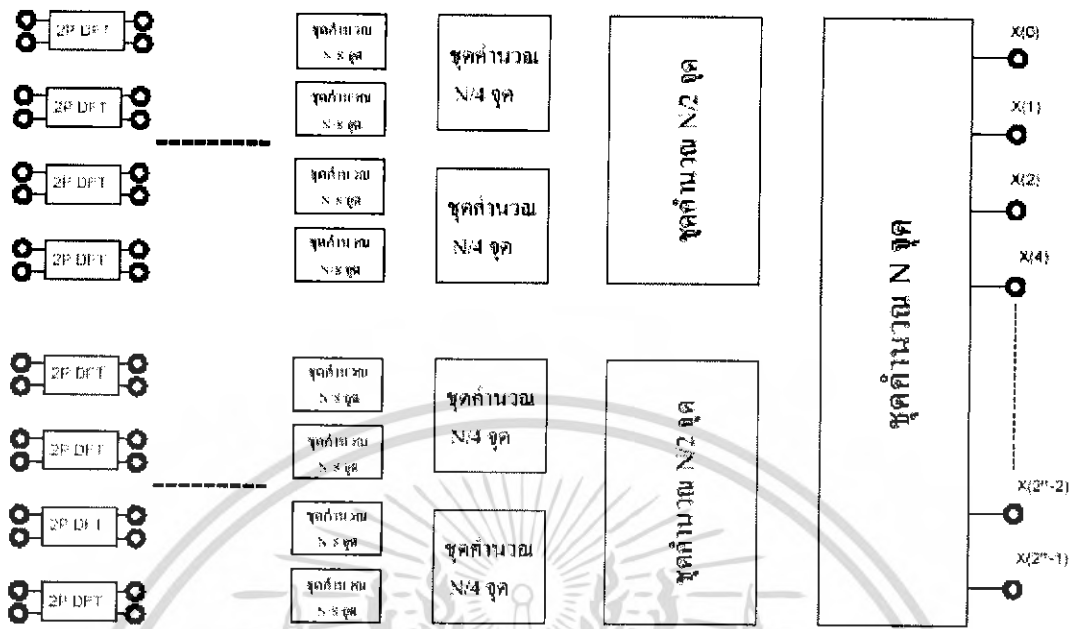
แม้ว่าดัชนี k ในสมการ (2.5) จะมีค่าจาก 0 ถึง $N-1$ แต่ส่วนผลบวกก็จะใช้เพียงครั้งเดียวเท่านั้น และเมื่อให้ $G(k)$ และ $H(k)$ เป็นผลการแปลงฟูเรียร์เต็มหน่วยของ $g(n)$ และ $h(n)$ ตามลำดับ จะได้

$$X(k) = G(k) + W_N^k H(k) ; 0 \leq k \leq \frac{N}{2} \quad (2.6)$$

เนื่องจากคาบของ $G(k)$ และ $H(k)$ มีค่าเป็น $N/2$ ค่าของ $X(k)$ ที่เหลือจึงหาได้จาก

$$X(k) = G(k - \frac{N}{2}) + W_N^k H(k - \frac{N}{2}) ; \frac{N}{2} \leq k \leq N-1 \quad (2.7)$$

การคำนวณตามสมการที่ (2.7) สามารถที่จะแสดงได้ดังรูปที่ 2.6



รูปที่ 2.6 การคำนวณการแปลงฟูเรียร์แบบเร็วโดยการลดทอนทางเวลา

ในทำนองเดียวกันการคำนวณการแปลง $G(k)$ และ $H(k)$ ก็สามารถที่จะแยกย่อยไปอีกเรื่อย ๆ จนมีขนาดน้อยที่สุด คือ 2 จุด แสดงได้โดย

$$X(k) = \sum_{n=0}^{N-1} x(n)W_N^{nk} + \sum_{n=0}^1 x(n)W_2^{nk}$$

ซึ่งอาจจะเขียนอยู่ในรูปของเมทริกซ์ ดังนี้

$$\begin{bmatrix} X(0) \\ X(1) \end{bmatrix} = \begin{bmatrix} W_2^0 & W_2^0 \\ W_2^0 & W_2^1 \end{bmatrix} \begin{bmatrix} x(0) \\ x(1) \end{bmatrix}$$

เมื่อ $W_2^0 = e^0 = 1$ และ $W_2^1 = e^{-j2\pi/2} = \cos(\pi) - j \sin(\pi) = -1$ หรือจะได้

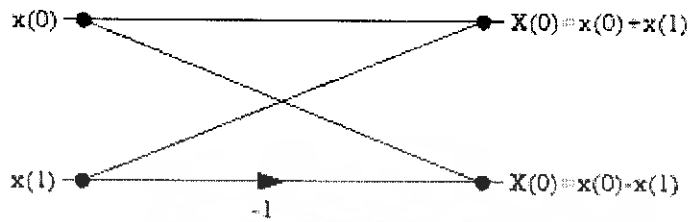
$$X(0) = x(0)W_2^0 + x(1)W_2^0 = x(0) + x(1)$$

และ

$$X(1) = x(0)W_2^0 + x(1)W_2^1 = x(0) - x(1)$$

เอกสารนี้เป็นเอกสารที่สงวนไว้สำหรับการใช้งานเพื่อการศึกษาเท่านั้น ไม่อนุญาตให้นำไปใช้ประโยชน์ด้านการค้าไม่ว่ากรณีใดๆ ทั้งสิ้น อีกทั้งห้ามมิให้ดัดแปลงเนื้อหา และต้องอ้างอิงถึงเจ้าของเอกสารทุกครั้งที่มีการนำไปใช้

สามารถที่จะเขียนกราฟไหลของสัญญาณ (Signal Flow Graph) ได้ดังรูป

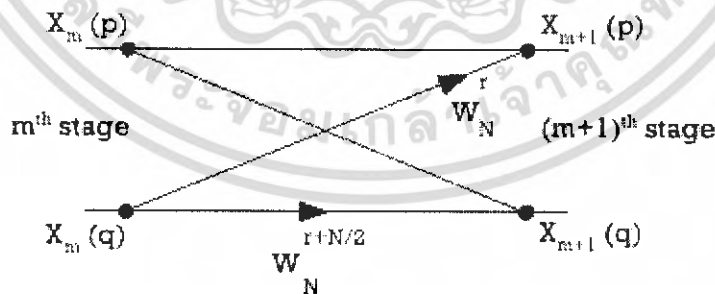


รูปที่ 2.7 กราฟไหลสัญญาณของการแปลง 2 จุด

สังเกตว่าในการลดทอนแต่ละครั้งผ่าน (Pass) ขนาดของบล็อกที่จะต้องทำการแปลงจะลดลงครึ่งหนึ่งเสมอ ดังนั้นจำนวนครั้งผ่านทั้งหมดจึงเป็น $\log_2 N$ ในแต่ละครั้งผ่าน จะมีการคูณ N ครั้ง (คือ คูณด้วย W_N^k) จำนวนการคูณทั้งหมดจึงเป็น $N \log_2 N$ ซึ่งเมื่อเทียบกับ N^2 แล้วจะน้อยกว่ามาก

2.2.2.2 แฟกเตอร์ตัวบิดและหน่วยคำนวณผีเสื้อ (Twiddle Factor & Butterfly Unit)

การทำงานขั้นพื้นฐานของการแปลงก็คือการเรียงดัชนีใหม่การคูณด้วย W_N^k และการบวกกันของ ข้อมูลการคูณเสมือนทำให้ตำแหน่งของข้อมูลย้ายไป จึงเรียก W_N^k ว่าเป็นแฟกเตอร์ตัวบิด (Twiddle Factor) การบวกกันเป็นคู่ ๆ มีลักษณะเป็นแบบเคมเสมอและไขว้เทียงเหมือนตัวผีเสื้อ ดังนี้



รูปที่ 2.8 กราฟไหลสัญญาณในหน่วยคำนวณผีเสื้อ

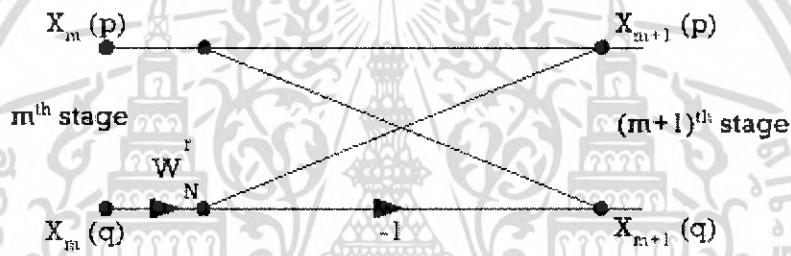
$$X_{m+1}(p) = X_m(p) + W_N^r X_m(q) \quad (2.8)$$

$$X_{m+1}(q) = X_m(p) + W_N^{r+N/2} X_m(q) \quad (2.9)$$

จากสมการ (2.9)

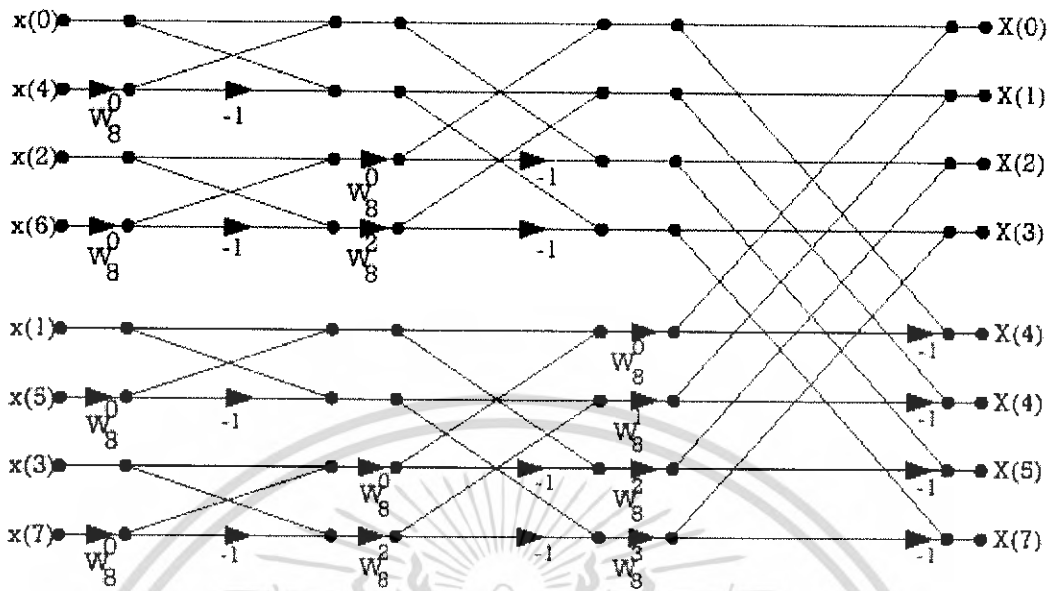
$$\begin{aligned} X_{m+1}(q) &= X_m(p) + W_N^r W_N^{N/2} X_m(q) \\ &= X_m(p) - W_N^r X_m(q) \end{aligned} \quad (2.10)$$

จากสมการ (2.8) และ (2.10) จะเขียนรูปหน่วยผีเสื้อได้ใหม่เป็น



รูปที่ 2.9 หน่วยคำนวณผีเสื้อที่ลดรูปแล้ว

จะสังเกตเห็นว่าหน่วยคำนวณนี้ใช้การคูณ(จำนวนเชิงซ้อน)เพียง 1 ครั้ง จากตัวอย่างการแปลง 8 จุด จะเขียนกราฟไหลของสัญญาณได้เป็นดังรูปที่ 2.10 การคูณด้วย -1 เป็นการทำงานที่ง่ายเพราะเพียงแค่กลับเครื่องหมายเท่านั้น และยังมีการคูณอีกมาก ($=2^m - 1$ ครั้ง) ที่คูณด้วย 1 (เพราะว่า $W_N^0 = 1$)



รูปที่ 2.10 การแปลง 8 จุดโดยใช้หน่วยคำนวณผีเสื้อที่ลดรูปแล้ว (DIT)

2.2.2.3 การกลับบิตและการคำนวณ (Bit Reversing & Computation Load)

การแปลงฟูรีเยร์เต็มหน่วยแบบเร็วโดยอาศัยการลดทอนทางเวลา ตำแหน่งข้อมูลทางด้านเข้าที่พุทจะเรียงกันตามลักษณะปกติ แต่ตำแหน่งข้อมูลทางด้านอินพุทจะบิดเปลี่ยนไป (เช่น 0,4,2,6,1,5,3,7 ในกรณีการแปลง 8 จุด) ก่อนที่จะเริ่มการคำนวณ จะต้องจัดวางข้อมูลในตำแหน่งที่เหมาะสมก่อน การจัดตำแหน่งนี้มีกฎเกณฑ์ที่เรียกว่าการกลับบิต ดังจะยกตัวอย่างตามตารางข้างล่างนี้

ตารางที่ 2.3 การกลับบิตดัชนีข้อมูล

ตำแหน่ง	รหัสฐานสอง	รหัสที่กลับบิต	ดัชนีข้อมูล
0	000	000	0
1	001	100	4
2	010	010	2
3	011	110	6
4	100	001	1
5	101	101	5
6	110	011	3
7	111	111	7

เอกสารนี้เป็นเอกสารที่สงวนไว้สำหรับการใช้งานเพื่อการศึกษาเท่านั้น ไม่อนุญาตให้นำไปใช้ประโยชน์ด้านการค้าไม่ว่ากรณีใดๆ ทั้งสิ้น อีกทั้งห้ามมิให้ดัดแปลงเนื้อหา และต้องอ้างอิงถึงเจ้าของเอกสารทุกครั้งที่มีการนำไปใช้

สำนักหอสมุดกลาง พระจอมเกล้าลาดกระบัง

ในการแปลงฟูเรียร์เต็มหน่วยแบบเร็ว N จุด หากใช้ไมโครโปรเซสเซอร์จะต้องเสียส่วนเก็บข้อมูล $5N$ ตำแหน่ง ($2N$ สำหรับข้อมูลอินพุต $2N$ สำหรับข้อมูลเอาต์พุต และ N สำหรับแฟกเตอร์ตัวบิด) และสามารถลดเหลือ $3N$ ตำแหน่ง หากเป็นการคำนวณแบบแทนที่ (Inplace Computation) เพราะว่าบางครั้งหากไม่ได้นำข้อมูลอินพุตไปใช้ต่อ ตำแหน่งนั้นก็ใช้เก็บผลการคำนวณในแต่ละรอบจนได้เอาต์พุต สังเกตว่าแม้ข้อมูลอินพุตจะเป็นจำนวนจริง แต่ในระหว่างการคำนวณจะทำให้ได้ผลลัพธ์เป็นจำนวนเชิงซ้อนเสมอ สำหรับ N ตำแหน่งส่วนของส่วนเก็บข้อมูลแฟกเตอร์ตัวบิด $N/2$ ใช้สำหรับเก็บ $\cos n\theta$ และ $N/2$ ใช้สำหรับเก็บ $\sin n\theta$ เมื่อ $\theta = 2\pi/N$ และ $n = 0, \dots, N/2 - 1$

การแปลงฟูเรียร์เต็มหน่วยแบบเร็ว N จุด จะมีครั้งผ่านทั้งหมด $\log_2 N$ ครั้งผ่าน มีหน่วยคำนวณเฉลี่ยทั้งหมด $N/2 \log_2 N$ หน่วย อาศัยการคูณจำนวนเชิงซ้อนทั้งหมด $N \log_2 N$ ครั้ง ตารางข้างล่างนี้แสดงให้เห็นภาระการคูณเมื่อเทียบกับการคำนวณโดยตรงซึ่งใช้การคูณ N^2 ครั้ง

จำนวนจุด (N)	N^2	$N \log_2 N$
8	64	24
16	256	64
64	4,096	384
256	65,536	2,048
512	262,144	4,608
1,024	1,048,576	10,240

ตารางที่ 2.4 จำนวนการคูณจำนวนเชิงซ้อนในการแปลงฟูเรียร์เต็มหน่วย

2.2.2.4 การคำนวณการแปลงฟูเรียร์แบบเร็วโดยการลดทอนทางความถี่

(Decimation in Frequency Fast Fourier Transform : DIF FFT)

ชุดข้อมูล $N = 2^m$ เมื่อ m คือเลขจำนวนเต็มบวกใด ๆ $x(n)$ เป็นอินพุตที่ดัชนีต่าง ๆ การแปลงฟูเรียร์เต็มหน่วย สามารถเขียนได้โดย

$$X(k) = \sum_{n=0}^{N-1} x(n)W_N^{nk} \quad ; \quad 0 \leq k \leq N-1 \quad (2.11)$$

73159

เอกสารนี้เป็นเอกสารที่สงวนไว้สำหรับการใช้งานเพื่อการศึกษาเท่านั้น ไม่อนุญาตให้นำไปใช้ประโยชน์ด้านการค้าไม่ว่ากรณีใดๆ ทั้งสิ้น อีกทั้งห้ามมิให้ดัดแปลงเนื้อหา และต้องอ้างอิงถึงเจ้าของเอกสารทุกครั้งที่มีการนำไปใช้

$$= \sum_{n=0}^{\frac{N}{2}-1} X(n)W_N^{nk} + \sum_{n=\frac{N}{2}}^{N-1} x(n)W_N^{nk}$$

เมื่อให้ $r = n - \frac{N}{2}$ จะได้ $n = r + \frac{N}{2}$

ดังนั้น

$$X(k) = \sum_{n=0}^{\frac{N}{2}-1} x(n)W_N^{nk} + \sum_{r=0}^{\frac{N}{2}-1} x\left(r + \frac{N}{2}\right)W_N^{(r+\frac{N}{2})k}$$

เพราะว่า $W_N^{\frac{N}{2}k} = e^{-j\pi k} = (-1)^k$ โดยที่ทั้ง r และ n เป็นคี่หรืออันดับเดียวกัน จึงได้

$$X(k) = \sum_{n=0}^{\frac{N}{2}-1} \left\{ x(n) + (-1)^k x\left(n + \frac{N}{2}\right) \right\} W_N^{nk}$$

จัดเป็นกลุ่มเทอมคู่และเทอมคี่ ในช่วง $0 \leq r \leq \frac{N}{2} - 1$

สำหรับเทอมคู่ $k = 2r$

$$X(2r) = \sum_{n=0}^{\frac{N}{2}-1} \left\{ x(n) + (1)^{2r} x\left(n + \frac{N}{2}\right) \right\} W_N^{2nr}$$

$$= \sum_{n=0}^{\frac{N}{2}-1} \left\{ x(n) + x\left(n + \frac{N}{2}\right) \right\} W_{N/2}^{nr}$$

สำหรับเทอมคี่ $k = 2r + 1$

$$X(2r+1) = \sum_{n=0}^{\frac{N}{2}-1} \left\{ x(n) + (1)^{2r+1} x\left(n + \frac{N}{2}\right) \right\} W_N^{n(2r+1)}$$

เอกสารนี้เป็นเอกสารที่สงวนไว้สำหรับการใช้งานเพื่อการศึกษาเท่านั้น ไม่อนุญาตให้นำไปใช้ประโยชน์ด้านการค้า
ไม่ว่ากรณีใดๆ ทั้งสิ้น อีกทั้งห้ามมิให้ดัดแปลงเนื้อหา และต้องอ้างอิงถึงเจ้าของเอกสารทุกครั้งที่มีการนำไปใช้

$$= \sum_{n=0}^{\frac{N}{2}-1} \left\{ x(n) - x\left(n + \frac{N}{2}\right) \right\} W_N^n W_{N/2}^{nr}$$

โดยกำหนดให้

$$g(n) = x(n) + x\left(n + \frac{N}{2}\right)$$

$$h(n) = x(n) - x\left(n + \frac{N}{2}\right)$$

ดังนั้น

$$X(2r) = \sum_{n=0}^{\frac{N}{2}-1} g(n) W_{N/2}^{nr} \quad ; \quad 0 \leq r \leq \frac{N}{2}$$

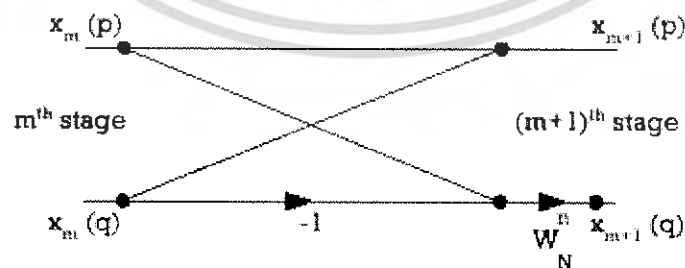
$$X(2r+1) = \sum_{n=0}^{\frac{N}{2}-1} h(n) W_N^n W_{N/2}^{nr} \quad ; \quad 0 \leq r \leq \frac{N}{2}$$

จะเห็นว่า $X(k)$ ซึ่งเป็นการแปลง N จุด ได้จากการแปลง $N/2$ จุดจากตัวอย่าง $g(n)$ และ $h(n)W_N^n$ การกระทำที่สามารถที่จะแบ่งครึ่งออกไปได้อีกเรื่อย ๆ จนเหลือ 1 คู่ ในขั้นตอนสุดท้าย แต่ละคู่ของการแปลงสามารถที่จะเขียนเป็นหน่วยคำนวณผีเสื้อได้เช่นเดียวกัน

$$x_{m+1}(p) = x_m(p) + x_m(q) \quad (2.12)$$

$$x_{m+1}(q) = \{x_m(p) - x_m(q)\} W_N^n \quad (2.13)$$

ซึ่งสามารถที่จะเขียนกราฟการไหลของสัญญาณได้ดังรูป



รูปที่ 2.11 หน่วยคำนวณผีเสื้อของการแปลงฟูเรียร์โดยการลดทอนทางความถี่

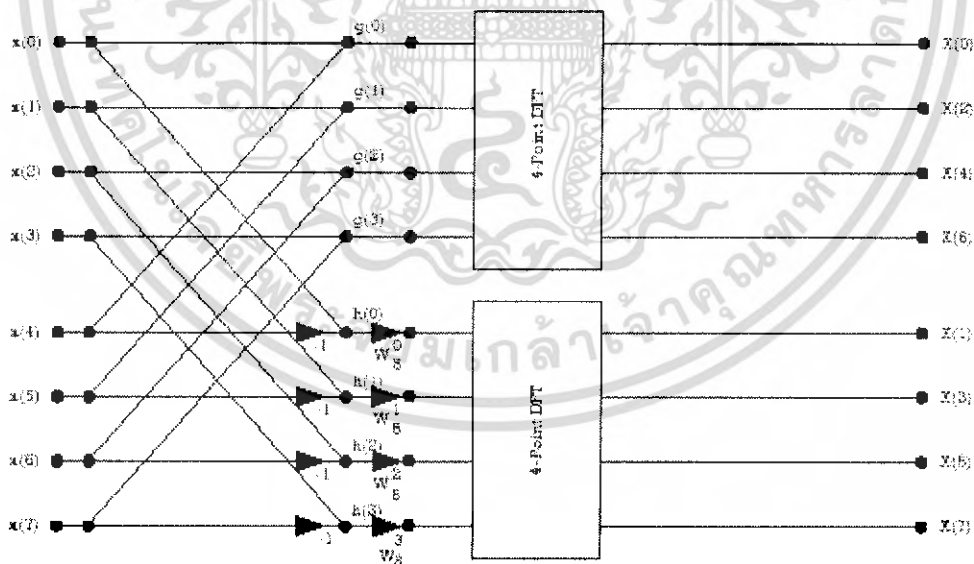
เอกสารนี้เป็นเอกสารที่สงวนไว้สำหรับการใช้งานเพื่อการศึกษาเท่านั้น ไม่อนุญาตให้นำไปใช้ประโยชน์ด้านการค้า ไม่ว่าจะกรณีใดๆ ทั้งสิ้น อีกทั้งห้ามมิให้ดัดแปลงเนื้อหา และต้องอ้างอิงถึงเจ้าของเอกสารทุกครั้งที่มีการนำไปใช้

จำนวนครั้งผ่านที่ต้องการคือ $\log_2 N$ โดยแต่ละครั้งผ่านจะมีการคำนวณในผีเสื้อ $N/2$ หน่วย ดังนั้นจะสังเกตเห็นได้ว่าการแปลงฟูเรียร์ไม่ว่าจะอาศัยการลดทอนทางเวลาหรือการลดทอนทางความถี่ โครงสร้างการคำนวณจะใกล้เคียงกันมาก

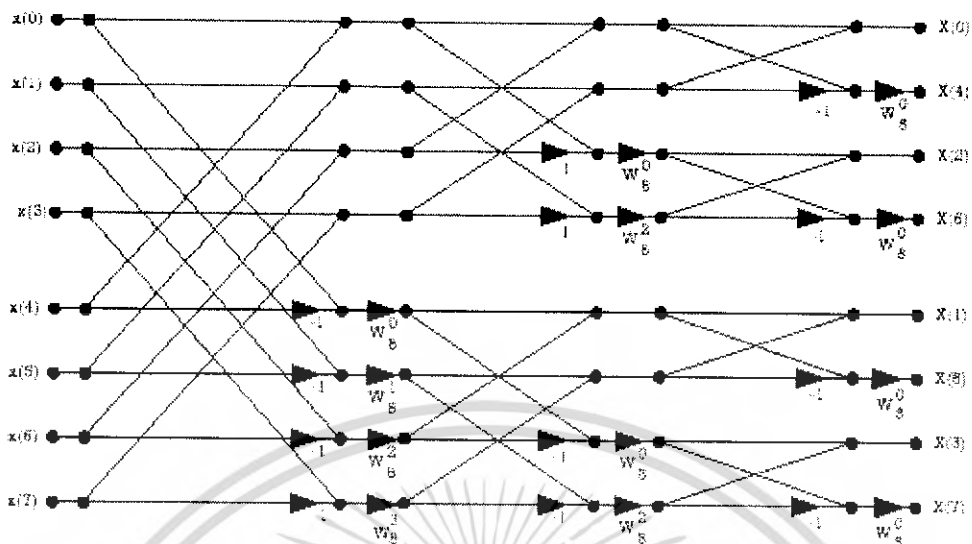
ยกตัวอย่างการแปลงฟูเรียร์เต็มหน่วย 8 จุด โดยการลดทอนทางความถี่ จะสามารถแบ่งครั้งผ่านได้เป็น 3 ครั้งผ่าน ครั้งผ่านแรกจะทำงานกับข้อมูลทั้งหมด แฟกเตอร์ตัวบิดที่ใช้คือ W_8^0, W_8^1, W_8^2 และ W_8^3 โดยที่ข้อมูลที่เข้ามานั้นจัดลำดับอย่างปกติ ในครั้งผ่านที่ 2 จะแบ่งผลที่ได้มาเป็น 2 กลุ่ม กลุ่มละ 4 จุดข้อมูล

การแปลงฟูเรียร์เต็มหน่วย 4 จุดนั้น สามารถแยกย่อยเป็นการแปลงฟูเรียร์เต็มหน่วย 2 จุด 2 ชุด แฟกเตอร์ตัวบิดที่ใช้คือ W_4^0 และ W_4^1 ที่เหลือจึงทำการคำนวณการแปลง 2 ชุด ทั้งหมด 4 ชุด เมื่อใช้ความสัมพันธ์ $W_4^1 = W_8^2, W_4^0 = W_8^0$ และ $W_2^0 = W_8^0$ กราฟไหลสัญญาณของการแปลงฟูเรียร์เต็มหน่วย 8 จุด โดยการลดทอนทางความถี่จะแสดงได้ดังรูป

สังเกตว่าในการแปลงฟูเรียร์เต็มหน่วยเร็วโดยการลดทอนทางความถี่นั้น แม้ว่าข้อมูลทางด้านอินพุตจะเรียงมาอย่างปกติ แต่การแยกดัชนีคู่และคี่ในแต่ละครั้งผ่านจะทำให้เกิดการสลับตำแหน่ง สุดท้ายแล้วข้อมูลที่ได้ออกจากอินพุตจะเรียงกันในลักษณะกลับบิทซึ่งจะต้องมีการสลับคืนจึงจะได้การเรียงแบบธรรมชาติ



รูปที่ 2.12 กราฟไหลสัญญาณของการคำนวณโดยการลดทอนทางความถี่ขนาด 8 จุดครั้งผ่านแรก



รูปที่ 2.13 กราฟไหลสัญญาณแปลงฟูเรียร์เต็มหน่วยเร็วโดยการลดทอนทางความถี่ขนาด 8 จุด

2.2.2.5 การแปลงฟูเรียร์แบบเร็วเมื่อค่า N แยกเป็นตัวประกอบได้
(Composite Block Length Algorithm FFT)

วิธีการของ Cooley & Tukey เป็นวิธีการที่มีประสิทธิภาพในการคำนวณที่ตีความ แต่จุดของข้อมูลต้องมีค่า $N = 2^m$ หาก $N \neq 2^m$ แต่สามารถที่จะแยกเป็นตัวประกอบปฐมได้ เช่น $12=3 \times 2 \times 2, 15=5 \times 3, 21=3 \times 7$ เป็นต้น ก็สามารถที่จะใช้ขั้นตอนวิธีแยกองค์ประกอบ (Prime Factor Algorithm, PFA) นี้ได้ โดยหลักการก็คือข้อมูลทั้งหมดจะถูกแบ่งเป็นชุดย่อย ๆ ขึ้น ๆ หลายชุดจำนวนเท่า ๆ กัน ทำการแปลงแต่ละชุดแล้วนำมารวมกัน แต่เนื่องจากการแปลงฟูเรียร์ในแต่ละชุดจะทำให้เกิดการสลับตำแหน่ง ก่อนการแปลงและหลังการแปลง จึงต้องทำการเรียงตำแหน่ง (Index mapping) การแปลงฟูเรียร์ในชุดสั้น ๆ นั้นอาจใช้การคำนวณโดยตรง หรืออาจใช้ขั้นตอนวิธีสำหรับชุดสั้น ๆ (Short Length Algorithm, SLA) โดยเฉพาะ เช่น วิธีการของวินโนกราด (Winograd's Fourier Transform Algorithm, WFTA)

พิจารณา $N = N_1 \times N_2$ โดยที่ N_1 และ N_2 ไม่มีตัวประกอบร่วม หรือ $(N_1, N_2) = 1$ ให้ i และ k เป็นดัชนีทางอินพุตและเอาต์พุตตามลำดับ การแปลงฟูเรียร์เต็มหน่วยเขียนได้โดย

$$X(k) = \sum_{i=0}^{N-1} X(i)W_N^{ik}, \quad W_N = e^{-\frac{2j\pi}{N}}$$

ให้ A_1, A_2, A_3 และ A_4 เป็นจำนวนเต็มใด ๆ (A_N หมายถึง A มอดูโล ด้วย N) i_1, i_2 และ k_1, k_2 เป็นดัชนีในแต่ละมิติของ N_1 และ N_2 ตามลำดับ จะได้

$$i = (A_1 i_1 + A_2 i_2)_N$$

$$k = (A_3 k_1 + A_4 k_2)_N$$

ดังนั้น

$$x(i_1, i_2) = x(A_1 i_1 + A_2 i_2)_N$$

$$X(k_1, k_2) = X(A_3 k_1 + A_4 k_2)_N$$

จะได้

$$X(k_1, k_2) = \sum_{i_1=0}^{N_1-1} \sum_{i_2=0}^{N_2-1} x(i_1, i_2) W_N^{A_1 A_3 i_1 k_1} W_N^{A_1 A_4 i_1 k_2} W_N^{A_2 A_3 i_2 k_1} W_N^{A_2 A_4 i_2 k_2}$$

มีวิธีการเลือกค่าที่เหมาะสมของ A_1, A_2, A_3 และ A_4 อยู่หลายวิธี แต่วิธีที่นิยมคือ การกำหนดให้ $(A_1 A_3)_N = N_2, (A_2 A_4)_N = N_1$ และ $(A_1 A_4)_N = (A_2 A_3)_N = 0$ ซึ่งยังผลให้การแปลงฟูเรียร์ข้างบนนั้น เป็นการแปลงใน 2 มิติ คือ

$$X(k_1, k_2) = \sum_{i_2=0}^{N_2-1} \sum_{i_1=0}^{N_1-1} x(i_1, i_2) W_{N_1}^{i_1 k_1} W_{N_2}^{i_2 k_2}$$

ทำโดยการคำนวณแบบแทนที่ การเลือกค่าตัวคงที่ กำหนดดังนี้

$$A_1 = N_2 \quad \text{และ} \quad A_2 = N_1$$

$$A_3 = \left(N_2 (N_2)_{N_1}^{-1} \right)_N \quad \text{และ} \quad A_4 = \left(N_1 (N_1)_{N_2}^{-1} \right)_N$$

เมื่อ $(_)_{N_1}^{-1}$ คือ ส่วนกลับการคูณมอดุโล N (Multiplicative inverse modulo N) เช่น $(5)_3^{-1} = 2$ คือ $(5 \times 2) \div 3$ จะเหลือเศษ 1 ดังนั้น การจัดตำแหน่งทางอินพุท จะกำหนดได้โดย

$$i = (N_2 i_1 + N_1 i_2)_N$$

และการจัดตำแหน่งทางเอาท์พุท จะกำหนดได้โดย

$$k = \left(\left(N_2 (N_2)_{N_1}^{-1} \right)_N k_1 + \left(N_1 (N_1)_{N_2}^{-1} \right)_N k_2 \right)_N$$

เอกสารนี้เป็นเอกสารที่สงวนไว้สำหรับการใช้งานเพื่อการศึกษาเท่านั้น ไม่อนุญาตให้นำไปใช้ประโยชน์ด้านการค้าไม่ว่ากรณีใดๆ ทั้งสิ้น อีกทั้งห้ามมิให้ดัดแปลงเนื้อหา และต้องอ้างอิงถึงเจ้าของเอกสารทุกครั้งที่มีการนำไปใช้

2.3 คุณสมบัติของเสียงดนตรี

คุณสมบัติเฉพาะตัวของโน้ตแต่ละตัวนั้นมีอยู่ 2 คุณสมบัติด้วยกัน คือ ระดับเสียง (Pitch) และระยะเวลา (Duration) ดังนั้นการวิเคราะห์อย่างเหมาะสมจะทำให้สามารถระบุระดับเสียงและระยะเวลาของโน้ตแต่ละตัวได้

2.3.1 ระดับเสียง (Pitch)

ระดับเสียง ก็คือลักษณะของตัวโน้ตที่สามารถจัดเรียงเป็นระดับของเสียงดนตรีได้ ซึ่งคำจำกัดความที่องค์กร America National Standards ให้อีกก็คือ “ระดับเสียงคือ คุณสมบัติของการได้ยินในส่วนหนึ่งของเสียงซึ่งสามารถจัดแยกออกเป็นระดับจากต่ำไปสูง”

แนวคิดในการทำควมรู้จักระดับเสียงก็คือ อันดับแรกจะแนะนำให้รู้จักกับเสียงดนตรี ซึ่งความสามารถในการได้ยินของคนเรานั้นจะสามารถแยกระดับเสียงที่ต่างกันได้ค่อนข้างที่จะสูง (ประมาณ 1,500 ระดับเสียง) การได้ยินของคนธรรมดาจะรับรู้ความแตกต่างระหว่างเสียงที่มีความถี่ 440 Hz และ 441 Hz ได้ ซึ่งเสียงที่มีความถี่ 440 Hz นี้รู้จักกันดีคือเสียง A4 หรือ ลา และโน้ตตัวถัดไปของเปียโน (A#4) มีความถี่ 466.2 Hz ทำให้สามารถสรุปได้อย่างกล่าว ๆ ว่า การได้ยินของคนสามารถรับรู้ความแตกต่างของโน้ต 2 ตัวที่มีระดับเสียงที่ต่างกัน 25 ระดับเสียงได้ ซึ่งคนส่วนใหญ่มีความสามารถนี้

ในทางวิทยาศาสตร์ แนวความคิดเกี่ยวกับระดับเสียง คือ ความสัมพันธ์เกี่ยวกับคุณสมบัติของเสียงทางกายภาพที่เรียกว่า “ความถี่” ซึ่งตามทฤษฎีนั้นคนเราสามารถได้ยินเสียงในช่วงความถี่ 20 Hz ถึง 20,000 Hz แต่ในความจริงแล้วใช้ได้กับเฉพาะเด็กและวัยรุ่นเท่านั้น เพราะเมื่อคนเรามีอายุมากขึ้น ความสามารถในการได้ยินก็จะลดน้อยลงไปด้วย ดังนั้นในช่วงอายุ 20 ปี ความถี่สูงสุดที่เราสามารถรับฟังได้จะตกลงมา เหลือเพียง 16,000 Hz และในผู้สูงอายุก็จะมีความสามารถในการได้ยินอยู่ระหว่าง 20 Hz ถึง 8,000 Hz เท่านั้น

ระดับเสียงนั้นจะมีความสัมพันธ์กันกับความดังของเสียง เช่น ระดับเสียงสูง (มากกว่า 2,000 Hz) จะสูงขึ้นเมื่อความดังของมันเพิ่มขึ้น และในทำนองเดียวกัน ระดับเสียงต่ำ (น้อยกว่า 2,000 Hz) จะต่ำลงอีกเมื่อลดความดังของมันลง ซึ่งปรากฏการณ์นี้ รู้จักกันในชื่อของ “Stevens’s rule” หากเสียงมีความถี่น้อยกว่า 1,000 Hz หรือเสียงมีความถี่ สูงกว่า 2,000 Hz ก็จะไม่ปรากฏการณ์นี้ได้ชัดเจน แต่หากใช้ความถี่อยู่ในช่วงระหว่าง 1,000 Hz กับ 2,000 Hz จะไม่สามารถสังเกตเห็นความแตกต่างได้

ความน่าสนใจอื่น ๆ เกี่ยวกับปรากฏการณ์ของเสียง เช่น ปรากฏการณ์ Doppler Effect ที่ว่า หากระยะทางระหว่างแหล่งกำเนิดเสียงกับผู้ฟังนั้นเปลี่ยน ความสามารถในการรับรู้ระดับเสียงของ

ผู้ฟังก็จะเปลี่ยนไปด้วย เช่น ระยะทางระหว่างแหล่งกำเนิดเสียงกับผู้ฟังนั้นเพิ่มขึ้น ความสามารถในการรับรู้ระดับเสียงของผู้ฟังก็จะลดลง

2.3.2 ความสัมพันธ์ระหว่างตัวโน้ตและความถี่

ได้มีการจัดแบ่งกลุ่มของตัวโน้ต 12 ตัวเป็นกลุ่มขึ้นมา เรียกว่า หนึ่งออกเตฟ (Octave) ซึ่งประกอบไปด้วยโน้ต A, A#, B, C, C#, D, D#, E, F, F#, G, และ G# โน้ตเหล่านี้จะวนซ้ำกันไป และจะระบุตัวเลขเฉพาะของแต่ละทบเสียงซึ่งในช่วงของเสียงดนตรีมีทั้งหมด 10 ออกเตฟด้วยกัน จาก C0 (ประมาณ 16 Hz) ถึง C10 (ประมาณ 16 KHz)

เราสามารถแยกระดับเสียงดนตรีได้เนื่องจากแต่ละระดับเสียงจะมีความถี่ที่ต่างกันออกไป ดังนั้นจึงได้มีการคำนวณค่าความถี่ของแต่ละระดับเสียงไว้ ตามมาตรฐานของดนตรีตะวันตกถือว่า โน้ตตัวลา (A) ในออกเตฟที่ 4 ซึ่งมีความถี่ 440 Hz เป็นโน้ตพื้นฐาน และโน้ตตัวอื่น ๆ ก็จะมีความสัมพันธ์กับความถี่ 440 Hz นี้ ความถี่ของโน้ตตัวลาในแต่ละออกเตฟจะเป็นจำนวนเท่าของความถี่ 440 Hz เช่น โน้ตตัวลาในออกเตฟที่ 5 จะมีความถี่เป็นสองเท่าของโน้ตตัวลาในออกเตฟที่ 4 ส่วนโน้ตอื่น ๆ ในออกเตฟที่ 4 ก็จะมีความสัมพันธ์กับโน้ตตัวลาในออกเตฟที่ 4 ในเชิงเอ็กโพเนนเชียล (Exponential) ดังสมการที่ 2.17

$$f_i = 440 \times 2^{\frac{i}{12}} \quad (2.17)$$

โดย f_i คือ ความถี่ของตัวโน้ต

i คือ หมายเลขของตัวโน้ต

เช่น โน้ต A4 ค่า i จะเท่ากับ 0 โดยค่า i จะเพิ่มขึ้นหนึ่งค่า เมื่อโน้ตสูงขึ้นครึ่งเสียง และ i จะมีค่าลดลงหนึ่งค่า เมื่อโน้ตต่ำลงครึ่งเสียง

ตารางที่ 2.5 ความถี่ของโน้ตต่าง ๆ ในออกเทฟที่ 4

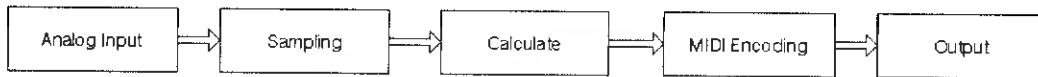
Musical Note	Frequency	
	Equation	Hz
A4	440	440.0000000000
A#4	$440 \times 2^{\frac{1}{12}}$	466.1637615181
B4	$440 \times 2^{\frac{2}{12}}$	493.8833012561
C5	$440 \times 2^{\frac{3}{12}}$	523.2511306012
C#5	$440 \times 2^{\frac{4}{12}}$	554.3652619537
D5	$440 \times 2^{\frac{5}{12}}$	587.3295358348
D#5	$440 \times 2^{\frac{6}{12}}$	622.2539674442
E5	$440 \times 2^{\frac{7}{12}}$	659.2551138257
F5	$440 \times 2^{\frac{8}{12}}$	698.4564628660
F#5	$440 \times 2^{\frac{9}{12}}$	739.9888454233
G5	$440 \times 2^{\frac{10}{12}}$	783.9908719635
G#5	$440 \times 2^{\frac{11}{12}}$	830.6093951599
A5	$440 \times 2^{\frac{12}{12}}$	880.0000000000

เอกสารนี้เป็นเอกสารที่สงวนไว้สำหรับการใช้งานเพื่อการศึกษาเท่านั้น ไม่อนุญาตให้นำไปใช้ประโยชน์ด้านการค้าไม่ว่ากรณีใดๆ ทั้งสิ้น อีกทั้งห้ามมิให้ดัดแปลงเนื้อหา และต้องอ้างอิงถึงเจ้าของเอกสารทุกครั้งที่มีการนำไปใช้

บทที่ 3

รายละเอียดในการออกแบบและการสร้าง

3.1 หลักการ



รูปที่ 3.1 บล็อกไดอะแกรมหลักการทำงาน

จากรูปจะทำการรับค่าจากสัญญาณอนาล็อกโดยโมดูลแปลงสัญญาณอนาล็อกเป็นดิจิทัล ใช้กระบวนการแปลงฟูเรียร์อย่างรวดเร็วเพื่อทำการแยกองค์ประกอบทางความถี่ของสัญญาณ และจับค่าของความถี่ที่มีแอมพลิจูดสูงที่สุด และนำไปเปรียบเทียบกับโน้ตดนตรีตัวไหน เมื่อได้ค่าแล้วจะส่งสัญญาณของโน้ตตัวนั้นส่งไปยังพอร์ตเอาต์พุต ในรูปแบบของมีดี

3.2 รายละเอียดการออกแบบ

ความถี่อินพุตจะรับตั้งแต่ค่า 329.6275 ~ 1318.5102 Hz ซึ่งเป็นโน้ตระหว่าง E3 – E5 ตามมาตรฐานดนตรีสากล ซึ่งเป็น pitch ที่ค่อนข้างสูงสำหรับเครื่องดนตรี เนื่องจากที่ Pitch สูง จะใช้เวลาในการ Sampling เก็บข้อมูลน้อยกว่าเวลาในการ Sampling ที่ความถี่ต่ำๆ

ใช้ Fast Fourier Transform ในการคำนวณหาความถี่ที่มีกำลังสูงที่สุด เนื่องจาก Fast Fourier Transform เป็น Algorithm ที่มีขั้นตอนในการคำนวณน้อยกว่าวิธีอื่น ในความเป็นจริง ถ้าต้องการค่าที่แม่นยำจะต้องคำนวณค่าในช่วง 1 ลูกคลื่นเท่านั้น แต่การจะทำเช่นนั้นจะต้องมีหน่วยประมวลผลที่ความเร็วมากๆ และใช้หน่วยความจำมาก จึงยอมให้ประมวลผลจากหลายลูกคลื่น จะเกิดความผิดเพี้ยนไปบ้าง โดยเฉพาะที่ความถี่ต่ำๆ โดยใช้ $N = 128$ เพื่อให้เมื่อสเกลอยู่ในแกนของความถี่จะยังละเอียดเพียงพอที่จะแยกแยะและประมาณค่าความถี่ในช่วงที่ต้องการได้

ที่ทำในช่วง 2 Octaves เนื่องจากข้อจำกัดของความเร็วในการคำนวณและหน่วยความจำของหน่วยประมวลผล เนื่องจาก Fast Fourier Transform เป็น Algorithm ที่มีใช้ตัวแปรทศนิยมในการคำนวณ ซึ่งตัวแปร Float ในภาษา C ใช้หน่วยความจำถึง 32 บิต หรือ 4 ไบต์ และเนื่องจากบางตัวแปรเป็นค่าเลขเชิงซ้อนจึงต้องใช้ Float 2 ตัวต่อ 1 ตัวแปร และการที่ใช้ Fast Fourier Transform ที่ $N = 128$ จะต้องใช้หน่วยความจำอย่างน้อยเท่ากับ $128 \times 2 \times 4 = 1024$ bytes เป็นอย่างต่ำ ซึ่งราคา

ของคอนโทรลเลอร์ที่มีหน่วยความจำสูงจะมีราคาแพงมากเนื่องจากเป็นหน่วยความจำชนิด SRAM ที่มีโครงสร้างซับซ้อน

ใช้ความถี่ในการ Sampling = 2666.666 Hz ซึ่งเป็นค่าประมาณ 2 เท่าของความถี่สูงสุดจากอินพุต เนื่องจากเมื่อคำนวณโดยใช้ Fast Fourier Transform แล้วจะทำให้อ่านค่าได้ตั้งแต่ 0Hz ~ 1333.333Hz โดยจะ scale เป็น 64 ช่องมีความห่างระหว่างช่องเท่ากับ $1333.333/64 = 20.833$ และเมื่อนำความห่างของแต่ละช่องมาพลอตเทียบกับความถี่ของตัวโน้ต จะได้ค่าที่ใกล้เคียงตัวโน้ตดังตารางที่ 3.1 จากตารางจะเห็นได้ว่าในช่วงความถี่ต่ำๆจะมีจุดที่ซ้ำกันบ้างในแต่ละตัวโน้ต แต่ก็ยังอยู่ในขอบเขตที่จะแยกแยะและประมาณระดับเสียงของตัวโน้ตได้ เนื่องจากไม่มีค่าความถี่ที่อยู่ในช่องเดียวกัน จากค่าที่ได้จะเห็นว่าช่วงห่างของโน้ตแต่ละตัวกับช่องที่ได้จากการแปลงจะห่างจากขอบบนขอบล่างของช่องไม่เท่ากันจึงต้องมีการทดลองเพื่อหาค่าความแตกต่างของแอมพลิจูดระหว่างตัวโน้ตที่ขอมรับได้ เพื่อที่จะสามารถระบุโน้ตได้แม่นยำขึ้น

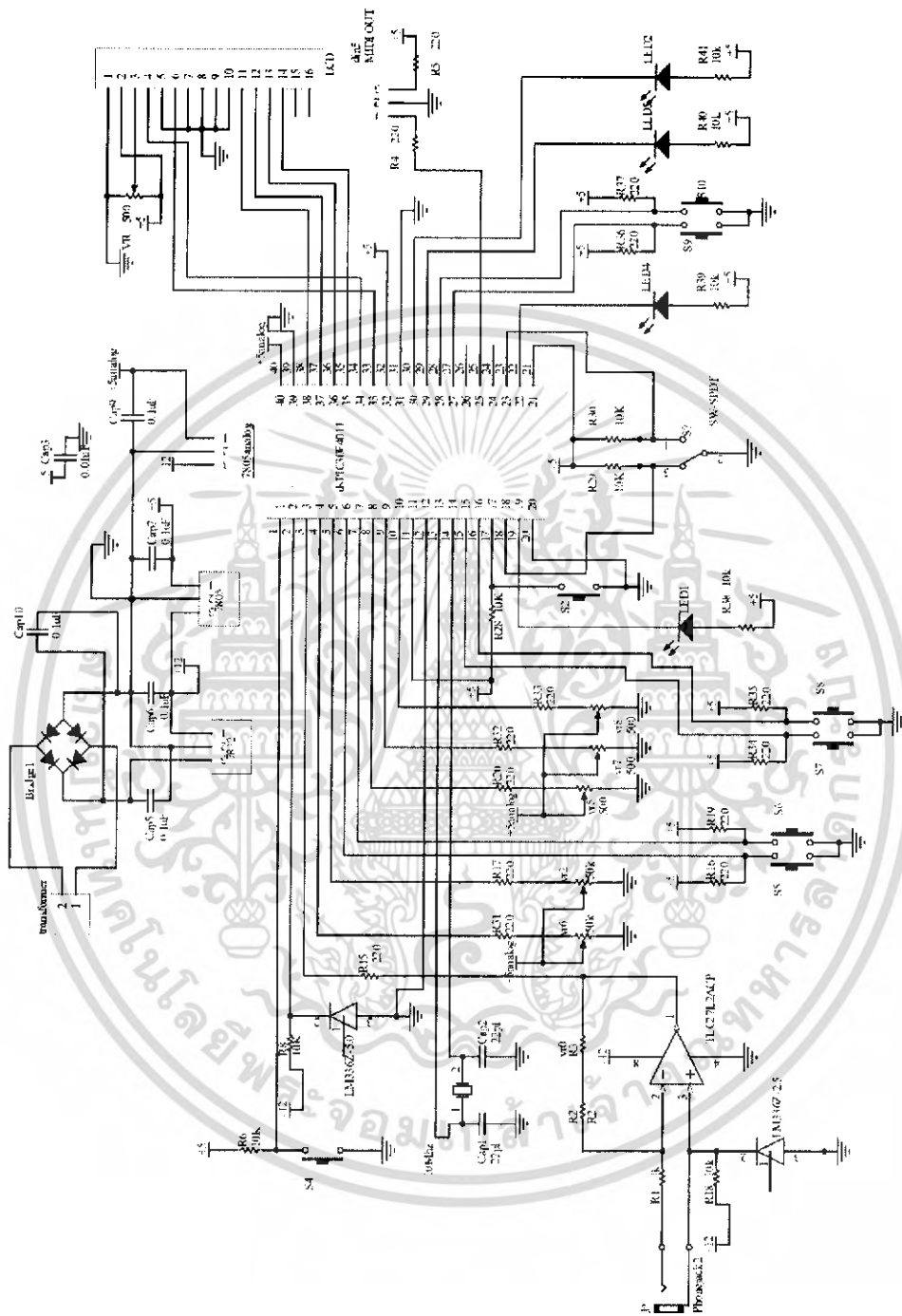
ตารางที่ 3.1 ตารางเปรียบเทียบช่วงความถี่

โน้ต	ความถี่ของตัวโน้ต	ความถี่ขอบล่างของช่อง	ความถี่ขอบบนของช่อง
E4	329.6275	312.50(15)	333.33(16)
F4	349.2282	333.33(16)	354.17(17)
F#4	369.9944	354.17(17)	375.00(18)
G4	391.9954	375.00(18)	395.83(19)
G#4	415.3046	395.83(19)	416.67(20)
A4	440.0000	437.50(21)	458.33(22)
A#4	466.1637	458.33(22)	479.17(23)
B4	493.8833	479.17(23)	500.00(24)
C5	523.2511	520.83(25)	541.67(26)
C#5	554.3652	541.67(26)	562.50(27)
D5	587.3295	583.33(28)	604.17(29)
D#5	622.2539	604.17(29)	625.00(30)
E5	659.2551	645.83(31)	666.67(32)
F5	698.4564	687.50(33)	708.33(34)

F#5	739.9888	729.17(35)	750.00(36)
G5	783.9908	770.83(37)	791.67(38)
G#5	830.6093	812.50(39)	833.33(40)
A5	880.0000	875.00(42)	895.83(43)
A#5	932.3275	916.67(44)	937.50(45)
B5	987.7666	979.17(47)	1000.00(48)
C6	1046.5022	1041.70(50)	1062.50(51)
C#6	1108.7305	1104.20(53)	1125.00(54)
D6	1174.6590	1166.70(56)	1187.50(57)
D#6	1244.5079	1229.20(59)	1250.00(60)
E6	1318.5102	1312.50(63)	1333.30(64)

ในการออกแบบได้เลือกใช้ไมโครคอนโทรลเลอร์ชนิด dsPIC30F4011 เนื่องจากเป็นไมโครคอนโทรลเลอร์ 16 บิตที่มีความเร็วสูงถึง 20 MIPS (Million Instruction per Second) และมีหน่วยความจำโปรแกรมแบบ Flash ขนาด 48 กิโลไบต์ และมีหน่วยความจำ SRAM ที่มีความเร็วสูงขนาด 2048 ไบต์ ซึ่งเพียงพอต่อการประมวลผล Fast Fourier Transform ที่ $N = 128$ และมีความสามารถในการติดต่ออุปกรณ์ภายนอก ต่างๆ ที่จำเป็นต่อการส่งข้อมูลมีดื่ เช่น UART (Universal Asynchronous Receiver Transmitter) ซึ่งเป็นมาตรฐานการส่งข้อมูลแบบอนุกรมตามรูปแบบของมีดื่ แต่เนื่องจากมีดื่เป็นใช้การส่งสัญญาณควบคุมทางเดียว จึงใช้แค่ตัวส่งเพียงอย่างเดียวที่บอร์ด์เรท 31250

มีการต่อ LCD เพื่อเป็น User Interface ให้กับผู้ใช้ได้ใช้งานได้สะดวกขึ้นและเพื่อลดจำนวนปุ่มลง โดยสามารถกำหนดค่าตัวแปรต่างๆของตัวโน้ต โดยใช้เมนู ซึ่งจะสามารถลดปุ่มลงได้เหลือเพียง 1 ปุ่ม คือปุ่ม Enter และลูกบิดซ้ายขวา สามารถเขียนเป็นรูปวงจรถัดไปรูปที่ 3.2



รูปที่ 3.2 รูปวงจรเครื่องแปลงสัญญาณมิติ

เอกสารนี้เป็นเอกสารที่สงวนไว้สำหรับการใช้งานเพื่อการศึกษาเท่านั้น ไม่อนุญาตให้นำไปใช้ประโยชน์ด้านการค้า
ไม่ว่ากรณีใดๆ ทั้งสิ้น อีกทั้งห้ามมิให้ดัดแปลงเนื้อหา และต้องอ้างอิงถึงเจ้าของเอกสารทุกครั้งที่มีการนำไปใช้

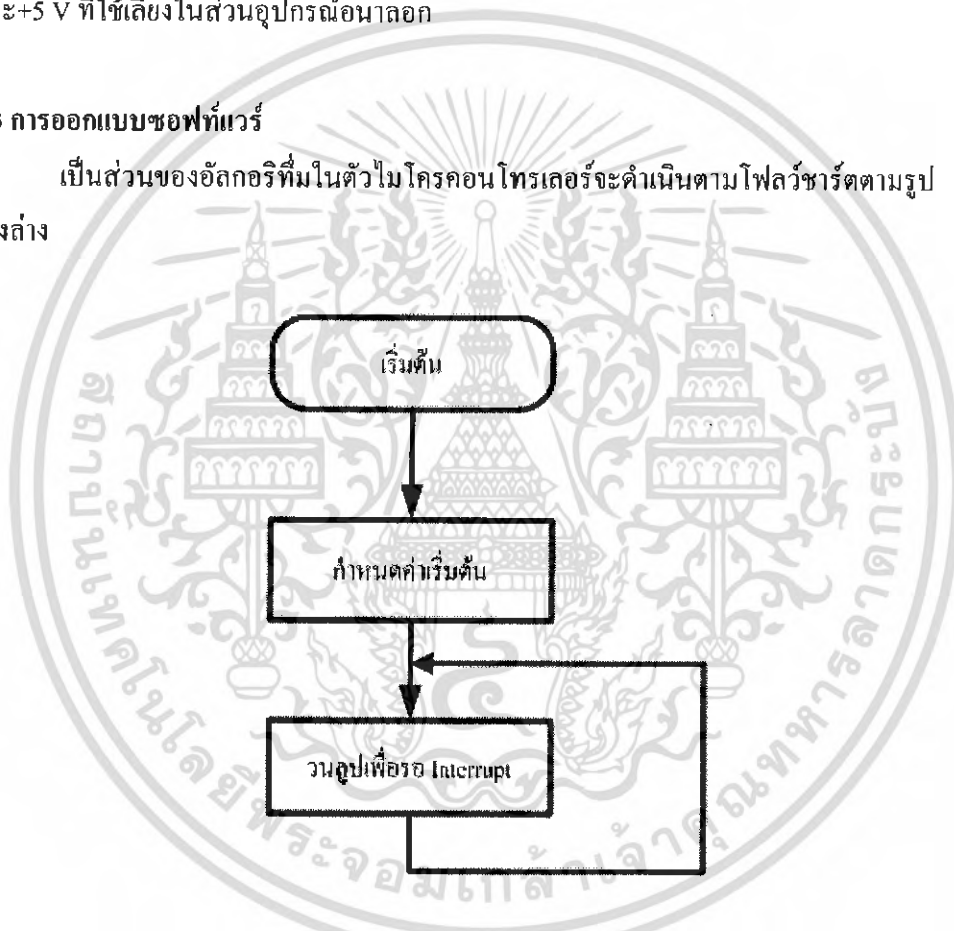
จากรูปวงจรใช้คริสตอลความถี่ 10 MHz เป็นตัวสร้างสัญญาณนาฬิกา แล้วภายในตัวไมโครคอนโทรลเลอร์จะมีเฟสล็อกคูณ $\times 8$ ทำให้ได้สัญญาณนาฬิกาของระบบ 80 MHz เนื่องจากไมโครคอนโทรลเลอร์ชนิดนี้ต้องการ 4 รอบสัญญาณนาฬิกาต่อ 1 คำสั่ง ดังนั้นจะมีความเร็วในการประมวลผล $80 / 4 = 20$ MIPS

ทางคั่นอินพุทจะรับสัญญาณนาฬิกาด้วย Connector ชนิด TRS 1/4 นิ้วตัวเมีย พอร์ตมีคีย์เอาท์จะใช้หัวต่อแบบ DIN-5 ซึ่งเป็นหัวต่อที่ใช้สำหรับสัญญาณมีคีย์ตามมาตรฐาน

ภาคไฟเลี้ยงจะแบ่งออกเป็น 3 ส่วนคือ +12 V , +5 V ที่ใช้เลี้ยงในส่วนอุปกรณ์คิจิตอล และ +5 V ที่ใช้เลี้ยงในส่วนอุปกรณ์อนาล็อก

3.3 การออกแบบซอฟต์แวร์

เป็นส่วนของอัลกอริทึมในตัวไมโครคอนโทรลเลอร์จะดำเนินตามโฟลว์ชาร์ตตามรูปข้างล่าง



รูปที่ 3.3 โฟลว์ชาร์ตของโปรแกรมหลัก

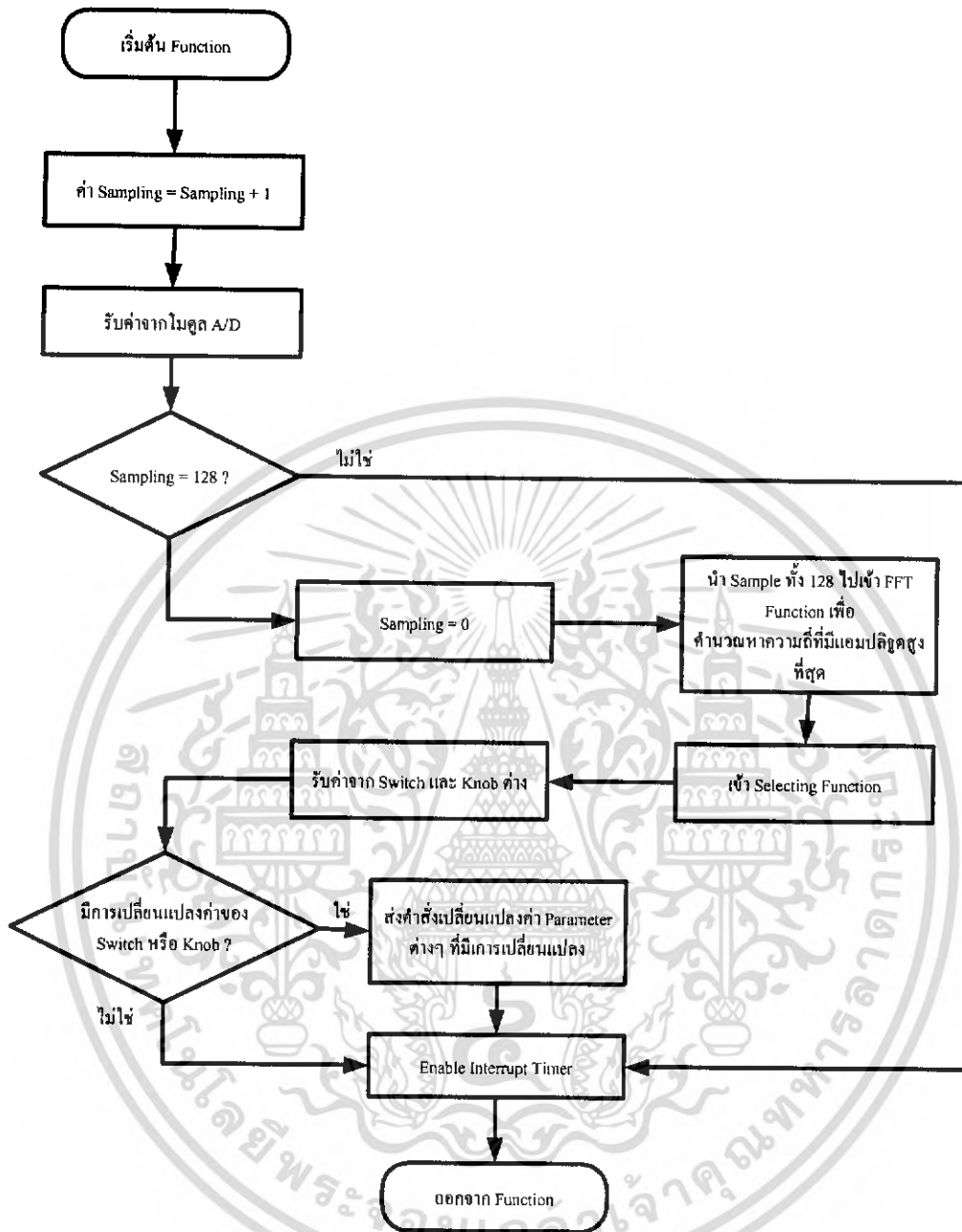
จะเห็นว่าตัวโปรแกรมเมื่อกำหนดค่าเริ่มต้นเสร็จจะไม่มีการทำงานตลอดเวลา จะรออินเทอร์รัปจาก Timer และจากภายนอกเท่านั้น เพื่อลดการสูญเสียพลังงานขณะสวิตซ์ทำงาน และ

ง่ายต่อการออกแบบ โดยการตั้งค่า Sampling จะตั้งจาก Timer โดยให้คาบของการแซมปลิงเท่ากับ 0.375 ms โดยการตั้งให้เกิด Interrupt ทุกๆ 0.375 ms เพื่อจะไปเข้าฟังก์ชัน

3.3.1 ธีมเมอร์อินเตอร์รัปต์

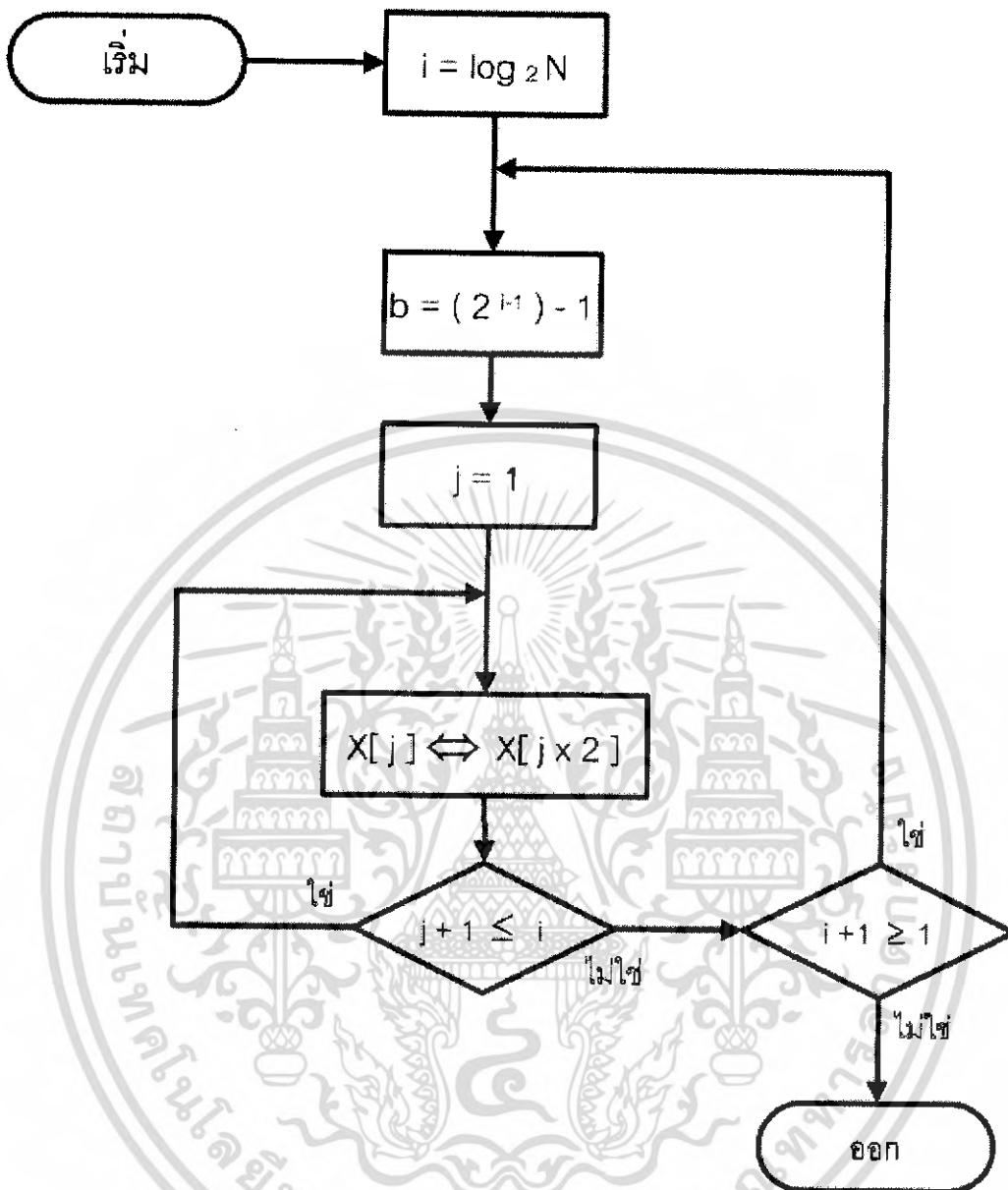
รับค่าจาก A/D มา เมื่อครบ 128 ค่าจะไปทำ Fast Fourier Transform เพื่อแยกหาองค์ประกอบความถี่ของสัญญาณที่แซมปลิงมาได้ เพื่อดูว่าความถี่มีแอมพลิจูดสูงที่สุดไปตรงกับโน้ตตัวไหน และจะส่งค่าโน้ตนั้นออกทางมีดีเอท และทำการตรวจความเปลี่ยนแปลงของสวิทช์และลูกบิดปรับค่าต่างๆ ถ้ามีการเปลี่ยนแปลง โปรแกรมจะทำการส่งค่าไปควบคุมทางมีดีเอทอีกที จากนั้นทำการเคลียร์ค่าตัวแปรที่ใช้เก็บข้อมูลจากการแซมปลิง และวงจรจะทำการแซมปลิงต่อ เมื่อสิ้นสุดการส่งและวนทำไปเรื่อยๆ ซึ่งขั้นตอนการทำงานจะอยู่ในโฟลวชาร์ตรูปที่ 3.4





รูปที่ 3.4 โฟลวชาร์ตของฟังก์ชันอินเทอร์รัปของ Timer ใช้ในการ Sampling สัญญาณ

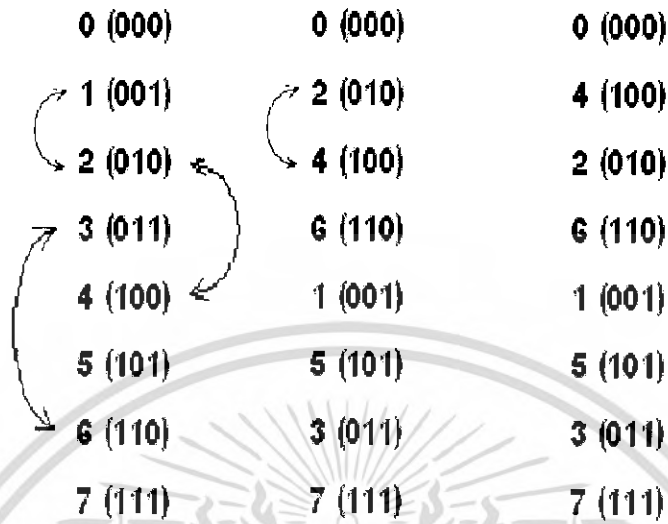
เอกสารนี้เป็นเอกสารที่สงวนไว้สำหรับการใช้งานเพื่อการศึกษาเท่านั้น ไม่อนุญาตให้นำไปใช้ประโยชน์ด้านการค้าไม่ว่ากรณีใดๆ ทั้งสิ้น อีกทั้งห้ามมิให้ดัดแปลงเนื้อหา และต้องอ้างอิงถึงเจ้าของเอกสารทุกครั้งที่มีการนำไปใช้



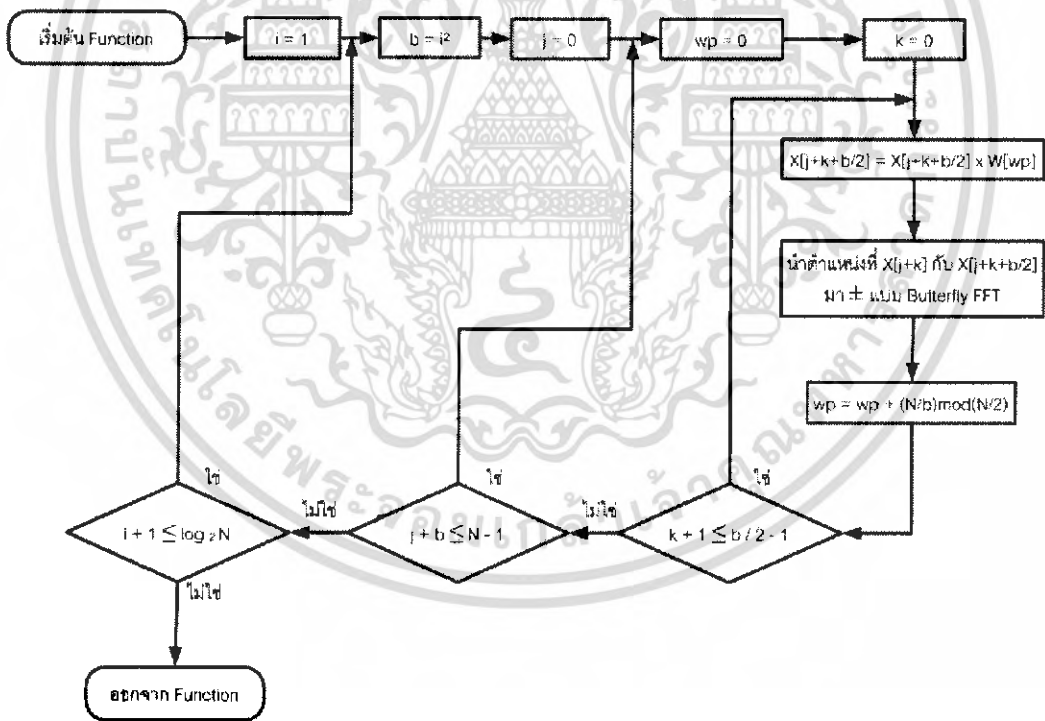
รูปที่ 3.5 ฟLOWชาร์ตของฟังก์ชันกลับบิต

3.3.2 ฟังก์ชันการกลับบิต

ส่วนนี้เป็นส่วนฟังก์ชันกลับบิต โดยที่อินพุทของฟาส์ฟูเรียร์ทรานสฟอร์มจะต้องเรียงลำดับแบบกลับบิตจึงต้องมีการเรียงลำดับใหม่ด้วยฟังก์ชันนี้ โดยใช้หลักการสลับตำแหน่งค่าที่ x และค่าที่ $2x$ โดย x จะมีค่าตั้งแต่ $0 \sim N/2$ จนหมด และจะทำต่ออีกรอบในช่วง $0 \sim N/4$ ไปเรื่อยๆ จนเหลือ $0 \sim 0$ จะเรียงผลเป็นแบบกลับบิต ดังตัวอย่างในรูปที่ 3.6



รูปที่ 3.6 ตัวอย่างการกลับบิต

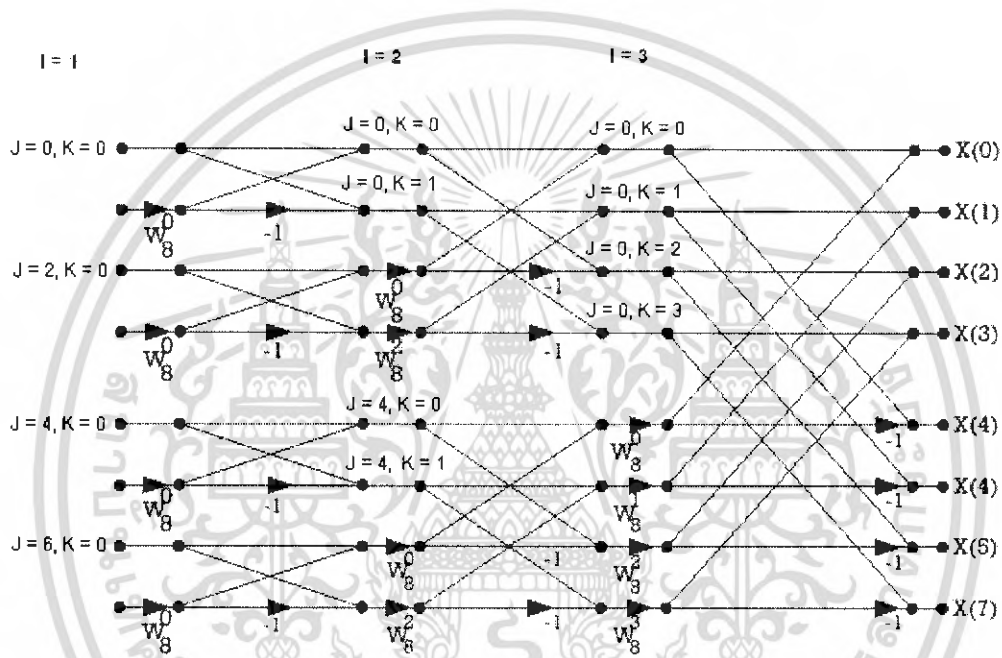


รูปที่ 3.7 โฟลวชาร์ตของฟังก์ชันฟาส์ฟูเรียร์

เอกสารนี้เป็นเอกสารที่สงวนไว้สำหรับการใช้งานเพื่อการศึกษาเท่านั้น ไม่อนุญาตให้นำไปใช้ประโยชน์ด้านการค้า ไม่ว่ากรณีใดๆ ทั้งสิ้น อีกทั้งห้ามมิให้ดัดแปลงเนื้อหา และต้องอ้างอิงถึงเจ้าของเอกสารทุกครั้งที่มีการนำไปใช้

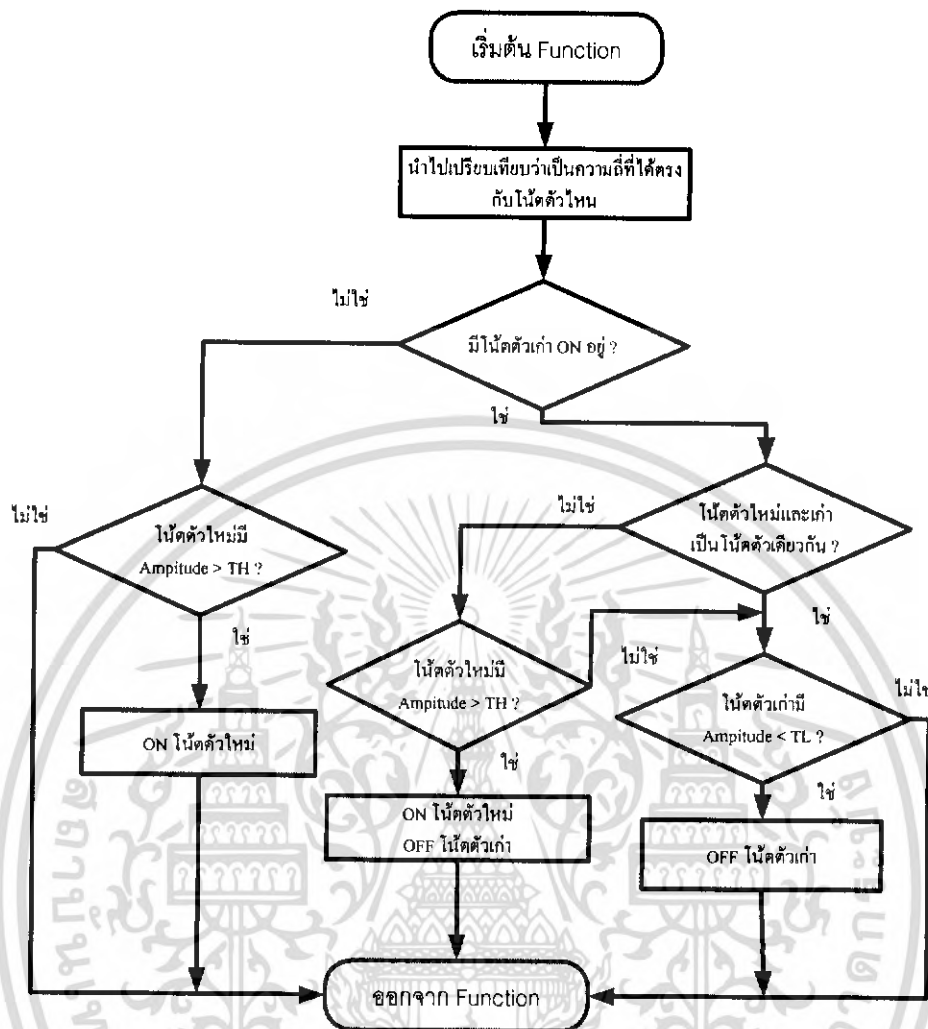
3.3.3 ฟังก์ชันฟาสต์ฟูเรียร์ทรานสฟอร์ม

เราจะแบ่งรูปการกระทำเป็น 3 รูปที่ซ้อนกัน คือรูป I, J และ K โดย I จะเป็นจำนวนครั้งในการคูณแต่ละชุด โดย I จะมีค่าตั้งแต่ 0 เพิ่มขึ้นครั้งละ 1 จนถึง $\log_2 N$ เมื่อ N เป็นจำนวนข้อมูล และ J จะแทนจุดเริ่มต้นของแต่ละชุด โดยจะมีค่าตั้งแต่ 0 ไปจนถึงไม่เกิน $N - 1$ และเพิ่มขึ้นครั้งละ 2^I ส่วน K จะเป็นจำนวนครั้งของการคำนวณใน J หนึ่งครั้ง และค่า w_p เป็นตัวระบุกำลังของ Twiddle Factor ที่ใช้ในแต่ละครั้ง ซึ่งจะมีค่าเพิ่มขึ้นครั้งละ $(N / 2^I) \% (N / 2)$ โดย % คือหารเอาแต่เศษ ดังรูปที่ 3.8



รูปที่ 3.8 Signal Flow Graph ของฟาสต์ฟูเรียร์ทรานสฟอร์มแบบลดทอนทางเวลา

โดยการคำนวณหนึ่งครั้งของ Fast Fourier Transform จะทำเป็นคู่กันสมมติว่า A ทำการคำนวณกับ B Output ของ A = A + BW และ Output ของ B จะเท่ากับ A - BW



รูปที่ 3.9 โฟลวชาร์ตของฟังก์ชันการคัดเลือกตัวโน้ต

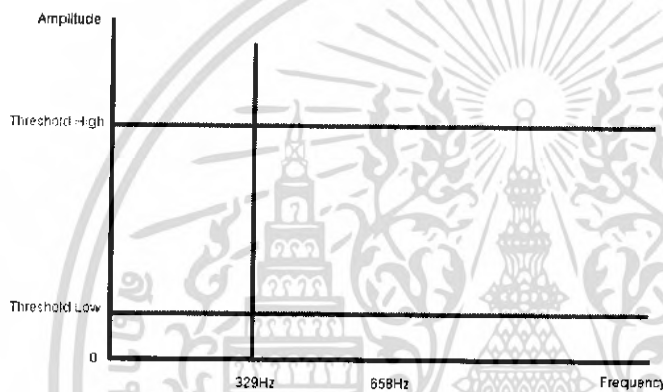
3.3.4 การคัดเลือกตัวโน้ต

เมื่อผ่านการคำนวณ Fast Fourier Transform มาแล้ว เราจะได้ค่าแอมพลิจูดของแต่ละความถี่มา ซึ่งเมื่อเทียบกับความถี่ของตัวโน้ตแล้ว จะมี Grid ที่มีค่าความถี่ใกล้เคียงกัน เราจะใช้แอมพลิจูดของ Grid ที่มีค่าใกล้เคียงแทนแอมพลิจูดของตัวโน้ตนั้นๆ เช่น โน้ต E3 มีความถี่ใกล้เคียงกับ Grid ที่ 16 เราก็จะใช้แอมพลิจูดที่ Grid 16 เป็นแอมพลิจูดของโน้ต E3 แต่บางช่วงอาจจะห่างจาก Grid ซึ่งเป็นค่าที่ไม่เท่ากัน ซึ่งแต่ละตัวโน้ตอาจมีค่าไม่เท่ากัน เลยได้ใช้หลักทางสถิติในการหาแอมพลิจูดที่แน่นอนของแต่ละความถี่ โดยการใช้การทดลองหาค่าที่สูงสุดของแต่ละตัวโน้ต นำเก็บไว้เป็นตัวหารของแต่ละ Grid ซึ่งเมื่อมีข้อมูลเข้ามา จะนำมาหารด้วยค่าสูงสุดของแต่ละตัวโน้ต เพื่อให้

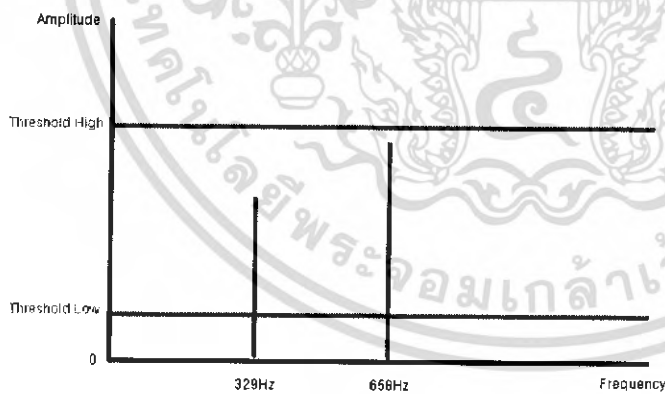
แอมพลิจูดของโน้ตทุกตัวอยู่ใน Scale เดียวกัน ซึ่งจะสามารถทำให้เราหาค่าโน้ตที่มีแอมพลิจูดสูงสุดได้

ในการเลือกตัวโน้ต เราจะเลือกจากความถี่ของตัวโน้ตที่มีแอมพลิจูดสูงสุด โดยเมื่อแอมพลิจูดของตัวโน้ตนั้นสูงเกินกว่า Threshold High ก็จะได้ว่าโน้ตตัวนั้นอยู่ในสถานะ On แต่เนื่องจากแอมพลิจูดนั้นลดลงเร็วมาก จึงต้องตั้ง Threshold Low เอาไว้ให้ต่ำ และห่างจาก Threshold High เพื่อไม่ทำให้เสียงของโน้ตนั้นสั้นเกินไป จึงกำหนดให้เมื่อแอมพลิจูดของโน้ตตัวนั้น ลดต่ำลงจนต่ำกว่า Threshold Low แล้ว จะสั่งให้โน้ตตัวนั้นอยู่ในสถานะ Off

ในอีกกรณีหนึ่ง คือเมื่อมีโน้ตที่ On อยู่ แต่มีโน้ตตัวอื่นที่ Amplitude สูงสุดแทน ถ้าโน้ตตัวใหม่มีแอมพลิจูดสูงกว่า Threshold High จะสั่ง Off โน้ตตัวเก่าและ On โน้ตตัวใหม่แทนทันที

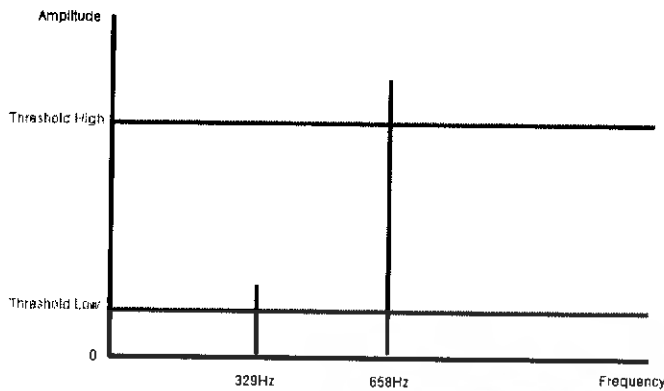


(ก)



(ข)

เอกสารนี้เป็นเอกสารที่สงวนไว้สำหรับการใช้งานเพื่อการศึกษาเท่านั้น ไม่อนุญาตให้นำไปใช้ประโยชน์ด้านการค้าไม่ว่ากรณีใดๆ ทั้งสิ้น อีกทั้งห้ามมิให้ตัดแปลงเนื้อหา และต้องอ้างอิงถึงเจ้าของเอกสารทุกครั้งที่มีการนำไปใช้



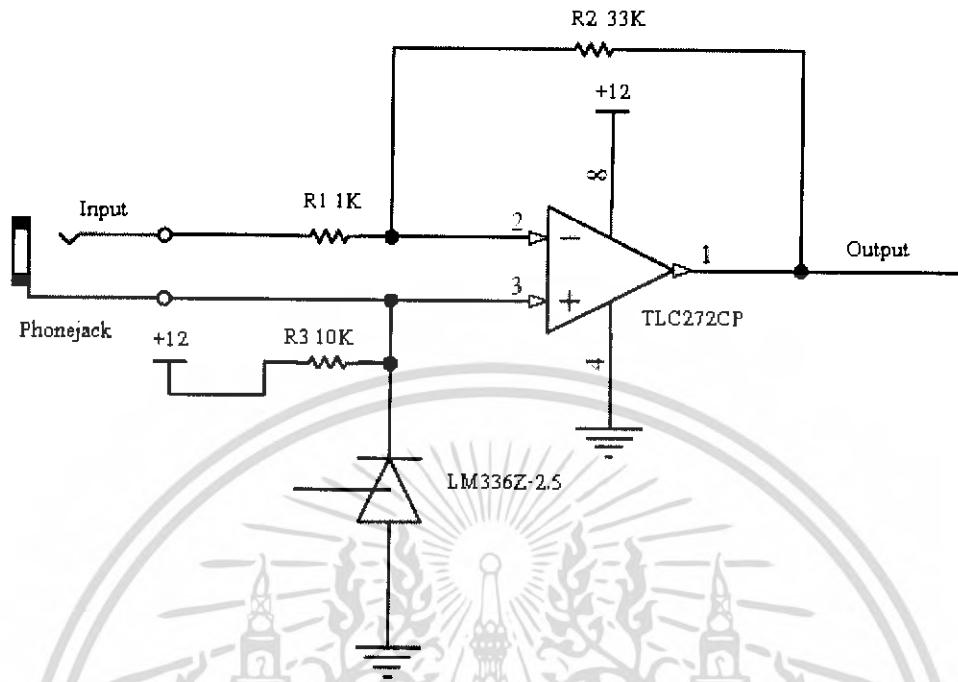
(ค)

รูปที่ 3.10 ตัวอย่างของการคัดเลือกตัวโน้ต

ดังตัวอย่างในรูปที่ 3.10ก ในรูปแรกเมื่อแอมพลิจูดของความถี่ 329Hz ซึ่งเป็นค่าที่สูงที่สุด มีค่ามากกว่า Threshold High เราจะสั่งให้ 329Hz อยู่ในสถานะ On ในรูปที่ 3.10ข จะเห็นว่าความถี่ 329Hz ไม่ได้เป็นความถี่ที่มีค่าแอมพลิจูดสูงที่สุดแล้ว แต่ค่าของความถี่ 658Hz ที่มีค่าสูงสุด ยังไม่เกิน Threshold High และความถี่ 329Hz ยังไม่ต่ำกว่า Threshold Low จะทำให้ยังไม่มี การเปลี่ยนแปลงเกิดขึ้นซึ่งสถานะของ 329Hz จะยัง On อยู่ แต่เมื่อแอมพลิจูด ของ 658Hz เป็นความถี่ ที่มีแอมพลิจูดสูงสุด และมีค่ามากกว่า Threshold High ดังรูปที่ 3.10ค จะทำการ Off ความถี่ 329Hz ทันที และสั่งให้ 658Hz On

3.4 วงจรขยาย กัดฟันเฟสแบบป้อนกลับทางลบ

ในส่วนนี้จะทำหน้าที่ขยายสัญญาณอินพุตให้มีขนาดของแอมพลิจูดที่เหมาะสมโดยใช้ ไฟเลี้ยงแบบ Single Supply (0-12 V) และทำการขยายระดับสัญญาณเปรียบเทียบเป็น 2.5 V โดยจะมี Gain 33 เท่า ดังรูปที่ 3.11



รูปที่ 3.11 วงจรขยายกลับเฟสแบบป้อนกลับทางลบ

3.5 ลูกบิด และสวิตช์ปรับค่า ที่สามารถควบคุมตัวแปรทางมิติ

3.5.1 ลูกบิดปรับค่า

โดยลูกบิดจะทำการปรับค่าตัวแปรต่างๆของมิติในส่วนของ Control Change ที่เป็น 7 Bit Controllers โดยจะมี VR เพื่อปรับค่าแรงดันแล้วส่งค่าไปยังไมโครแปลงสัญญาณอนาลอกเป็นดิจิตอลตรวจสอบค่าแรงดันขนาด 10 บิต แล้วประมวลผลออกมาเป็นสัญญาณดิจิตอลขนาด 7 บิต (0-127) โดยการหารด้วย 8 และแปลงให้อยู่ในรูปแบบมิติที่ตัด โดยค่าที่ได้จากการปรับ VR จะถูกนำมาใช้เป็นค่าตัวแปร ใน Byte ที่ 3 ของข้อความมิติ โดยเราจะสามารถกำหนดค่า Controller Number (ข้อมูลใน Byte ที่ 2) ให้กับลูกบิดต่างๆได้ โดยจะมีตัวแปรที่ใช้และโค้ดดังนี้

ตารางที่ 3.2 ตัวแปรที่สามารถปรับค่าได้จากลูกบิด

Controller Number	Function	Abbreviation
46	Sound variation	SVA

เอกสารนี้เป็นเอกสารที่สงวนไว้สำหรับการใช้งานเพื่อการศึกษาเท่านั้น ไม่อนุญาตให้นำไปใช้ประโยชน์ด้านการค้าไม่ว่ากรณีใดๆ ทั้งสิ้น อีกทั้งห้ามมิให้ดัดแปลงเนื้อหา และต้องอ้างอิงถึงเจ้าของเอกสารทุกครั้งที่มีการนำไปใช้

47	Timbre/harmonic content	THC
48	Release time	RET
49	Attack time	ATT
4A	Brightness	BRN
5B	External Effects Depth	EED
5C	Tremolo Depth	TRD
5D	Chorus Depth	CHD
5E	Celeste (Detune) Depth	CED
5F	Phaser Depth	PHD

3.5.2 สวิตช์

โดยสวิตช์จะทำหน้าที่ส่ง มิต์โค้ด ในส่วนของ Control Change ที่เป็น 7 Bit Swithces โดยเราสามารถกำหนดค่า Controller Number (ข้อมูลใน Byte ที่ 2) ซึ่งจะมีแค่ 2 สถานะคือ On และ Off ซึ่งจะต้องกำหนดค่า 0x00 เป็น Off และ 0x7F เป็น On โดยจะมีตัวแปรที่ใช้และโค้ดดังนี้

ตารางที่ 3.3 ตัวแปรที่สามารถปรับค่าได้จากสวิตช์

Controller Number	Function
40	Sustain pedal
41	Portamento on/off
42	Sostenuto pedal
43	Soft pedal
44	Legato footswitch
45	Hold 2

บทที่ 4

การทดลอง

การทดลองที่ 1 การหาค่าและเปรียบเทียบแอมพลิจูดองค์ประกอบทางความถี่

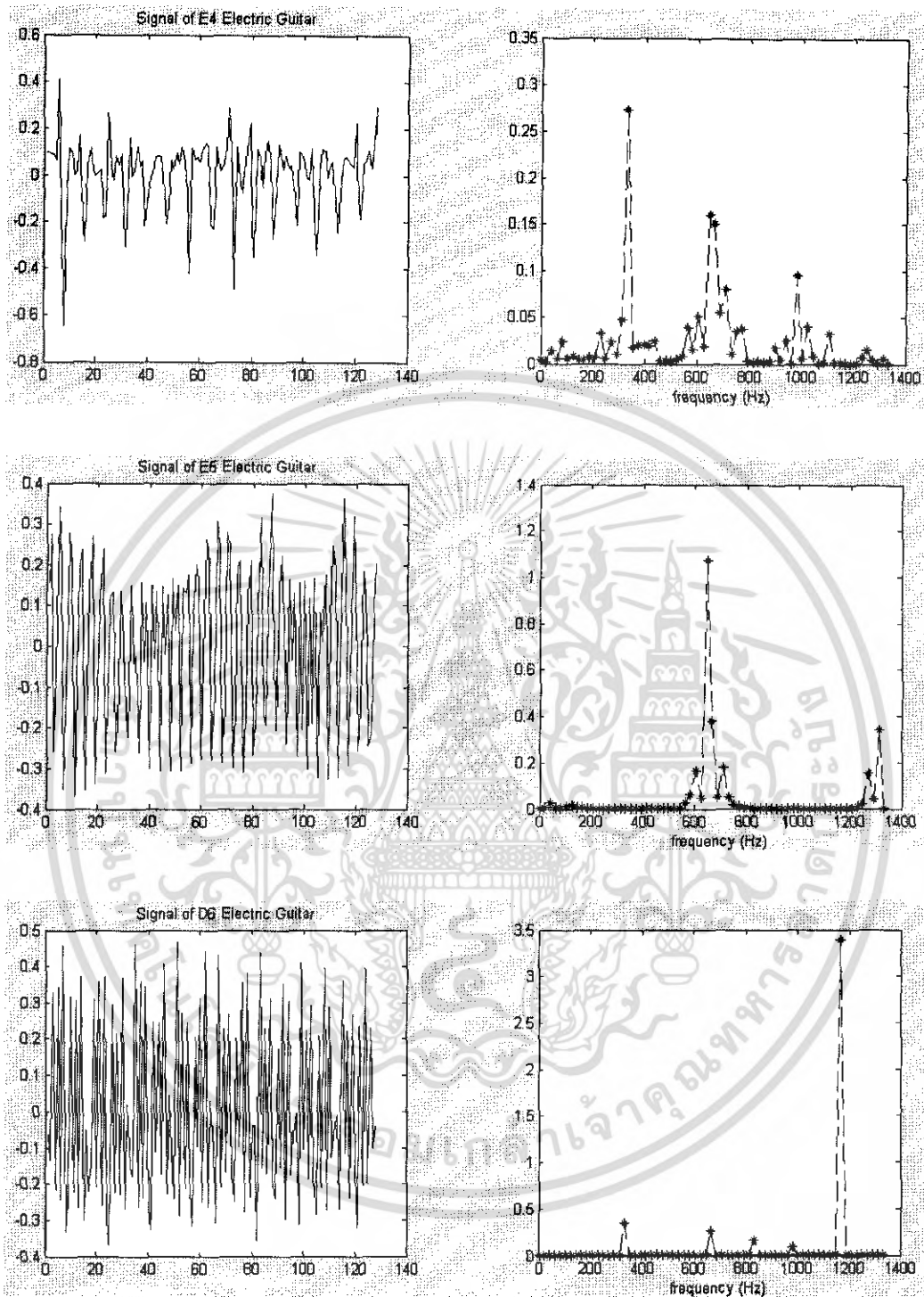
เราใช้เสียงกีตาร์ในการทดลอง โดยทดลองติดตั้งแต่ตัวโน้ต E3 ~ D5 คือสายกีตาร์สาย 1 เนื่องจากสายที่เฟรท 0 ถึงเฟรท 22 ที่แอมพลิจูดเดียวกัน โดยใช้ Fast Fourier Transform Function ของ MATLAB ในการหาค่าแอมพลิจูดของแต่ละค่าความถี่ โดยเก็บค่า Sampling 128 ค่าแรกที่ความถี่การแซมปลิง 2666.66Hz ซึ่งเป็นช่วงเวลา 48ms แรกหลังจากที่เริ่มมีเสียงออกจากสายกีตาร์ โดยใช้ Source code

```
tt = 1
for ii=1:tt
    t = 0:0.000375:0.6
    kk = 4608*(ii-1)
    f = 1+kk
    t = 4608+kk
    y = wavread('e4', [f,t]);
    for i=1:128
        x(i) = y(36*i);
    end
    YY = fft(x,128);
    Pyy = YY.* conj(YY) / 128;
    f = 2666.666*(0:64)/128;
    figure(1);
    subplot(tt,1,ii);
    plot(f,Pyy(1:65),'b--*')
    title('Frequency content of signal')
    xlabel('frequency (Hz)')
end
```

ตารางที่ 4.1 ตารางการหาค่าแอมพลิจูดองค์ประกอบทางความถี่ของสัญญาณ

โน้ต	ความถี่ของ ตัวโน้ต (Hz)	ค่าความถี่ที่ วัดได้ (Hz)	ความถี่ขอบ ล่างของช่อง (Hz)	แอมพลิจูด ของขอบ ล่าง	ความถี่ขอบ บนของช่อง (Hz)	แอมพลิจูด ของขอบ ล่าง
E4	329.6275	327.45	312.50(15)	0.047191	333.33(16)	0.27344
F4	349.2282	346.78	333.33(16)	0.088144	354.17(17)	0.33045
F#4	369.9944	367.32	354.17(17)	0.23236	375.00(18)	0.72679
G4	391.9954	389.49	375.00(18)	0.13675	395.83(19)	0.71287
G#4	415.3046	412.32	395.83(19)	0.056515	416.67(20)	0.810290
A4	440.0000	437.26	437.50(21)	0.987790	458.33(22)	0.002112
A#4	466.1637	462.82	458.33(22)	0.927320	479.17(23)	0.083373
B4	493.8833	489.85	479.17(23)	0.390340	500.00(24)	0.440230
C5	523.2511	518.24	520.83(25)	2.766500	541.67(26)	0.043639
C#5	554.3652	549.45	541.67(26)	1.048300	562.50(27)	0.384660
D5	587.3295	582.69	583.33(28)	2.038400	604.17(29)	0.005846
D#5	622.2539	617.20	604.17(29)	0.510560	625.00(30)	1.398300
E5	659.2551	653.90	645.83(31)	1.073900	666.67(32)	0.378930
F5	698.4564	693.41	687.50(33)	2.096900	708.33(34)	0.351290
F#5	739.9888	735.00	729.17(35)	2.579200	750.00(36)	0.350460
G5	783.9908	777.95	770.83(37)	1.946400	791.67(38)	0.506310
G#5	830.6093	822.90	812.50(39)	1.649700	833.33(40)	1.646200
A5	880.0000	873.71	875.00(42)	2.221200	895.83(43)	0.018325
A#5	932.3275	924.25	916.67(44)	2.073000	937.50(45)	0.661660
B5	987.7666	980.81	979.17(47)	3.0063	1000.00(48)	0.023076
C6	1046.5022	1037.61	1041.70(50)	3.3417	1062.50(51)	0.099007
C#6	1108.7305	1098.61	1104.20(53)	3.6099	1125.00(54)	0.19215
D6	1174.6590	1165.75	1166.70(56)	3.3958	1187.50(57)	0.010436

เอกสารนี้เป็นเอกสารที่สงวนไว้สำหรับการใช้งานเพื่อการศึกษาเท่านั้น ไม่อนุญาตให้นำไปใช้ประโยชน์ด้านการค้า
ไม่ว่ากรณีใดๆ ทั้งสิ้น อีกทั้งห้ามมิให้ดัดแปลงเนื้อหา และต้องอ้างอิงถึงเจ้าของเอกสารทุกครั้งที่มีการนำไปใช้

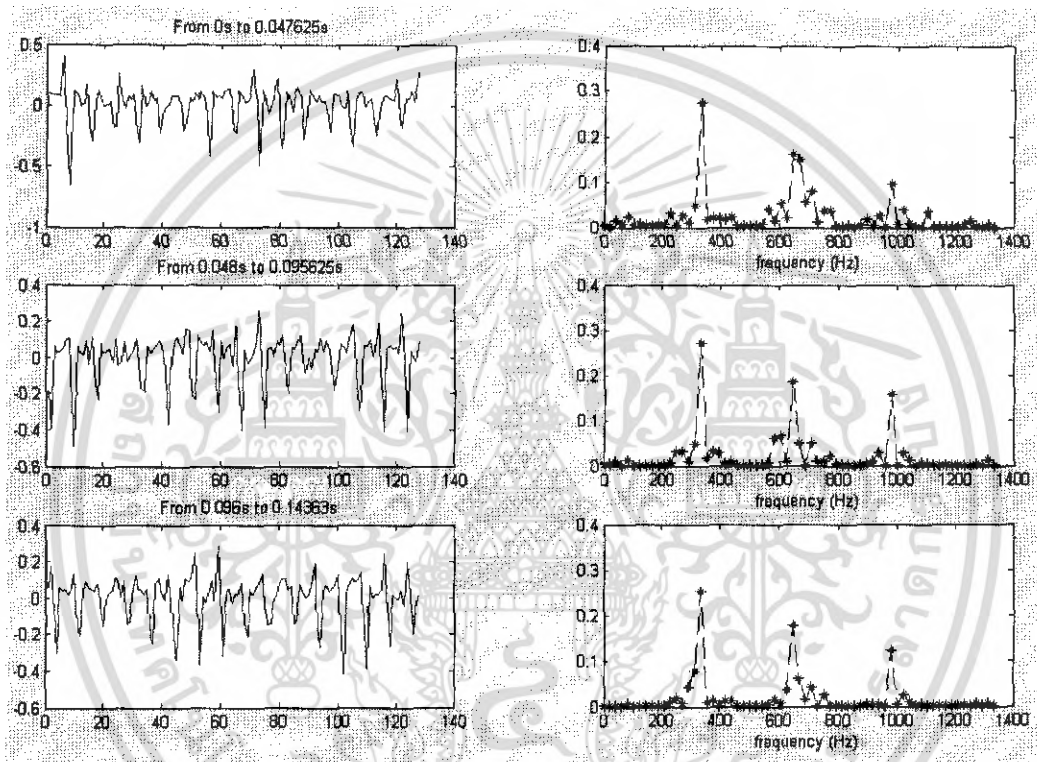


รูปที่ 4.1 กราฟเปรียบเทียบรูปสัญญาณและค่าแอมพลิจูดของแต่ละความถี่ ที่ตัวโน้ต E3, E4 และ D5 ของกีตาร์ไฟฟ้า

เอกสารนี้เป็นเอกสารที่สงวนไว้สำหรับการใช้งานเพื่อการศึกษาเท่านั้น ไม่อนุญาตให้นำไปใช้ประโยชน์ด้านการค้า ไม่ว่าจะกรณีใดๆ ทั้งสิ้น อีกทั้งห้ามมิให้ดัดแปลงเนื้อหา และต้องอ้างอิงถึงเจ้าของเอกสารทุกครั้งที่มีการนำไปใช้

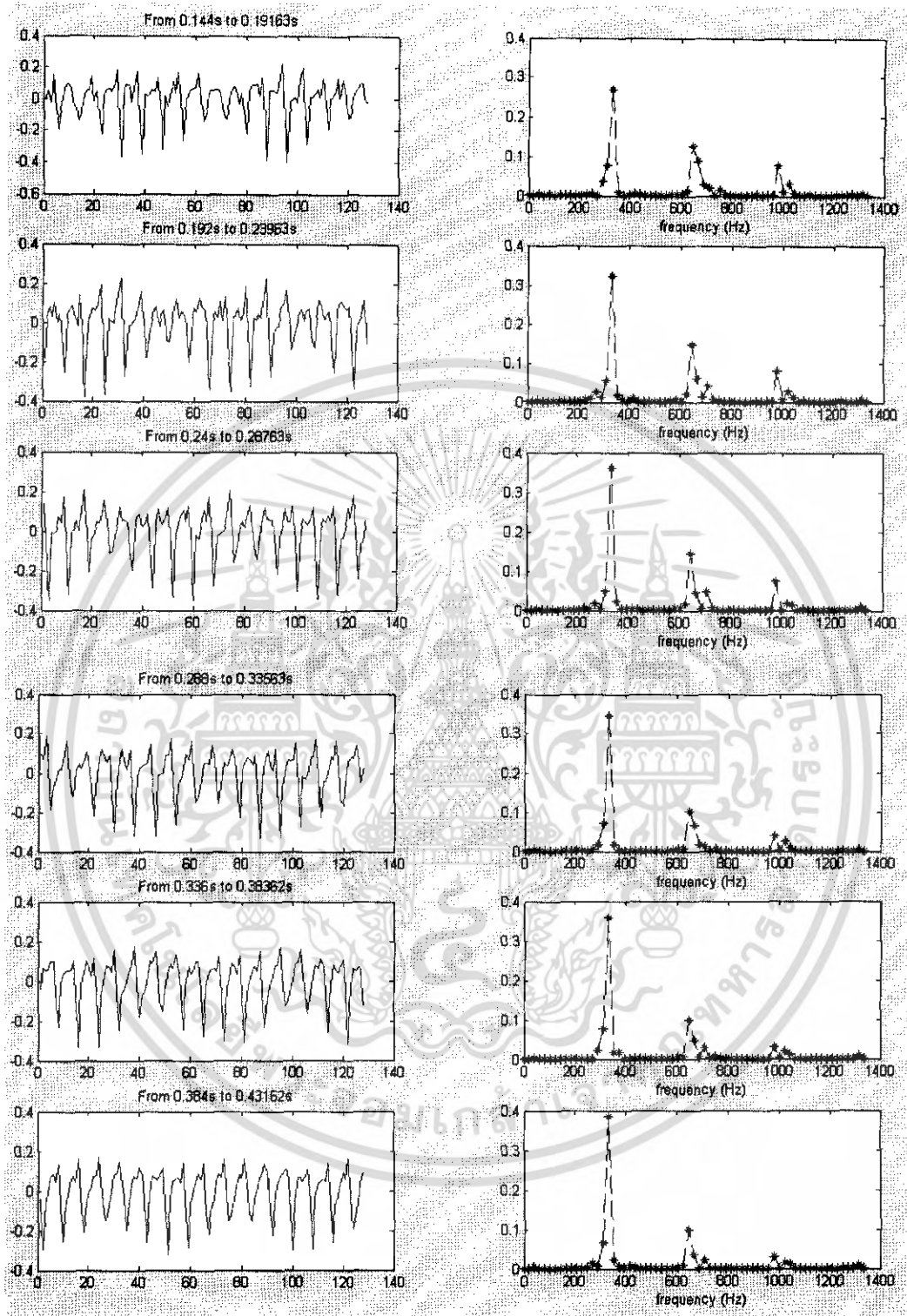
การทดลองที่ 2 แอมพลิจูดขององค์ประกอบทางความถี่ของสัญญาณที่เวลาต่างๆ

เป็นการทดลองเปรียบเทียบ Fundamental Frequency กับ Harmonic Frequency เมื่อเวลาผ่านไป ตั้งแต่ 0-0.43162 วินาที



รูปที่ 4.2 กราฟความถี่ที่เวลาต่างๆในการแซมปลิ่งในช่วง 0 - 0.43162 วินาที

เอกสารนี้เป็นเอกสารที่สงวนไว้สำหรับการใช้งานเพื่อการศึกษาเท่านั้น ไม่อนุญาตให้นำไปใช้ประโยชน์ด้านการค้า ไม่ว่าจะกรณีใดๆ ทั้งสิ้น อีกทั้งห้ามมิให้ดัดแปลงเนื้อหา และต้องอ้างอิงถึงเจ้าของเอกสารทุกครั้งที่มีการนำไปใช้



รูปที่ 4.2 (ต่อ) กราฟความถี่ที่เวลาต่างๆในการแชมป์ลงในช่วง 0 - 0.43162 วินาที

เอกสารนี้เป็นเอกสารที่สงวนไว้สำหรับการใช้งานเพื่อการศึกษาเท่านั้น ไม่อนุญาตให้นำไปใช้ประโยชน์ด้านการค้า
ไม่ว่ากรณีใดๆ ทั้งสิ้น อีกทั้งห้ามมิให้ดัดแปลงเนื้อหา และต้องอ้างอิงถึงเจ้าของเอกสารทุกครั้งที่มีการนำไปใช้

การทดลองที่ 3 การหาค่าแอมพลิจูดสูงสุดในแต่ละ Grid

ในการทดลองนี้จะทำการเก็บข้อมูลของแอมพลิจูดสูงสุดในแต่ละ Grid เพื่อนำมาใช้ในการปรับค่าแอมพลิจูดของสัญญาณในแต่ละ Grid ให้อยู่ในสเกลเดียวกันด้วยการนำแอมพลิจูดของสัญญาณที่ได้มาหารด้วยแอมพลิจูดสูงสุดในแต่ละ Grid ทุกๆ Grid โดยในการเก็บค่าแอมพลิจูดสูงสุดจะทำการเก็บค่า 4 ครั้งแล้วจึงนำมาหาค่าเฉลี่ยจะได้ผลดังตารางที่ 4.2

ตารางที่ 4.2 ค่าแอมพลิจูดเฉลี่ยสูงสุดของ Grid ที่ตรงกับตัวโน้ต และ Grid ใกล้เคียง

Note	Number	Grid #1	Grid #2	Grid #3	Grid #4
		14	15	16	17
E	1	1319	1526	7113	1458
	2	1649	1408	5272	1323
	3	1838	1568	8355	1941
	4	1895	1609	7367	1786
	Average	1675.25	1527.75	7026.75	1627
		15	16	17	18
F	1	1060	2379	4993	2731
	2	1083	2003	5089	2561
	3	1253	2435	7475	2160
	4	1280	2711	6113	2859
	Average	1169	2382	5917.5	2577.75
		16	17	18	19
F#	1	2033	1505	6238	5771
	2	1522	2190	4440	3487
	3	1943	2568	5726	4974
	4	1895	3086	4155	7786
	Average	1848.25	2337.25	5139.75	5504.5
		17	18	19	20
G	1	2292	4355	8611	2266
	2	2235	2876	8137	2665

เอกสารนี้เป็นเอกสารที่สงวนไว้สำหรับการใช้งานเพื่อการศึกษาเท่านั้น ไม่อนุญาตให้นำไปใช้ประโยชน์ด้านการค้าไม่ว่ากรณีใดๆ ทั้งสิ้น อีกทั้งห้ามมิให้ดัดแปลงเนื้อหา และต้องอ้างอิงถึงเจ้าของเอกสารทุกครั้งที่มีการนำไปใช้

	3	1664	4904	8762	1724
	4	1756	6407	8323	1369
	Average	1986.75	4635.5	8458.25	2006
		18	19	20	21
G#	1	1857	2565	7059	3819
	2	2193	6028	5993	2886
	3	2092	3442	7739	3104
	4	1873	4110	5291	2228
	Average	2003.75	4036.25	6520.5	3009.25
		20	21	22	23
A	1	3357	28179	8876	2867
	2	2689	26899	7393	2664
	3	3834	28057	6046	3713
	4	3992	25986	6913	2089
	Average	3468	27280.25	7307	2833.25
		21	22	23	24
A#	1	9086	14769	4540	2442
	2	9388	12891	4720	1899
	3	10018	12396	3775	1941
	4	8822	11769	3125	1927
	Average	9328.5	12956.25	4040	2052.25
		22	23	24	25
B	1	3554	4602	6021	3495
	2	2369	4521	6256	3616
	3	2896	5349	4959	3397
	4	2645	4521	5341	3275
	Average	2866	4748.25	5644.25	3445.75
		24	25	26	27
C	1	3943	10186	4786	2481

เอกสารนี้เป็นเอกสารที่สงวนไว้สำหรับการใช้งานเพื่อการศึกษาเท่านั้น ไม่อนุญาตให้นำไปใช้ประโยชน์ด้านการค้า
ไม่ว่ากรณีใดๆ ทั้งสิ้น อีกทั้งห้ามมิให้ดัดแปลงเนื้อหา และต้องอ้างอิงถึงเจ้าของเอกสารทุกครั้งที่มีการนำไปใช้

	2	4564	12393	5107	3388
	3	2727	12291	2806	2281
	4	4447	13177	4312	1911
	Average	3920.25	12011.75	4252.75	2515.25
		25	26	27	28
C#	1	3158	14540	7259	2796
	2	2768	11512	9369	3106
	3	2214	10530	9527	3183
	4	3917	13293	7330	2346
	Average	3014.25	12468.75	8371.25	2857.75
		27	28	29	30
D	1	4943	17125	7700	1746
	2	5370	16567	7817	3013
	3	5160	18585	6364	1777
	4	6187	19113	6036	2250
	Average	5415	17847.5	6979.25	2196.5
		28	29	30	31
D#	1	3254	5817	18973	7412
	2	3609	6655	22691	6656
	3	2262	7572	20740	6071
	4	2725	8430	19529	8900
	Average	2962.5	7118.5	20483.25	7259.75
		30	31	32	33
E	1	3326	17603	45676	12204
	2	4534	14714	43179	13420
	3	4897	20284	44012	12493
	4	5778	14004	45771	10038
	Average	4633.75	16651.25	44659.5	12038.75
		32	33	34	35

เอกสารนี้เป็นเอกสารที่สงวนไว้สำหรับการใช้งานเพื่อการศึกษาเท่านั้น ไม่อนุญาตให้นำไปใช้ประโยชน์ด้านการค้า
ไม่ว่ากรณีใดๆ ทั้งสิ้น อีกทั้งห้ามมิให้ดัดแปลงเนื้อหา และต้องอ้างอิงถึงเจ้าของเอกสารทุกครั้งที่มีการนำไปใช้

F	1	6771	31251	20064	2967
	2	9799	31261	18890	5162
	3	11148	28715	18076	2903
	4	12869	28884	18699	2483
	Average	10146.75	30027.75	18932.25	3378.75
		34	35	36	37
F#	1	5516	16740	14786	3466
	2	4502	17205	15464	2937
	3	5593	18416	15352	2911
	4	4196	17289	12915	3440
	Average	4951.75	17412.5	14629.25	3188.5
		36	37	38	39
G	1	2847	8875	19316	4753
	2	2922	9225	20910	4384
	3	4256	10277	19324	3506
	4	2587	7772	18956	5016
	Average	3153	9037.25	19626.5	4414.75
		38	39	40	41
G#	1	4080	8345	12316	6223
	2	4133	6335	12306	6023
	3	3919	4808	11982	5279
	4	3801	5334	13238	6617
	Average	3983.25	6205.5	12460.5	6035.5
		41	42	43	44
A	1	7458	31251	23129	7300
	2	6309	33471	28267	8512
	3	6194	36123	20817	8131
	4	8049	34528	25107	7882
	Average	7002.5	33843.25	24330	7956.25

เอกสารนี้เป็นเอกสารที่สงวนไว้สำหรับการใช้งานเพื่อการศึกษาเท่านั้น ไม่อนุญาตให้นำไปใช้ประโยชน์ด้านการค้า
ไม่ว่ากรณีใดๆ ทั้งสิ้น อีกทั้งห้ามมิให้ดัดแปลงเนื้อหา และต้องอ้างอิงถึงเจ้าของเอกสารทุกครั้งที่มีการนำไปใช้

		43	44	45	46
A#	1	4076	8784	18001	5419
	2	7706	9058	17081	5688
	3	7926	10326	19904	5668
	4	7463	10130	15936	5110
	Average	6792.75	9574.5	17730.5	5471.25
		46	47	48	49
B	1	3935	10836	9505	4416
	2	3635	10627	7851	5227
	3	4536	11610	8586	4214
	4	4158	12418	6243	5111
	Average	4066	11372.75	8046.25	4742
		49	50	51	52
C	1	4392	18219	4630	3662
	2	4919	15705	7115	3538
	3	5544	17449	5623	3279
	4	4848	9138	5257	3823
	Average	4925.75	15127.75	5656.25	3575.5
		52	53	54	55
C#	1	3939	16386	7983	1689
	2	3167	15909	7414	3469
	3	3251	13124	10850	2687
	4	2589	15097	6995	2918
	Average	3236.5	15129	8310.5	2690.75
		55	56	57	58
D	1	3245	7189	10719	2465
	2	3739	9208	11675	2594
	3	2871	8631	12363	3841
	4	5726	9252	12674	3006

เอกสารนี้เป็นเอกสารที่สงวนไว้สำหรับการใช้งานเพื่อการศึกษาเท่านั้น ไม่อนุญาตให้นำไปใช้ประโยชน์ด้านการค้า
ไม่ว่ากรณีใดๆ ทั้งสิ้น อีกทั้งห้ามมิให้ดัดแปลงเนื้อหา และต้องอ้างอิงถึงเจ้าของเอกสารทุกครั้งที่มีการนำไปใช้

	Average	3895.25	8570	11857.75	2976.5
--	---------	---------	------	----------	--------

การทดลองที่ 4 การหาค่าเฉลี่ยแอมป์ลิจูดของทุก Grid เพื่อใช้กำหนดค่า threshold

ในการทดลองนี้จะทำการเก็บค่าแอมป์ลิจูดของสัญญาณที่มีค่าน้อยที่สุด 10 ครั้งในแต่ละ Grid ทุกๆ Grid มาหาค่าเฉลี่ยจะได้ค่าดังตารางที่ 4.2 แล้วนำค่าเฉลี่ยของแอมป์ลิจูดในแต่ละ Grid มาหารค่าแอมป์ลิจูดสูงสุดที่ได้จากการทดลองที่ 3 เพื่อปรับให้ แอมป์ลิจูดน้อยที่สุดเฉลี่ยในแต่ละ Grid อยู่บนสเกลเดียวกันก็จะได้ค่า Threshold ของแต่ละ Grid แล้วจึงนำ Threshold ที่ได้มาหาค่าเฉลี่ยก็จะได้ Threshold high กลางที่ใช้เป็น Threshold ในการสั่ง On โน้ต ดังตารางที่ 4.3

ตารางที่ 4.2 ค่าเฉลี่ยแอมป์ลิจูดของสัญญาณที่มีค่าน้อยที่สุด

Note(Grid)	1	2	3	4	5	6	7	8	9	10	Average
E(16)	1422	779	769	1019	932	1659	1032	953	1016	841	1042.2
F(17)	1091	2958	906	711	769	903	1282	1974	1970	1660	1422.4
F#(18)	1131	1257	576	1011	418	428	1069	697	1464	1499	955
G(19)	984	1283	1937	1058	997	649	892	1702	969	911	1138.2
G#(20)	1119	682	1597	933	1941	1207	2198	1550	925	1097	1324.9
A(21)	2012	1184	2981	6231	4954	859	2403	3081	4995	1330	3003
A#(22)	1181	2414	1100	1171	1481	1584	931	1362	2274	1375	1487.3
B(24)	1670	2244	756	693	1007	762	1263	1533	625	907	1146
C(25)	1325	1423	1263	1272	2717	2225	3342	1776	2413	1741	1949.7
C#(26)	2383	1814	1031	869	1922	2168	1111	1549	1828	1863	1653.8
D(28)	4689	1378	1876	1123	1936	2633	1516	2203	1479	2836	2166.9
D#(30)	4873	3415	2506	3283	3415	3065	2298	2287	1571	4524	3123.7
E(32)	2619	6288	4870	5665	3441	2431	2388	2669	6235	4337	4094.3
F(33)	4940	3078	6793	4234	4552	3322	6643	7426	3319	2189	4649.6
F#(35)	1978	3887	4090	1630	3091	4530	3474	2292	1325	3089	2938.6
G(38)	5330	2391	1329	2039	1329	1475	1416	1423	1785	2304	2082.1

เอกสารนี้เป็นเอกสารที่สงวนไว้สำหรับการใช้งานเพื่อการศึกษาเท่านั้น ไม่อนุญาตให้นำไปใช้ประโยชน์ด้านการค้า
ไม่ว่ากรณีใดๆ ทั้งสิ้น อีกทั้งห้ามมิให้ดัดแปลงเนื้อหา และต้องอ้างอิงถึงเจ้าของเอกสารทุกครั้งที่มีการนำไปใช้

G#(40)	3725	3641	3960	1344	1977	2248	2705	3825	1236	4585	2924.6
A(42)	6491	13759	6696	6802	6676	4999	9230	6633	2214	8181	7168.1
A#(45)	3842	2819	4478	3654	3129	2178	5754	3345	2671	2705	3457.5
B(47)	1894	2754	1735	1295	3405	1076	1007	2227	1308	1053	1775.4
C(50)	6243	3091	2635	9846	1086	2686	1482	4885	4873	6519	4334.6
C#(53)	4878	2195	2060	4658	5536	2634	1421	3024	954	2058	2941.8
D(57)	2682	2925	1058	7545	2966	3199	3558	1530	2068	2898	3042.9

ตารางที่ 4.3 การหา Threshold high

Note(Grid)	Min	Peak	Min/Peak
E(16)	1042.2	7026.75	0.148319
F(17)	1422.4	5917.5	0.240372
F#(18)	955	5139.75	0.185807
G(19)	1138.2	8458.25	0.134567
G#(20)	1324.9	6520.5	0.20319
A(21)	3003	27280.25	0.11008
A#(22)	1487.3	12956.25	0.114794
B(24)	1146	5644.25	0.203038
C(25)	1949.7	12011.75	0.162316
C#(26)	1653.8	12468.75	0.132636
D(28)	2166.9	17847.5	0.121412
D#(30)	3123.7	20483.25	0.1525
E(32)	4094.3	44659.5	0.091678
F(33)	4649.6	30027.75	0.154843
F#(35)	2938.6	17412.5	0.168764
G(38)	2082.1	19626.5	0.106086

เอกสารนี้เป็นเอกสารที่สงวนไว้สำหรับการใช้งานเพื่อการศึกษาเท่านั้น ไม่อนุญาตให้นำไปใช้ประโยชน์ด้านการค้า
ไม่ว่ากรณีใดๆ ทั้งสิ้น อีกทั้งห้ามมิให้ดัดแปลงเนื้อหา และต้องอ้างอิงถึงเจ้าของเอกสารทุกครั้งที่มีการนำไปใช้

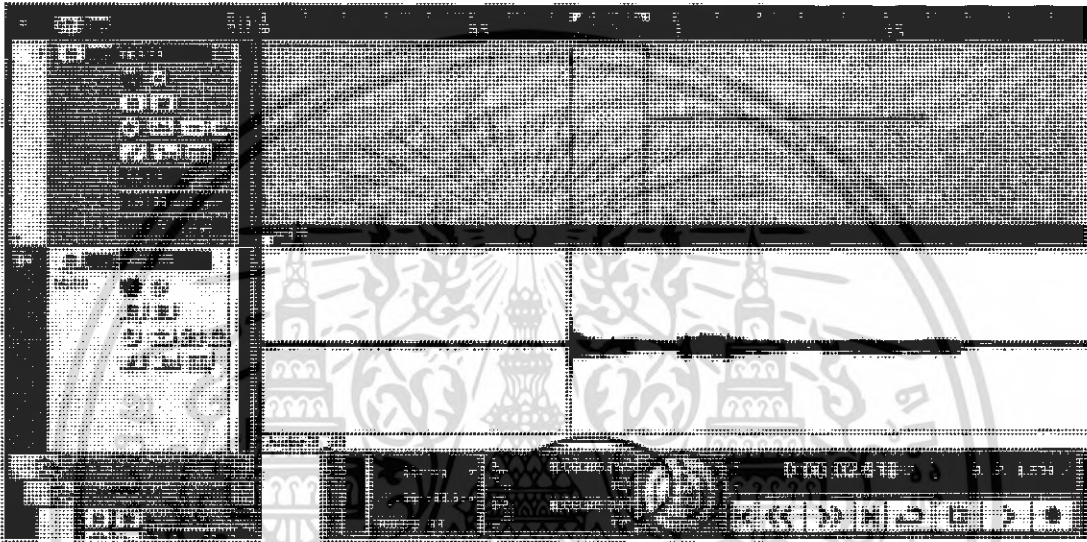
G#(40)	2924.6	12460.5	0.23471
A(42)	7168.1	33843.25	0.211803
A#(45)	3457.5	17730.5	0.195003
B(47)	1775.4	11372.75	0.15611
C(50)	4334.6	15127.75	0.286533
C#(53)	2941.8	15129	0.194448
D(57)	3042.9	11857.75	0.256617



เอกสารนี้เป็นเอกสารที่สงวนไว้สำหรับการใช้งานเพื่อการศึกษาเท่านั้น ไม่อนุญาตให้นำไปใช้ประโยชน์ด้านการค้า
ไม่ว่ากรณีใดๆ ทั้งสิ้น อีกทั้งห้ามมิให้ดัดแปลงเนื้อหา และต้องอ้างอิงถึงเจ้าของเอกสารทุกครั้งที่มีการนำไปใช้

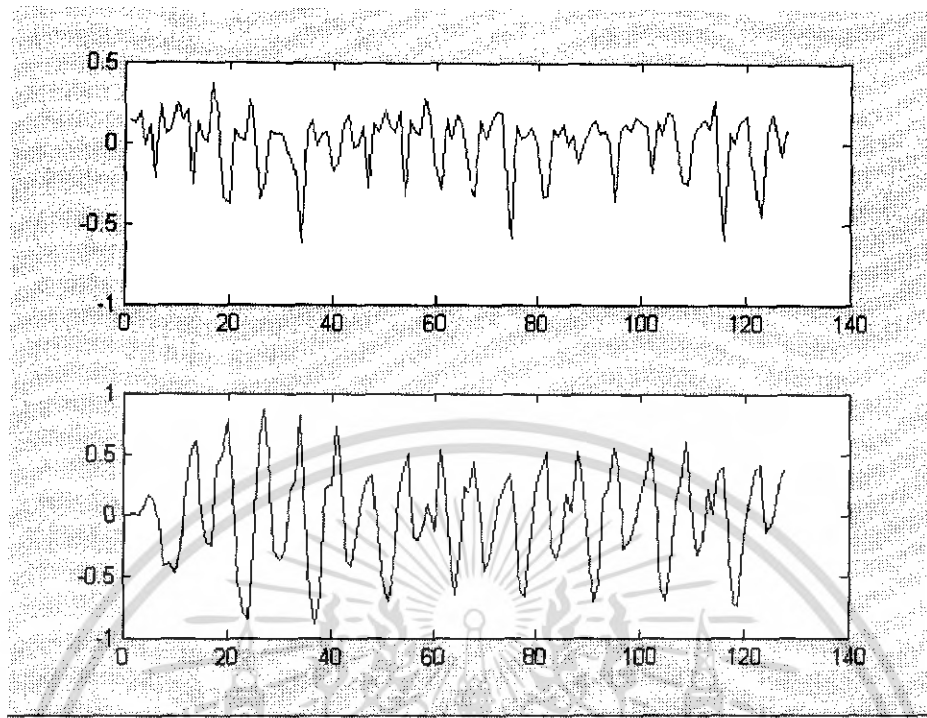
การทดลองที่ 5 การหาค่า Delay Time และเปรียบเทียบสัญญาณ Input กับ Output

ทำการป้อนสัญญาณ Input ด้วยการเล่นกีตาร์ไฟฟ้าตั้งแต่โน้ต E4 – D5 เข้าสู่วงจรแล้วป้อน Output ในรูปแบบมิดีไปบันทึกเป็นรูปแบบมิดีและบันทึกสัญญาณอนาลอกในรูปแบบเวฟไฟล์ไปพร้อมๆกันในซอฟต์แวร์บันทึกเสียง โดยในโปรแกรมที่ใช้จะมีเสกเวลาบอกทำให้สามารถหาค่า Delay Time ระหว่างสัญญาณอนาลอก กับ ค่ามิดีที่บันทึกได้ดังรูปที่ 4.3 โดยจะมีค่า Delay Time ประมาณ $0.929 - 0.750 = 0.179$ วินาที

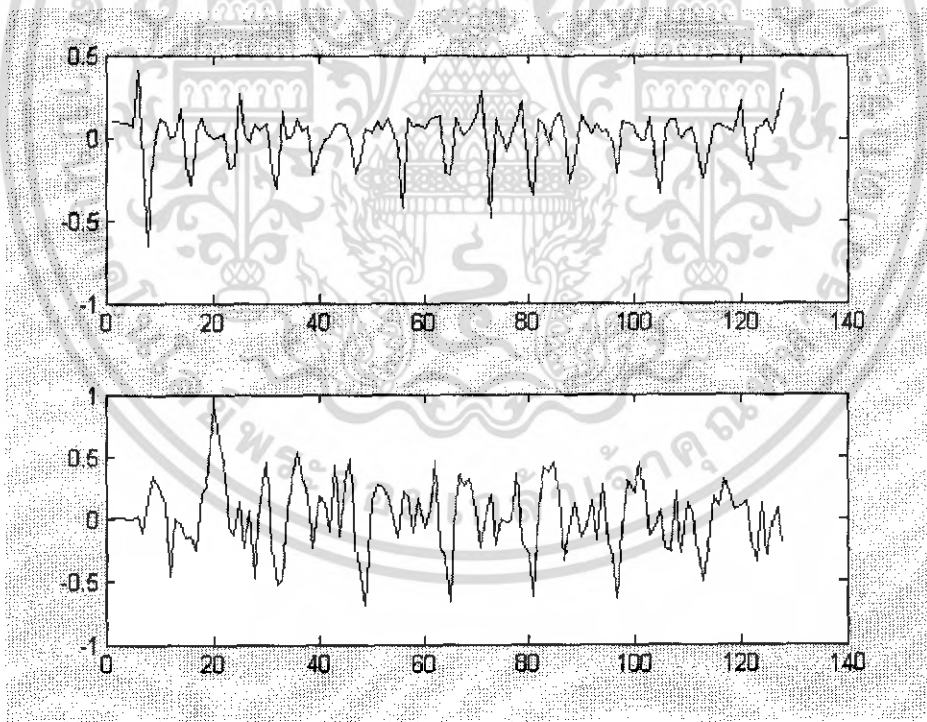


รูปที่ 4.3 แสดงระยะห่างของเวลาในการบันทึกสัญญาณอนาลอกกับการบันทึกมิดี

จากนั้นนำโน้ตมิดีที่ได้มาสังเคราะห์เสียงด้วยซินธิไซเซอร์ซอฟต์แวร์ออกมาเป็นสัญญาณอนาลอกแล้วทำการบันทึกเป็นรูปแบบเวฟไฟล์แล้วนำรูปสัญญาณที่ได้ไปเปรียบเทียบกับสัญญาณอนาลอกเดิมจากกีตาร์ไฟฟ้า ปรากฏว่ามีความถี่เท่ากันดังแสดงในรูปที่ 4.4

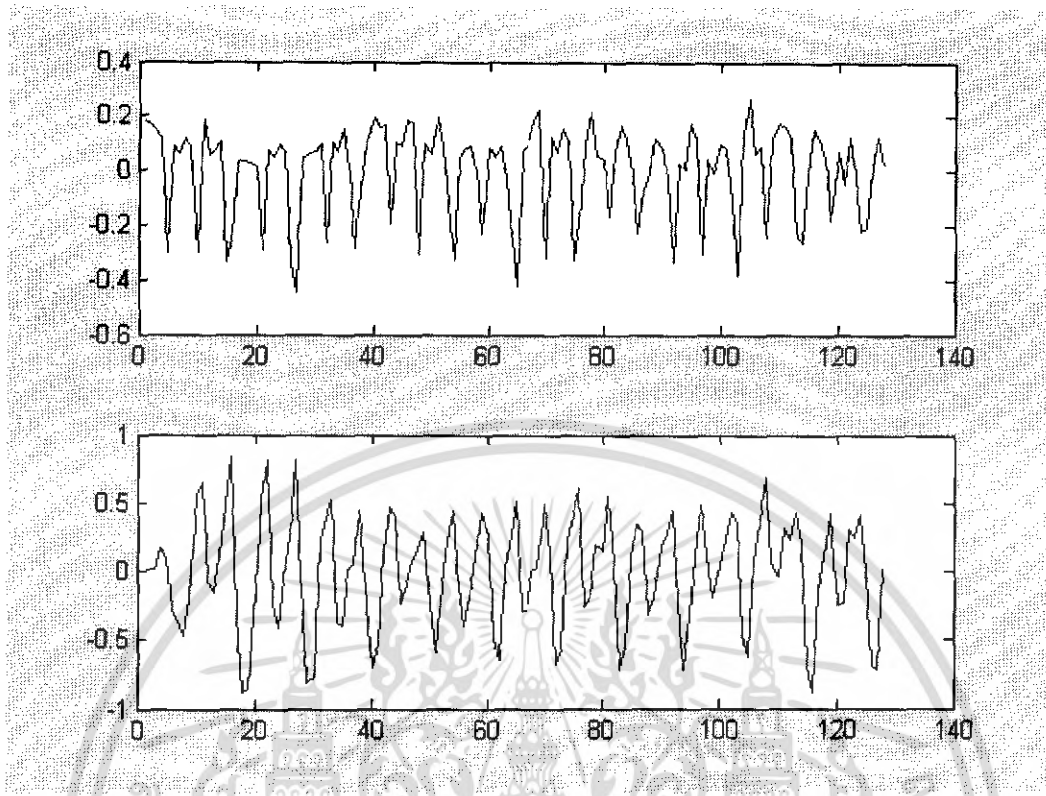


(n)



(n)

เอกสารนี้เป็นเอกสารที่สงวนไว้สำหรับการใช้งานเพื่อการศึกษาเท่านั้น ไม่อนุญาตให้นำไปใช้ประโยชน์ด้านการค้า
ไม่ว่ากรณีใดๆ ทั้งสิ้น อีกทั้งห้ามมิให้ดัดแปลงเนื้อหา และต้องอ้างอิงถึงเจ้าของเอกสารทุกครั้งที่มีการนำไปใช้



(ค)

รูปที่ 4.4 เปรียบเทียบรูปสัญญาณอนาล็อกที่ได้จากโน้ตมิดี้ที่สังเคราะห์เสียงด้วยซินธิไซเซอร์
ซอฟต์แวร์กับรูปสัญญาณอนาล็อกเดิมจากกีตาร์ไฟฟ้า (ก) โน้ต E ความถี่ 329.627Hz (ข) โน้ต G
ความถี่ 391.995Hz (ค) โน้ต B ความถี่ 493.883Hz

เอกสารนี้เป็นเอกสารที่สงวนไว้สำหรับการใช้งานเพื่อการศึกษาเท่านั้น ไม่อนุญาตให้นำไปใช้ประโยชน์ด้านการค้า
ไม่ว่ากรณีใดๆ ทั้งสิ้น อีกทั้งห้ามมิให้ดัดแปลงเนื้อหา และต้องอ้างอิงถึงเจ้าของเอกสารทุกครั้งที่มีการนำไปใช้

บทที่ 5

สรุปผล

จากการทดลองที่ 1 การหาค่าแอมพลิจูดองค์ประกอบทางความถี่ของสัญญาณ ในการใช้ Fast Fourier Transform Function ของ MATLAB ในการคำนวณ โดยใช้จำนวนครั้งการสุ่มค่า 128 ครั้งได้แอมพลิจูดของความถี่ห่างกัน 20.83 Hz ซึ่งสามารถใช้ระบุแยกความแตกต่างระดับเสียงของ ตัวโน้ต E3 ~ D5 ในสายกีตาร์สาย 1 ได้ (ความถี่ของระดับเสียงอยู่ต่างช่วงความถี่ที่แบ่ง) แต่จะมีความผิดเพี้ยนในเรื่องของแอมพลิจูดของโน้ต ในช่วงความต่ำ เพราะระดับเสียงของโน้ตจะมีความต่างของความถี่น้อย โน้ตบางตัวจะอยู่ห่างจากจุดความถี่ที่ได้จากการคำนวณทำให้ไม่ได้แอมพลิจูดที่แท้จริง แต่ในช่วงความถี่สูงจะมีความถูกต้องมากขึ้นเพราะระยะห่างความถี่ระหว่างโน้ตแต่ละตัว มีความห่างกันมากขึ้นทำให้แอมพลิจูดของแต่ละความถี่ที่ได้จากการคำนวณอยู่ตรงกับความถี่ระดับเสียงมากขึ้น

จากผลการทดลองที่ 2 แอมพลิจูดขององค์ประกอบทางความถี่ของสัญญาณที่เวลาต่างๆในการแซมปลิง ในการเลือกช่วงเวลา แซมปลิง ที่แตกต่างกันนั้นปรากฏว่าเมื่อเวลาผ่านไปคลื่นที่เป็นความถี่ฮาร์โมนิกส์จะมีพลังงานลดลงเรื่อยๆ แต่ในขณะที่คลื่นที่เป็นความถี่มูลฐานจะมีพลังงานค่อนข้างคงที่ นั่นคือ หากมีการเลือกช่วงเวลาในการแซมปลิงแล้วการเลือกช่วงเวลาที่ผ่านมาแล้วเล็กน้อยก็จะสามารถแก้ปัญหาความผิดพลาดในสัญญาณที่คลื่นที่เป็นความถี่ฮาร์โมนิกส์มีพลังงานสูงกว่าคลื่นที่เป็นความถี่มูลฐาน

จากการทดลองที่ 3 จะได้ว่า Amplitude Scale ของแต่ละตัวโน้ตที่เท่ากันทำให้สามารถแยกแยะโน้ตที่มีแอมพลิจูดสูงสุดได้โดยง่าย

จากการทดลองที่ 4 นำค่าเฉลี่ย Amplitude ของสัญญาณในแต่ละโน้ตที่ได้จากการคิดน้ำหนักธรรมชาติมาหาร Max Amplitude จะได้ว่า Threshold High ของแต่ละตัวโน้ต

จากการทดลองที่ 5 ใช้เวลาในการประมวลผลทั้งหมดประมาณ 179 ms ซึ่งเกิดจากการ Sampling ด้วยเวลา $0.375 \times 128 = 48$ ms และการส่งสัญญาณมีดีอีประมาณ 1 ms นอกจากนั้นจะเป็นเวลาในการคำนวณฟังก์ชันฟาสต์ฟูเรียร์ทรานสฟอร์ม

บรรณานุกรม

1. ศาสตราจารย์ ดร.วิวัฒน์ กิรานนท์, “วิศวกรรมการสื่อสาร”, สถาบันเทคโนโลยีพระจอมเกล้าเจ้าคุณทหารลาดกระบัง, พิมพ์ครั้งที่ 4 พ.ศ.2540
2. ศาสตราจารย์ ดร.วัลลภ สุระกำพลธร, “การประมวลผลสัญญาณเชิงตัวเลข”, สถาบันเทคโนโลยีพระจอมเกล้าเจ้าคุณทหารลาดกระบัง,
3. Francis Rumsey, “MIDI Systems and Control”, Butterworth-Heinemann Ltd, Second Edition, 1994
4. Michael Talbot-Smith, “Audio Engineer’s Reference Book”, Focal Press, Second Edition, 1999
5. dsPIC30F4011,4012 Data Sheet



เอกสารนี้เป็นเอกสารที่สงวนไว้สำหรับการใช้งานเพื่อการศึกษาเท่านั้น ไม่อนุญาตให้นำไปใช้ประโยชน์ด้านการค้า
ไม่ว่ากรณีใดๆ ทั้งสิ้น อีกทั้งห้ามมิให้ดัดแปลงเนื้อหา และต้องอ้างอิงถึงเจ้าของเอกสารทุกครั้งที่มีการนำไปใช้



เอกสารนี้เป็นเอกสารที่สงวนไว้สำหรับการใช้งานเพื่อการศึกษาเท่านั้น ไม่อนุญาตให้นำไปใช้ประโยชน์ด้านการค้า
ไม่ว่ากรณีใดๆ ทั้งสิ้น อีกทั้งห้ามมิให้ดัดแปลงเนื้อหา และต้องอ้างอิงถึงเจ้าของเอกสารทุกครั้งที่มีการนำไปใช้

โปรแกรมควบคุมการทำงาน

```

#include <p30f4011.h>
#include <ports.h>
#include <lcd.h>
#include <uart.h>
#include <adc10.h>
#include <timer.h>
#include <stdio.h>

//Constant Declare
#define upmsg1 "Main Page"
#define upmsg2 "MENU"
#define upmsg3 "Channel"
#define upmsg4 "Instrument"
#define upmsg5 "Knob1"
#define upmsg6 "Knob2"
#define upmsg7 "Knob3"
#define upmsg8 "Switch Pedal"

#define dnmsg1 " Channel"
#define dnmsg2 " Instrument"
#define dnmsg3 " Knob1"
#define dnmsg4 " Knob2"
#define dnmsg5 " Knob3"
#define dnmsg6 " Switch Pedal"

#define knmsg0 " Disabled"
#define knmsg1 " Sound Variation"
#define knmsg2 "Tim/Harm Content"
#define knmsg3 " Release Time"
#define knmsg4 " Attack Time"
#define knmsg5 " Brightness"
#define knmsg6 "Ext Effect Depth"
#define knmsg7 " Tremolo Depth"
#define knmsg8 " Chorus Depth"
#define knmsg9 " Celeste Depth"
#define knmsgA " Phaser Depth"

#define pdmsg1 " Sustain Pedal"
#define pdmsg2 "Portamento Pedal"
#define pdmsg3 " Sostenuto Pedal"
#define pdmsg4 " Soft Pedal"
#define pdmsg5 " Legato Ftswitch"
#define pdmsg6 " Hold 2"

#define knabb0 "DIS"
#define knabb1 "SVA"
#define knabb2 "THC"
#define knabb3 "RET"
#define knabb4 "ATT"
#define knabb5 "BRN"
#define knabb6 "EED"
#define knabb7 "TRD"
#define knabb8 "CHD"
#define knabb9 "CED"
#define knabbA "PHD"

#define statb 0x80
#define datab 0x00
#define noteof 0x00
#define noteon 0x01
#define aftert 0x02
#define contro 0x03

```

เอกสารนี้เป็นเอกสารที่สงวนไว้สำหรับการใช้งานเพื่อการศึกษาเท่านั้น ไม่อนุญาตให้นำไปใช้ประโยชน์ด้านการค้า
ไม่ว่ากรณีใดๆ ทั้งสิ้น อีกทั้งห้ามมิให้ดัดแปลงเนื้อหา และต้องอ้างอิงถึงเจ้าของเอกสารทุกครั้งที่มีการนำไปใช้

```

#define pressu 0x05
#define pitchw 0x06

//FFT Constant
#define npoint 128
#define ln 7

//Variable Declaration
char lcdbuf[20];
unsigned char mst, smst, octoct;
unsigned char value[7] = {0, 1, 0, 0, 0, 0, 0};
unsigned char vol, sus, kn[3];
unsigned char lastvol, lastsus, lastkn[3];
unsigned char rn, ln; //Recent Note, Last Note
unsigned int scout, grid;
char octaveshift = 0;
float rna, lna; //Recent Note Amplitude, Last
Note Amplitude
float xr[128];
float xi[128];

//Code Function
void sdCode(unsigned char dat1, unsigned char dat2, unsigned char
dat3)
{
    writeUART1(dat1+value[0]);
    while(BusyUART1());
    writeUART1(dat2);
    while(BusyUART1());
    if (dat3 < 0x80)
    {
        writeUART1(dat3);
        while(BusyUART1());
    }
}

void lcd_display(char *p)
{
    while(*p)
    {
        lcd_text(*p);
        p++;
    }
}

float minus(float fv2)
{
    while (fv2 >= 1000000000) fv2 = fv2 - 1000000000;
    while (fv2 >= 100000000) fv2 = fv2 - 100000000;
    while (fv2 >= 10000000) fv2 = fv2 - 10000000;
    while (fv2 >= 1000000) fv2 = fv2 - 1000000;
    while (fv2 >= 100000) fv2 = fv2 - 100000;
    while (fv2 >= 10000) fv2 = fv2 - 10000;
    while (fv2 >= 1000) fv2 = fv2 - 1000;
    while (fv2 >= 100) fv2 = fv2 - 100;
    while (fv2 >= 10) fv2 = fv2 - 10;
    return (fv2);
}

char ftcc(float fv2)
{
    char cv;
    if (fv2 >= 0 && fv2 < 1) cv = '0';
    else if (fv2 >= 1 && fv2 < 2) cv = '1';
    else if (fv2 >= 2 && fv2 < 3) cv = '2';
    else if (fv2 >= 3 && fv2 < 4) cv = '3';
}

```

```

else if (fv2 >= 4 && fv2 < 5) cv = '4';
else if (fv2 >= 5 && fv2 < 6) cv = '5';
else if (fv2 >= 6 && fv2 < 7) cv = '6';
else if (fv2 >= 7 && fv2 < 8) cv = '7';
else if (fv2 >= 8 && fv2 < 9) cv = '8';
else if (fv2 >= 9 && fv2 < 10) cv = '9';
return (cv);
}

char ftc(float fv, float power)
{
    char cv;
    if (fv < 0) fv = fv * (-1);
    fv = fv / power;
    fv = minus(fv);
    cv = ftcc(fv);
    return (cv);
}

char ftcs(float fv)
{
    char cv;
    if (fv >=0) cv = '+';
    else cv = '-';
}

void ftl(unsigned char addr, float from, float to, float value, char
sign)
{
    lcd_command(addr);
    float i;
    if (sign == 's') lcd_text(ftcs(value));
    for (i = from; i >= to; i = i / 10)
    {
        if (i == 0.1) lcd_text('.');
        lcd_text(ftc(value,i));
    }
}

char itcx(int iv2)
{
    char cv;
    if (iv2 == 0) cv = '0';
    else if (iv2 == 1) cv = '1';
    else if (iv2 == 2) cv = '2';
    else if (iv2 == 3) cv = '3';
    else if (iv2 == 4) cv = '4';
    else if (iv2 == 5) cv = '5';
    else if (iv2 == 6) cv = '6';
    else if (iv2 == 7) cv = '7';
    else if (iv2 == 8) cv = '8';
    else if (iv2 == 9) cv = '9';
    return (cv);
}

char itc(int iv, unsigned int power)
{
    char cv;
    iv = iv / power;
    iv = iv % 10;
    cv = itcx(iv);
    return (cv);
}

char itcs(int iv)
{

```

```

    char cv;
    if (iv >= 0) cv = '+';
    else cv = '-';
}

void itl(unsigned char addr, unsigned int from, unsigned int to, int
value, char sign)
{
    lcd_command(addr);
    unsigned int i;
    if (sign == 's') lcd_text(itcs(value));
    if (value < 0) value = -value;
    for (i = from; i >= to; i = i / 10)
    {
        lcd_text(itc(value,i));
    }
}

void showoc()
{
    itl(0xc2, 1, 1, octaveshift / 12, 's');
}

void showpd()
{
    lcd_command(0xc0);
    if (sus == 0x7F)
        lcd_text('P');
    else
        lcd_text(' ');
}

void showvol()
{
    itl(0x81, 100, 1, vol, 'u');
}

void showkn(unsigned char k)
{
    itl(0xc5 + (4 * k), 100, 1, kn[k], 'u');
}

void showall()
{
    unsigned char i;
    unsigned char addrbus = 0x85;

    lcd_command(0x80);
    lcd_text('V');
    showvol();

    lcd_command(0x84);
    lcd_text('|');
    lcd_command(0x88);
    lcd_text('|');
    lcd_command(0x8c);
    lcd_text('|');

    for (i = 0; i < 3; i++)
    {
        lcd_command(addrbus);
        switch (value[3+i])
        {
            case 0 : lcd_display(knabb0);
                    break;
            case 1 : lcd_display(knabb1);
        }
    }
}

```

เอกสารนี้เป็นเอกสารที่สงวนไว้สำหรับการใช้งานเพื่อการศึกษาเท่านั้น ไม่อนุญาตให้นำไปใช้ประโยชน์ด้านการค้า
ไม่ว่ากรณีใดๆ ทั้งสิ้น อีกทั้งห้ามมิให้ดัดแปลงเนื้อหา และต้องอ้างอิงถึงเจ้าของเอกสารทุกครั้งที่มีการนำไปใช้

```

        break;
        case 2 : lcd_display(knabb2);
        break;
        case 3 : lcd_display(knabb3);
        break;
        case 4 : lcd_display(knabb4);
        break;
        case 5 : lcd_display(knabb5);
        break;
        case 6 : lcd_display(knabb6);
        break;
        case 7 : lcd_display(knabb7);
        break;
        case 8 : lcd_display(knabb8);
        break;
        case 9 : lcd_display(knabb9);
        break;
        case 10 : lcd_display(knabbA);
        break;
    }
    addrbus += 0x04;
    showkn(i);
}

showpd();
showoc();

lcd_command(0xc4);
lcd_text('|');
lcd_command(0xc8);
lcd_text('|');
lcd_command(0xcc);
lcd_text('|');
}

void Display(unsigned char swb)
{
    if ((swb == 1) | (mst == 1))
    {
        lcd_command(0x01);
        lcd_command(0x80);
        switch (mst)
        {
            case 1 : showall();
            break;
            case 2 : lcd_display(upmsg2);
            break;
            case 3 : lcd_display(upmsg3);
            break;
            case 4 : lcd_display(upmsg4);
            break;
            case 5 : lcd_display(upmsg5);
            break;
            case 6 : lcd_display(upmsg6);
            break;
            case 7 : lcd_display(upmsg7);
            break;
            case 8 : lcd_display(upmsg8);
            break;
        }
    }
    if (mst == 2)
    {
        lcd_command(0xc0);
        switch (smst)
        {

```

เอกสารนี้เป็นเอกสารที่สงวนไว้สำหรับการใช้งานเพื่อการศึกษาเท่านั้น ไม่อนุญาตให้นำไปใช้ประโยชน์ด้านการค้า
ไม่ว่ากรณีใดๆ ทั้งสิ้น อีกทั้งห้ามมิให้ดัดแปลงเนื้อหา และต้องอ้างอิงถึงเจ้าของเอกสารทุกครั้งที่มีการนำไปใช้

```

        case 1 : lcd_display(dnmsg1);
        break;
        case 2 : lcd_display(dnmsg2);
        break;
        case 3 : lcd_display(dnmsg3);
        break;
        case 4 : lcd_display(dnmsg4);
        break;
        case 5 : lcd_display(dnmsg5);
        break;
        case 6 : lcd_display(dnmsg6);
        break;
    }
}
else if ((mst == 3) | (mst == 4))
{
    sprintf(lcdbuf, "%3d", value[smst]);
    lcd_command(0xCD);
    lcd_display(lcdbuf);
}
else if ((mst >= 5) & (mst <= 7))
{
    lcd_command(0xC0);
    switch (value[smst])
    {
        case 0 : lcd_display(knmsg0);
        break;
        case 1 : lcd_display(knmsg1);
        break;
        case 2 : lcd_display(knmsg2);
        break;
        case 3 : lcd_display(knmsg3);
        break;
        case 4 : lcd_display(knmsg4);
        break;
        case 5 : lcd_display(knmsg5);
        break;
        case 6 : lcd_display(knmsg6);
        break;
        case 7 : lcd_display(knmsg7);
        break;
        case 8 : lcd_display(knmsg8);
        break;
        case 9 : lcd_display(knmsg9);
        break;
        case 10 : lcd_display(knmsgA);
        break;
    }
}
else if (mst == 8)
{
    lcd_command(0xC0);
    switch (value[smst])
    {
        case 0 : lcd_display(pdmsg1);
        break;
        case 1 : lcd_display(pdmsg2);
        break;
        case 2 : lcd_display(pdmsg3);
        break;
        case 3 : lcd_display(pdmsg4);
        break;
        case 4 : lcd_display(pdmsg5);
        break;
        case 5 : lcd_display(pdmsg6);
        break;
    }
}

```

เอกสารนี้เป็นเอกสารที่สงวนไว้สำหรับการใช้งานเพื่อการศึกษาเท่านั้น ไม่อนุญาตให้นำไปใช้ประโยชน์ด้านการค้า
ไม่ว่ากรณีใดๆ ทั้งสิ้น อีกทั้งห้ามมิให้ดัดแปลงเนื้อหา และต้องอ้างอิงถึงเจ้าของเอกสารทุกครั้งที่มีการนำไปใช้

```

    }
}

//Menu Function
void maindisplay(unsigned char Swb)
{
    if (Swb == 1)
    {
        mst = 2;
        smst = 1;
    }
}

void mainmenu(unsigned char Swb)
{
    switch (Swb)
    {
        case 1 : mst = smst + 2;
        break;
        case 2 : if (smst == 1) mst = 1;
        else if (smst == 3)
            smst = smst - 2;
        else
            smst--;
        break;
        case 3 : if (smst == 6) mst = 1;
        else if (smst == 1)
            smst = smst + 2;
        else
            smst++;
        break;
    }
}

void channel(unsigned char Swb)
{
    switch (Swb)
    {
        case 1 : mst = 2;
        break;
        case 2 : if (value[smst] != 1) value[smst]--;
        break;
        case 3 : if (value[smst] != 16) value[smst]++;
        break;
    }
}

void instrument(unsigned char Swb)
{
    switch (Swb)
    {
        case 1 : mst = 2;
        break;
        case 2 : if (value[smst] != 0) value[smst]--;
        break;
        case 3 : if (value[smst] != 127) value[smst]++;
        break;
    }
}

void knob1(unsigned char Swb)
{
    switch (Swb)
    {
        case 1 : mst = 2;
    }
}

```

เอกสารนี้เป็นเอกสารที่สงวนไว้สำหรับการใช้งานเพื่อการศึกษาเท่านั้น ไม่อนุญาตให้นำไปใช้ประโยชน์ด้านการค้า
ไม่ว่ากรณีใดๆ ทั้งสิ้น อีกทั้งห้ามมิให้ดัดแปลงเนื้อหา และต้องอ้างอิงถึงเจ้าของเอกสารทุกครั้งที่มีการนำไปใช้

```

        break;
        case 2 : if (value[smst] != 0) value[smst]--;
        break;
        case 3 : if (value[smst] != 10) value[smst]++;
        break;
    }
}

void knob2(unsigned char Swb)
{
    switch (Swb)
    {
        case 1 : mst = 2;
        break;
        case 2 : if (value[smst] != 0) value[smst]--;
        break;
        case 3 : if (value[smst] != 10) value[smst]++;
        break;
    }
}

void knob3(unsigned char Swb)
{
    switch (Swb)
    {
        case 1 : mst = 2;
        break;
        case 2 : if (value[smst] != 0) value[smst]--;
        break;
        case 3 : if (value[smst] != 10) value[smst]++;
        break;
    }
}

void swped(unsigned char Swb)
{
    switch (Swb)
    {
        case 1 : mst = 2;
        break;
        case 2 : if (value[smst] != 0) value[smst]--;
        break;
        case 3 : if (value[smst] != 5) value[smst]++;
        break;
    }
}

void Bsensor(unsigned char Swb)
{
    if (Swb != 0)
    {
        switch (mst)
        {
            case 1 : maisplay(Swb);
            break;
            case 2 : mainmenu(Swb);
            break;
            case 3 : channel(Swb);
            break;
            case 4 : instrument(Swb);
            break;
            case 5 : knob1(Swb);
            break;
            case 6 : knob2(Swb);
            break;
            case 7 : knob3(Swb);
        }
    }
}

```

เอกสารนี้เป็นเอกสารที่สงวนไว้สำหรับการใช้งานเพื่อการศึกษาเท่านั้น ไม่อนุญาตให้นำไปใช้ประโยชน์ด้านการค้า
ไม่ว่ากรณีใดๆ ทั้งสิ้น อีกทั้งห้ามมิให้ดัดแปลงเนื้อหา และต้องอ้างอิงถึงเจ้าของเอกสารทุกครั้งที่มีการนำไปใช้

```

        break;
        case 8 : swped(Swb);
        break;
        default : mst = 0;
        break;
    }
    Display(Swb);
}
if (mst == 1)
{
    scount = 0;
    EnableIntT1;
}
}

//Bit Reversal Function
void bitreversal()
{
    unsigned char ii, jj, kk, bb, bb2;
    float xt;

    for (ii = 12n; ii >= 1; ii--)
    {
        bb = 1;
        for(jj = 1; jj <= ii; jj++)
        {
            bb = bb * 2;
        }
        bb2 = bb/2-1;
        for (jj = 1; jj <= bb2; jj++)
        {
            kk = jj * 2;
            xt = xr[jj];
            xr[jj] = xr[kk];
            xr[kk] = xt;
        }
    }
}

//Fast Fourier Transformer
void fft()
{
    float wr[64] = { 1.000, 0.999, 0.995, 0.989, 0.981, 0.970,
0.957, 0.942, 0.924, 0.904, 0.882, 0.858, 0.831, 0.803, 0.773,
0.741, 0.707, 0.672, 0.634, 0.596, 0.556, 0.514, 0.471, 0.428,
0.383, 0.337, 0.290, 0.243, 0.195, 0.147, 0.098, 0.049, 0.000, -
0.049, -0.098, -0.147, -0.195, -0.243, -0.290, -0.337, -0.383, -
0.428, -0.471, -0.514, -0.556, -0.596, -0.634, -0.672, -0.707, -
0.741, -0.773, -0.803, -0.831, -0.858, -0.882, -0.904, -0.924, -
0.942, -0.957, -0.970, -0.981, -0.989, -0.995, -0.999};
    float wi[64] = { -0.000, -0.049, -0.098, -0.147, -0.195, -
0.243, -0.290, -0.337, -0.383, -0.428, -0.471, -0.514, -0.556, -
0.596, -0.634, -0.672, -0.707, -0.741, -0.773, -0.803, -0.831, -
0.858, -0.882, -0.904, -0.924, -0.942, -0.957, -0.970, -0.981, -
0.989, -0.995, -0.999, -1.000, -0.999, -0.995, -0.989, -0.981, -
0.970, -0.957, -0.942, -0.924, -0.904, -0.882, -0.858, -0.831, -
0.803, -0.773, -0.741, -0.707, -0.672, -0.634, -0.596, -0.556, -
0.514, -0.471, -0.428, -0.383, -0.337, -0.290, -0.243, -0.195, -
0.147, -0.098, -0.049};
    unsigned char b, b2, i, k, km, wp, wpp, j, jm, counter;
    float xar, xai, xbr, xbi;

    jm = npoint - 1;
    for (i = 1; i <= 12n; i++)
    {
        b = 1;

```

เอกสารนี้เป็นเอกสารที่สงวนไว้สำหรับการใช้งานเพื่อการศึกษาเท่านั้น ไม่อนุญาตให้นำไปใช้ประโยชน์ด้านการค้า
ไม่ว่ากรณีใดๆ ทั้งสิ้น อีกทั้งห้ามมิให้ดัดแปลงเนื้อหา และต้องอ้างอิงถึงเจ้าของเอกสารทุกครั้งที่มีการนำไปใช้

```

    for (j = 1; j <= i; j++)
    {
        b = b * 2;
    }
    b2 = b / 2;
    km = b2 - 1;
    wpp = (npoint / b) % (npoint / 2);
    for (j = 0; j <= jm; j += b)
    {
        wp = 0;
        for (k = 0; k <= km; k++)
        {
            xar = (xr[j+k+b2] * wr[wp]) - (xi[j+k+b2] *
wi[wp]);
            xai = (xr[j+k+b2] * wi[wp]) + (xi[j+k+b2] *
wr[wp]);

            xr[j+k+b2] = xar;
            xi[j+k+b2] = xai;
            xar = xr[j+k] + xr[j+k+b2];
            xai = xi[j+k] + xi[j+k+b2];
            xbr = xr[j+k] - xr[j+k+b2];
            xbi = xi[j+k] - xi[j+k+b2];
            xr[j+k] = xar;
            xi[j+k] = xai;
            xr[j+k+b2] = xbr;
            xi[j+k+b2] = xbi;
            wp = wp + wpp;
        }
    }
}

//Complex Conjugate Multiplier
void conjugatemultiplier()
{
    unsigned char i;
    float xar, xai, xbr, xbi;
    for (i = 0; i <= (npoint - 1); i++)
    {
        xar = xr[i];
        xai = - xi[i];
        xbr = (xr[i] * xar) - (xi[i] * xai);
        xbi = (xr[i] * xai) + (xi[i] * xar);
        xr[i] = xbr;
        xi[i] = xbi;
    }
}

//Peak & Amplitude Divider
void peakandamp()
{
    float peak[23] = {6000, 7000, 8000, 8458.25, 6520.5, 27280.25,
12956.25, 5644.25, 12011.75, 12468.75, 17847.5, 20483.25, 44659.5,
45000, 17412.5, 19626.5, 12460.5, 33843.25, 17730.5, 11372.75,
15127.75, 15129, 11857.75};
    unsigned char notegrid[23] = {16, 17, 18, 19, 20, 21, 22, 24,
25, 26, 28, 30, 32, 33, 35, 38, 40, 42, 45, 47, 50, 53, 57};
    unsigned char i;

    rn = 0xFF;
    rna = 0;
    if (ln != 0xFF) ln = xr[ln];

    for (i = 0; i < 23; i++)
    {

```

```

        xr[notegrid[i]] = xr[notegrid[i]] / peak[i];
        if (xr[notegrid[i]] > rna)
        {
            rna = xr[notegrid[i]];
            rn = i;
        }
    }
}

//Decision & Control
void notesend()
{
    float th[23] = {0.180, 0.240, 0.185, 0.170, 0.203, 0.110,
0.114, 0.150, 0.162, 0.132, 0.121, 0.152, 0.120, 0.154, 0.168,
0.106, 0.234, 0.211, 0.195, 0.156, 0.286, 0.194, 0.256};
    if (rna >= th[rn])
    {
        if (rn != 1n)
        {
            if (1n != 0xFF)
            {
                SdCode(0x80, 1n + 0x40 + octaveshift, 0x64);
            }
            SdCode(0x90, rn + 0x40 + octaveshift, 0x64);
            1n = rn;
        }
    }
    else
    {
        if (1n != 0xFF)
        {
            if (1na <= 5) // 5
            {
                SdCode(0x80, 1n + 0x40 + octaveshift, 0x64);
                1n = 0xFF;
            }
        }
    }
}

void volped()
{
    if (lastvol != vol)
    {
        lastvol = vol;
        SdCode(0xB0, 0x07, vol);
        showvol();
    }
}

void askn(unsigned char var, unsigned char val)
{
    unsigned char con[10] = {0x46, 0x47, 0x48, 0x49, 0x4A, 0x5B,
0x5C, 0x5D, 0x5E, 0x5F};
    kn[val] = var;
    if ((lastkn[val] != kn[val]) & (value[3 + val] != 0))
    {
        lastkn[val] = kn[val];
        SdCode(0xB0, con[value[3 + val] - 1], kn[val]);
        showkn(val);
    }
}

void suspd()
{
    unsigned char con[6] = {0x40, 0x41, 0x42, 0x43, 0x44, 0x45};
}

```

เอกสารนี้เป็นเอกสารที่สงวนไว้สำหรับการใช้งานเพื่อการศึกษาเท่านั้น ไม่อนุญาตให้นำไปใช้ประโยชน์ด้านการค้า
ไม่ว่ากรณีใดๆ ทั้งสิ้น อีกทั้งห้ามมิให้ดัดแปลงเนื้อหา และต้องอ้างอิงถึงเจ้าของเอกสารทุกครั้งที่มีการนำไปใช้

```

    if (!lastsus != sus)
    {
        lastsus = sus;
        SdCode(0xB0, con[value[6]], sus);
        showpd();
    }
}

//Interrupt
void _ISR _INT0Interrupt(void)
{
    unsigned char Swb = 1;
    DisableIntT1;
    Bsensor(Swb);
    delay_ms(200);
    IFS0bits.INT0IF = 0;
}

void _ISR _INT1Interrupt(void)
{
    unsigned char Swb = 2;
    if (mst == 1)
    {
        if (octaveshift >= -48)
        {
            octaveshift -= 12;
            if (!ln != 0xFF) octoct = 1;
            delay_ms(200);
        }
    }
    else
    {
        DisableIntT1;
        Bsensor(Swb);
    }
    IFS1bits.INT1IF = 0;
}

void _ISR _INT2Interrupt(void)
{
    unsigned char Swb = 3;
    if (mst == 1)
    {
        if (octaveshift <= 48)
        {
            octaveshift += 12;
            if (!ln != 0xFF) octoct = 2;
            delay_ms(200);
        }
    }
    else
    {
        DisableIntT1;
        Bsensor(Swb);
    }
    IFS1bits.INT2IF = 0;
}

void _ISR _U1TXInterrupt(void)
{
    IFS0bits.U1TXIF = 0;
}

void _ISR _U1RXInterrupt(void)
{
    IFS0bits.U1RXIF = 0;
}

```

เอกสารนี้เป็นเอกสารที่สงวนไว้สำหรับการใช้งานเพื่อการศึกษาเท่านั้น ไม่อนุญาตให้นำไปใช้ประโยชน์ด้านการค้า
ไม่ว่ากรณีใดๆ ทั้งสิ้น อีกทั้งห้ามมิให้ดัดแปลงเนื้อหา และต้องอ้างอิงถึงเจ้าของเอกสารทุกครั้งที่มีการนำไปใช้

```

}
void _ISR _T1Interrupt(void)
{
    unsigned char i;
    int adcbuf;

    ConvertADC10();
    while(ADCON1bits.SAMP);
    while(BusyADC10());
    adcbuf = ReadADC10(1);

    if ((scount % 8) == 0)
    {
        LATDbits.LATD3 = !LATDbits.LATD3;
        xr[scount / 8] = adcbuf;
    }

    if (scount == 1016)
    {
        for (i = 0; i < 128; i++)
        {
            xr[i] = xr[i] / 64;
        }

        if (octoct == 1)
        {
            SdCode(0x80, 1n + 0x40 + octaveshift + 12, 0x64);
            SdCode(0x90, 1n + 0x40 + octaveshift, 0x64);
            octoct = 0;
        }
        else if (octoct == 2)
        {
            SdCode(0x80, 1n + 0x40 + octaveshift - 12, 0x64);
            SdCode(0x90, 1n + 0x40 + octaveshift, 0x64);
            octoct = 0;
        }
    }

    //Calculation
    bitreversal();
    fft();
    conjugatemultiplier();

    //Selection & Control
    peakandamp();
    notesend();

    adcbuf = ReadADC10(2);
    vol = adcbuf / 8;
    volped();

    adcbuf = ReadADC10(3);
    askn(adcbuf / 8, 0);

    adcbuf = ReadADC10(6);
    askn(adcbuf / 8, 1);

    adcbuf = ReadADC10(7);
    askn(adcbuf / 8, 2);

    showoc();
    suspd();

    scount = 0;
}
else scount++;

```

เอกสารนี้เป็นเอกสารที่สงวนไว้สำหรับการใช้งานเพื่อการศึกษาเท่านั้น ไม่อนุญาตให้นำไปใช้ประโยชน์ด้านการค้า
ไม่ว่ากรณีใดๆ ทั้งสิ้น อีกทั้งห้ามมิให้ดัดแปลงเนื้อหา และต้องอ้างอิงถึงเจ้าของเอกสารทุกครั้งที่มีการนำไปใช้

```

    IFS0bits.T1IF = 0;
}

//ADC Initialize
void adc_init()
{
    unsigned int Channel, PinConfig, Scanselct, Adcon3_reg,
    Adcon2_reg, Adcon1_reg;

    ADCON1bits.ADON = 0;           // Turn off ADC

    Channel = ADC_CH0_POS_SAMPLEA_AN1 &
              ADC_CH0_POS_SAMPLEA_AN2 &
              ADC_CH0_POS_SAMPLEA_AN3 &
              ADC_CH0_POS_SAMPLEA_AN4 &
              ADC_CH0_POS_SAMPLEA_AN5 &
              ADC_CH0_POS_SAMPLEA_AN6 &
              ADC_CH0_POS_SAMPLEA_AN7 &
              ADC_CH0_NEG_SAMPLEA_NVREF;

    SetChanADC10(Channel);
    ConfigIntADC10(ADC_INT_DISABLE);

    PinConfig = ENABLE_AN1_ANA &
                ENABLE_AN2_ANA &
                ENABLE_AN3_ANA &
                ENABLE_AN4_ANA &
                ENABLE_AN5_ANA &
                ENABLE_AN6_ANA &
                ENABLE_AN7_ANA ;

    Scanselct = SKIP_SCAN_AN8;

    Adcon3_reg = ADC_SAMPLE_TIME_10 &
                 ADC_CONV_CLK_INTERNAL_RC &
                 ADC_CONV_CLK_13Tcy;

    Adcon2_reg = ADC_VREF_EXT_AVSS &
                 ADC_SCAN_ON &
                 ADC_ALT_BUF_OFF &
                 ADC_ALT_INPUT_OFF &
                 ADC_CONVERT_CH0 &
                 ADC_SAMPLES_PER_INT_8;

    Adcon1_reg = ADC_MODULE_ON &
                 ADC_IDLE_CONTINUE &
                 ADC_FORMAT_INTG &
                 ADC_CLK_MANUAL &
                 ADC_SAMPLE_SIMULTANEOUS &
                 ADC_AUTO_SAMPLING_ON;

    OpenADC10(Adcon1_reg, Adcon2_reg, Adcon3_reg, PinConfig,
    Scanselct);
}

void timer_init()
{
    unsigned int match_value;

    ConfigIntTimer1( T1_INT_PRIOR_7 &
                    T1_INT_ON);

    WriteTimer1(0);
}

```

เอกสารนี้เป็นเอกสารที่สงวนไว้สำหรับการใช้งานเพื่อการศึกษาเท่านั้น ไม่อนุญาตให้นำไปใช้ประโยชน์ด้านการค้า
ไม่ว่ากรณีใดๆ ทั้งสิ้น อีกทั้งห้ามมิให้ดัดแปลงเนื้อหา และต้องอ้างอิงถึงเจ้าของเอกสารทุกครั้งที่มีการนำไปใช้

```

    match_value = 937;          //Sampling rate setting (2666.66
x 8 Hz)

    OpenTimer1( T1_ON &
                T1_GATE_OFF &
                T1_IDLE_CON &
                T1_PS_1_1 &
                T1_SYNC_EXT_OFF &
                T1_SOURCE_INT, match_value);
}

//UART Initialize
void uart1_init()
{
    unsigned int baudvalue;
    unsigned int U1MODEvalue;
    unsigned int U1STAValue;

    CloseUART1();
    ConfigIntUART1( UART_RX_INT_EN &
                    UART_RX_INT_PRI &
                    UART_TX_INT_EN &
                    UART_TX_INT_PRI);

    baudvalue = 39; // Baud rate 31250 bps at 10MHz PLLx8
    U1MODEvalue = UART_EN &
                  UART_IDLE_CON &
                  UART_RX_TX &
                  UART_DIS_WAKE &
                  UART_DIS_LOOPBACK &
                  UART_DIS_ABAUD &
                  UART_NO_PAR_8BIT &
                  UART_1STOPBIT;

    U1STAValue = UART_INT_TX_BUF_EMPTY &
                 UART_TX_PIN_NORMAL &
                 UART_TX_ENABLE &
                 UART_INT_RX_3_4_FUL &
                 UART_ADR_DETECT_DIS &
                 UART_RX_OVERRUN_CLEAR;

    OpenUART1(U1MODEvalue, U1STAValue, baudvalue);
}

//System Initialize
void system_int(void)
{
    mst = 1;
    smst = 1;
    scount = 0;
    grid = 14;
    rn = 0x00;
    ln = 0x00;
    rna = 0;
    lna = 0;

    adc_init();
    lcd_init();

    uart1_init();
    TRISDbits.TRISD3 = 0;
    TRISEbits.TRISE8 = 1;

    delay_ms(200);
}

```

เอกสารนี้เป็นเอกสารที่สงวนไว้สำหรับการใช้งานเพื่อการศึกษาเท่านั้น ไม่อนุญาตให้นำไปใช้ประโยชน์ด้านการค้า
ไม่ว่ากรณีใดๆ ทั้งสิ้น อีกทั้งห้ามมิให้ดัดแปลงเนื้อหา และต้องอ้างอิงถึงเจ้าของเอกสารทุกครั้งที่มีการนำไปใช้

```
ConfigINT0(RISING_EDGE_INT & EXT_INT_ENABLE & EXT_INT_PRI_4);
ConfigINT1(RISING_EDGE_INT & EXT_INT_ENABLE & EXT_INT_PRI_3);
ConfigINT2(RISING_EDGE_INT & EXT_INT_ENABLE & EXT_INT_PRI_2);

Display(1);
timer_init();
}

//Main
int main(void)
{
    system_int();
    while(1)
    {
        if(PORTCbits.RC14 == 1) sus = 0x00;
        else sus = 0x7F;
    }
}
```



เอกสารนี้เป็นเอกสารที่สงวนไว้สำหรับการใช้งานเพื่อการศึกษาเท่านั้น ไม่อนุญาตให้นำไปใช้ประโยชน์ด้านการค้า
ไม่ว่ากรณีใดๆ ทั้งสิ้น อีกทั้งห้ามมิให้ดัดแปลงเนื้อหา และต้องอ้างอิงถึงเจ้าของเอกสารทุกครั้งที่มีการนำไปใช้